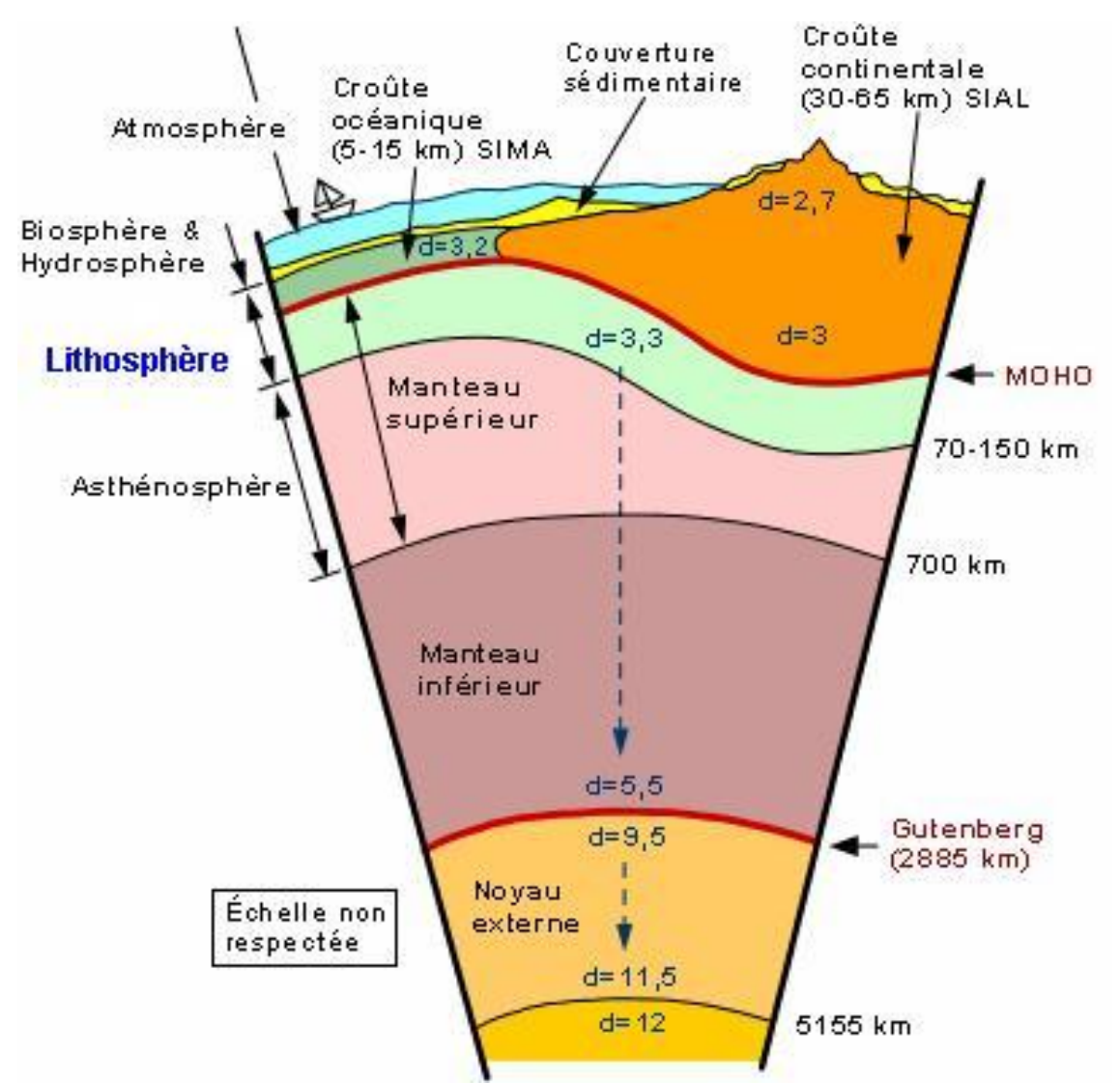
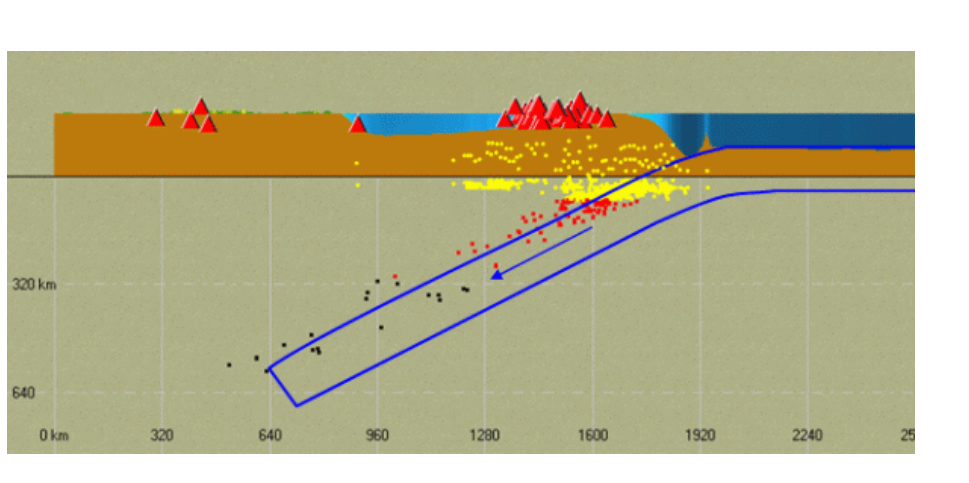
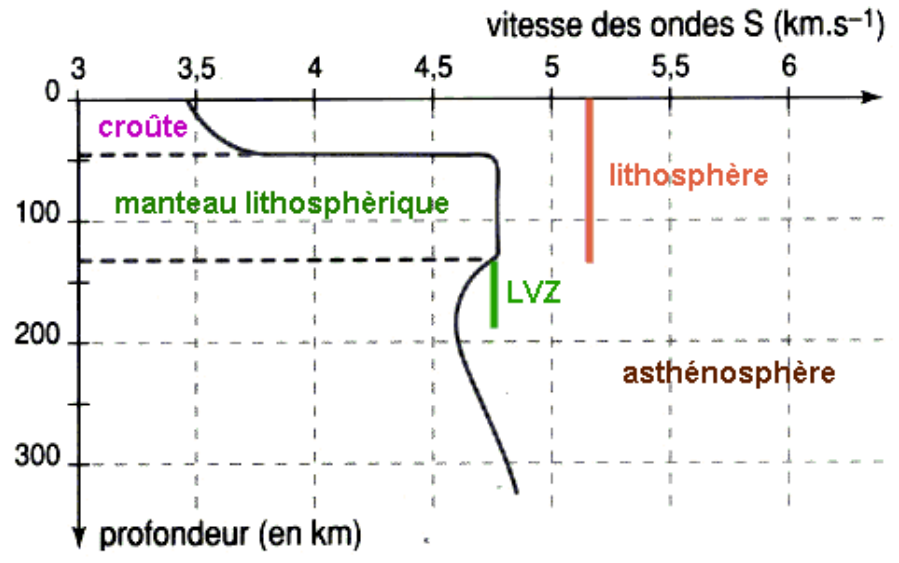
Déformations des matériaux de la lithosphère



Limite inf lithosphérique: sismique

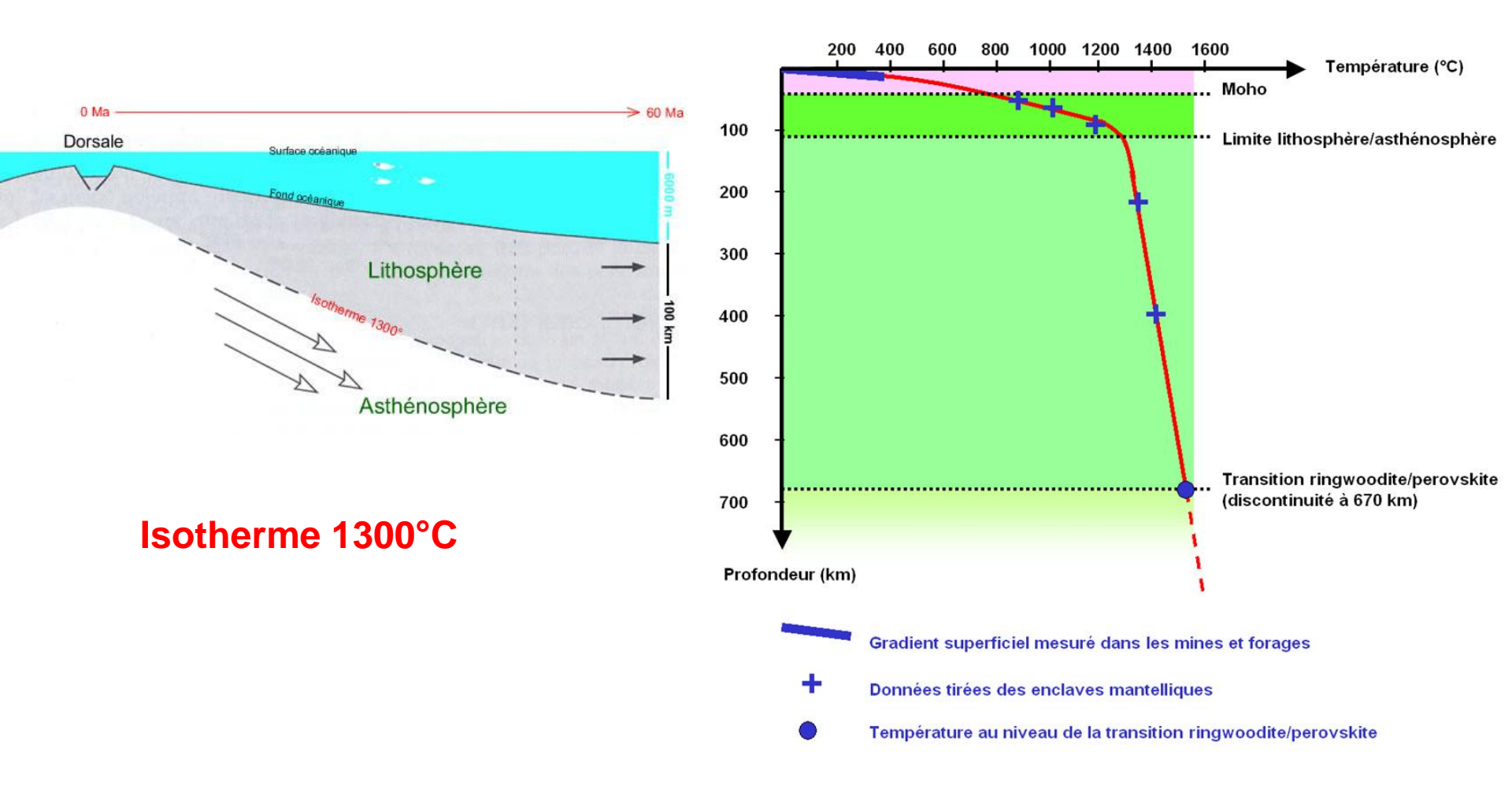


Présence de séismes



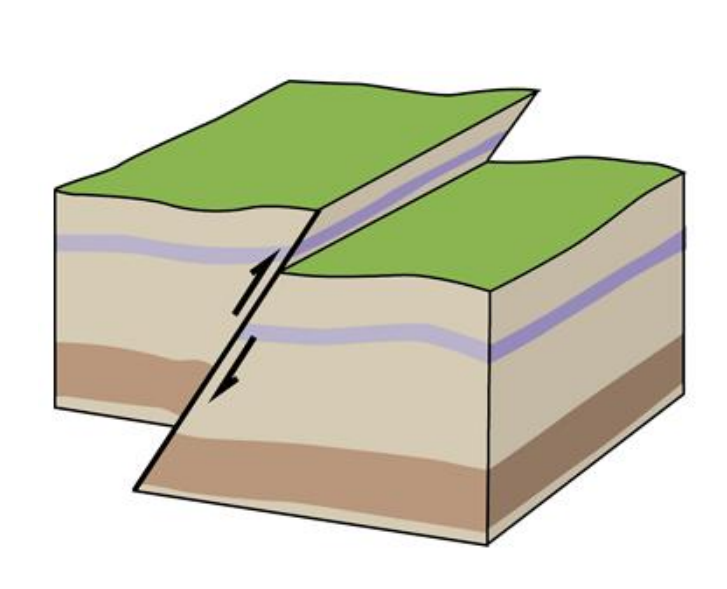
Toit de la LVZ

Limite inf lithosphérique: thermique

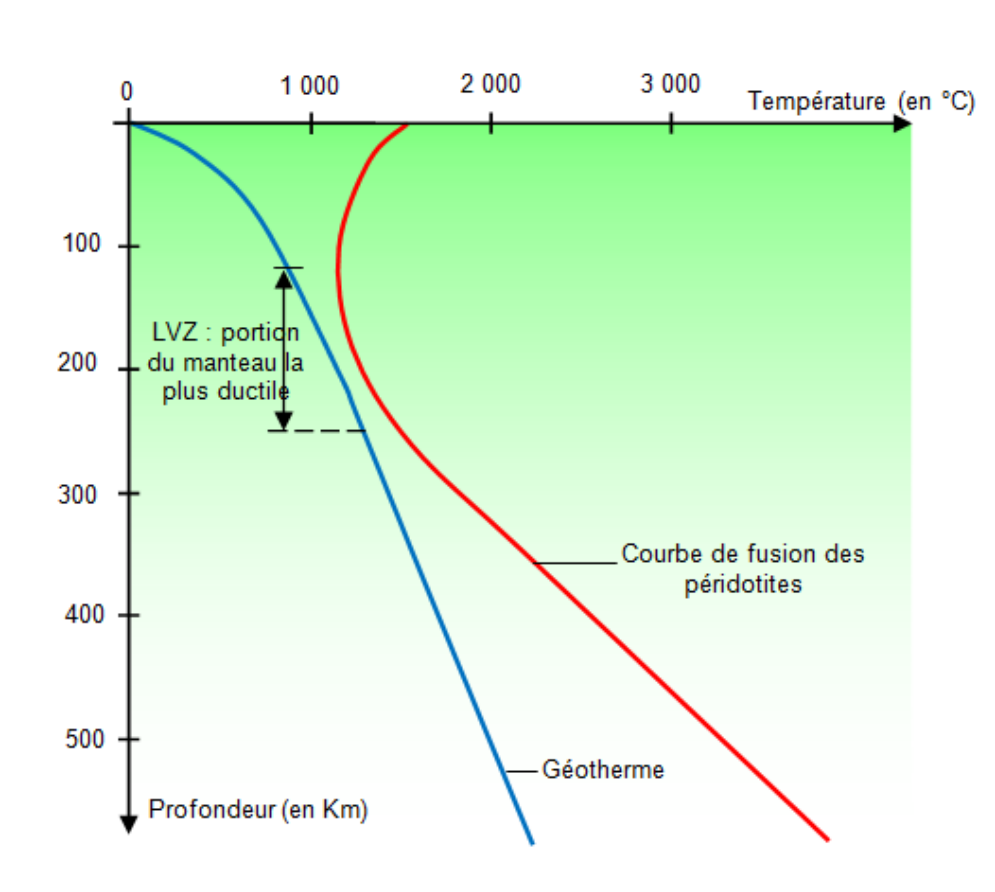


Transferts thermiques par conduction

Limite inf lithosphérique: mécanique

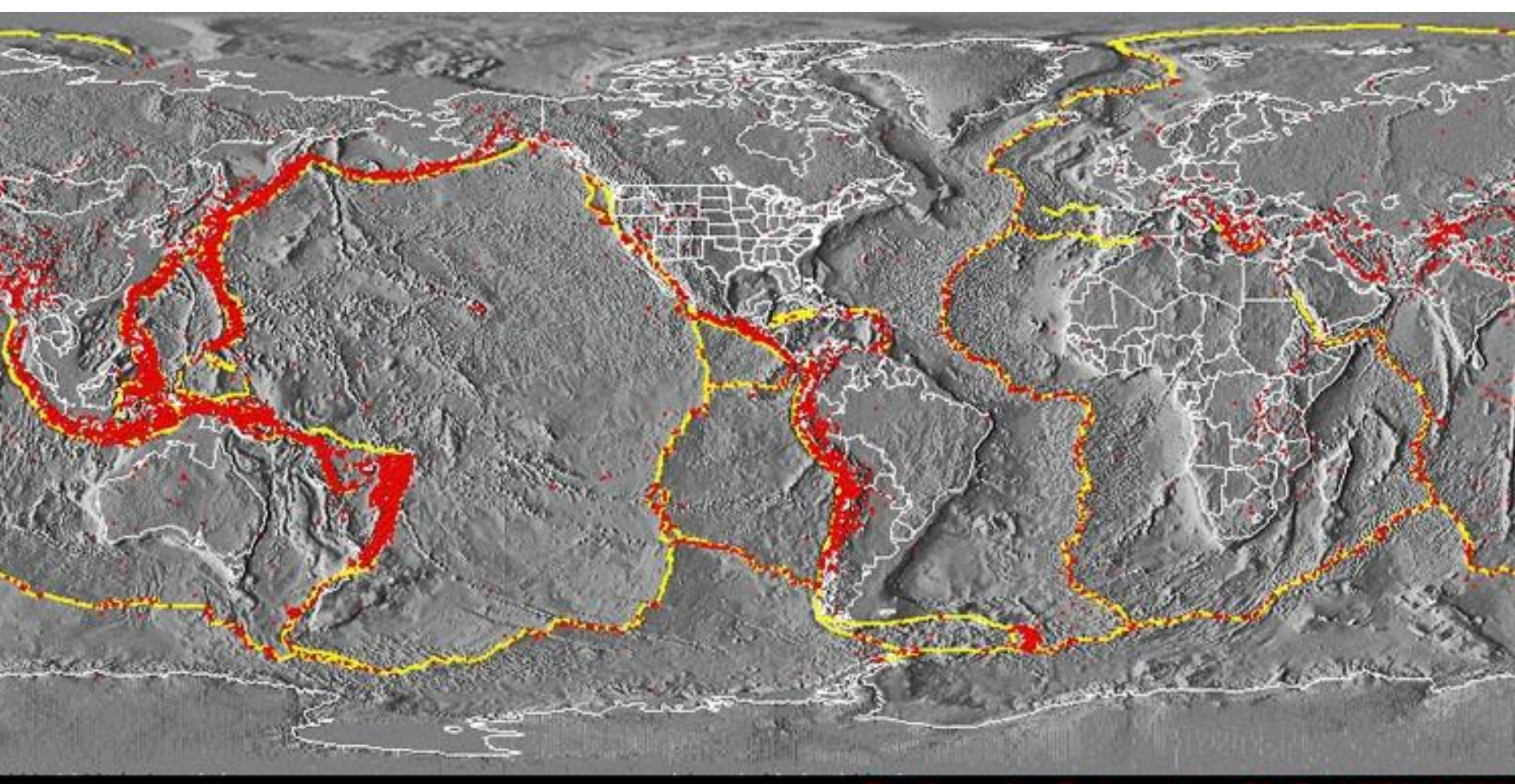


Comportement cassant

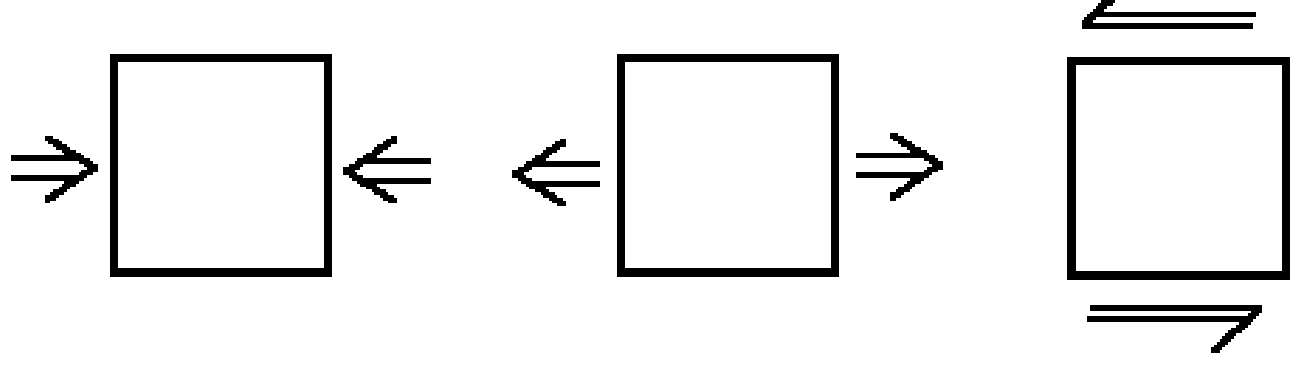


Asthénosphère plus ductile

Limites latérales lithosphériques: zones sismiques actives



Contraintes C = dF/dS



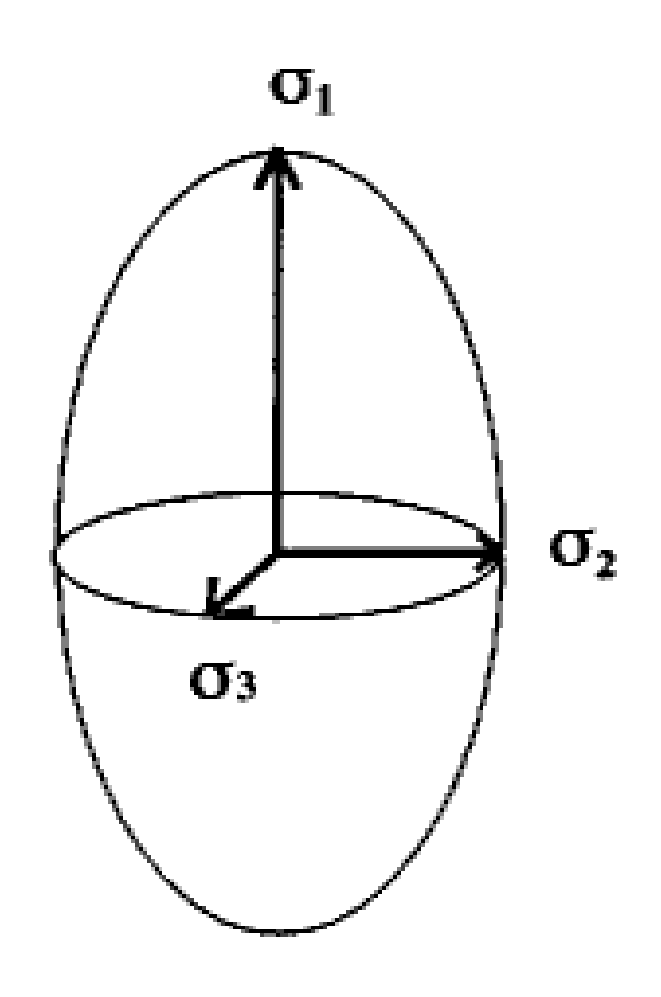
Compression coaxiale = cisaillement pur

extension

Compression non coaxiale = cisaillement simple

Induit une déformation par aplatissement et rotation. Ainsi, un cube deviendra un parallélépipède dont les surfaces sont parallèles 2 à 2 mais ne sont plus parallèles à celles du cube initial (cf p8) $_{6}$

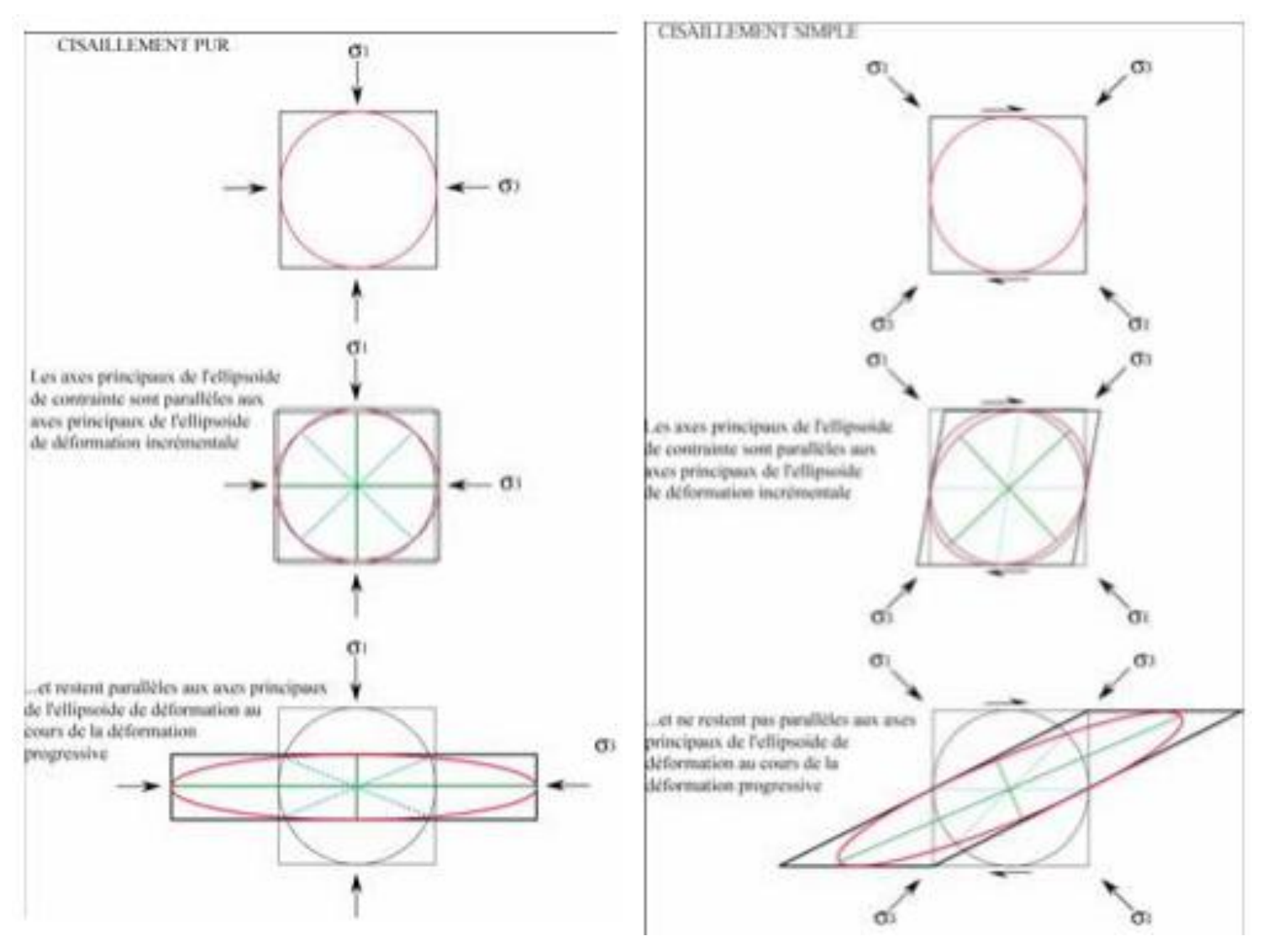
Ellipsoïde des contraintes



Contrainte déviatorique

$$= \sigma 1 - \sigma 3$$

(Contraintes lors de cisaillements pur et simple)

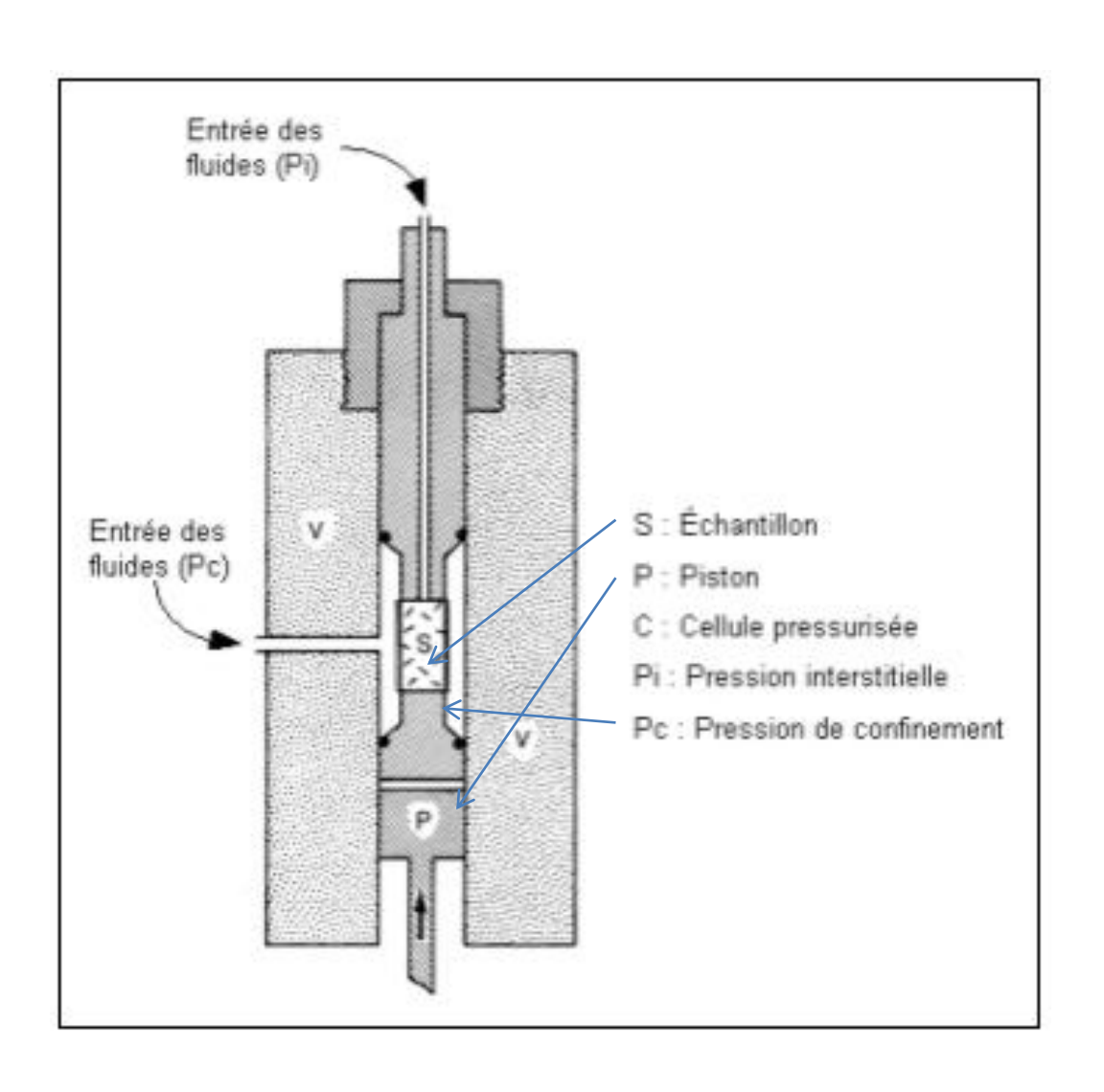


Etude expérimentale des contraintes: machine de traction

- deux mors serrant l'échantillon (1 fixe et 1 mobile)
- moteur commandant la vitesse du mors mobile
- capteur de force mesurant les forces exercées
- éventuellement dans une étuve permettant de faire varier T
- -> Etude en vitesse de déformation constante imposée (traction simple)



Etude expérimentale des contraintes: cellule triaxiale avec P de confinement



En compression

au niveau du piston:
$$P = \sigma_1$$

 $\sigma_2 = \sigma_3 = P_{confinement} < P$

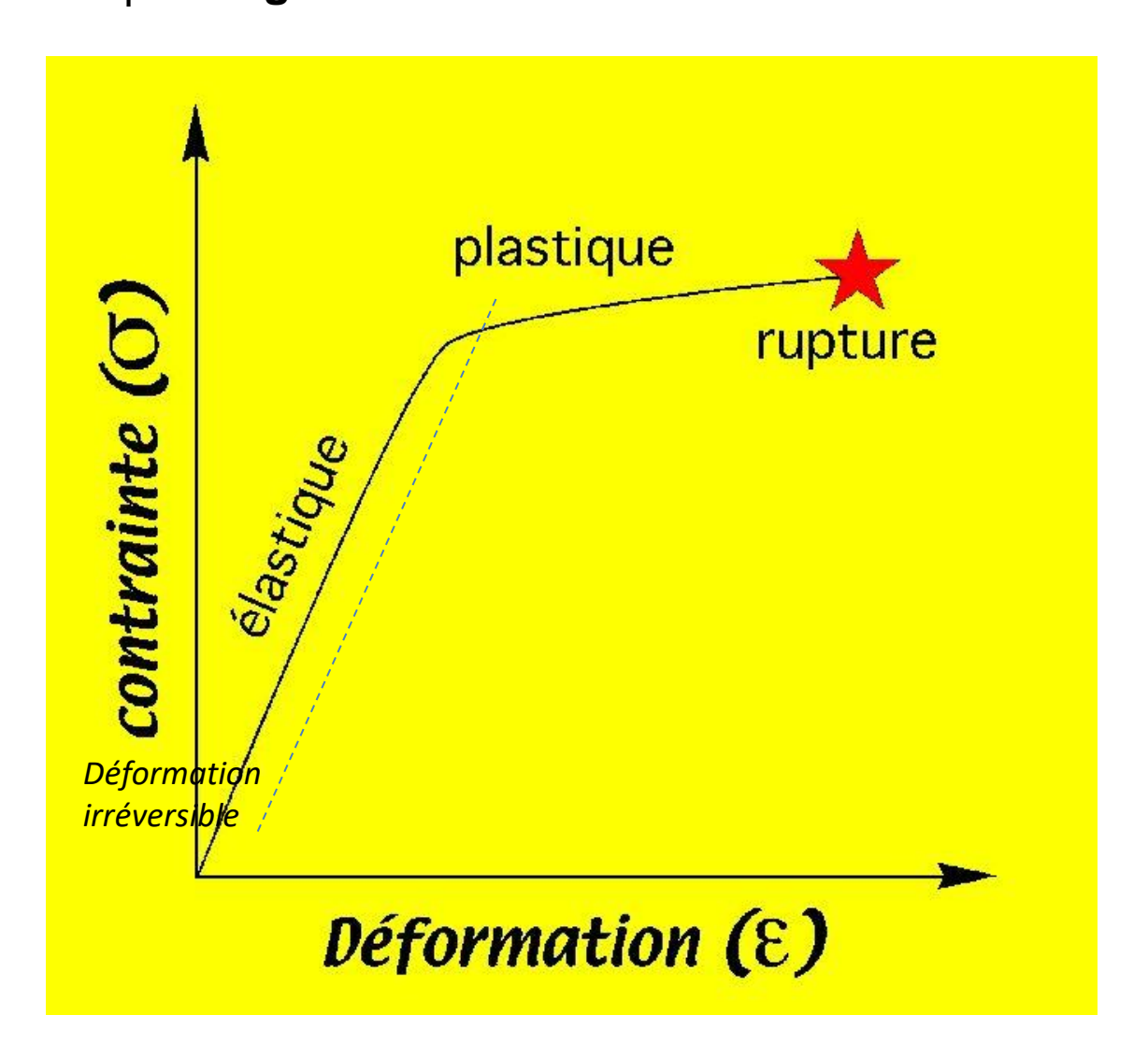
En traction

au niveau du piston:
$$P = \sigma_3$$

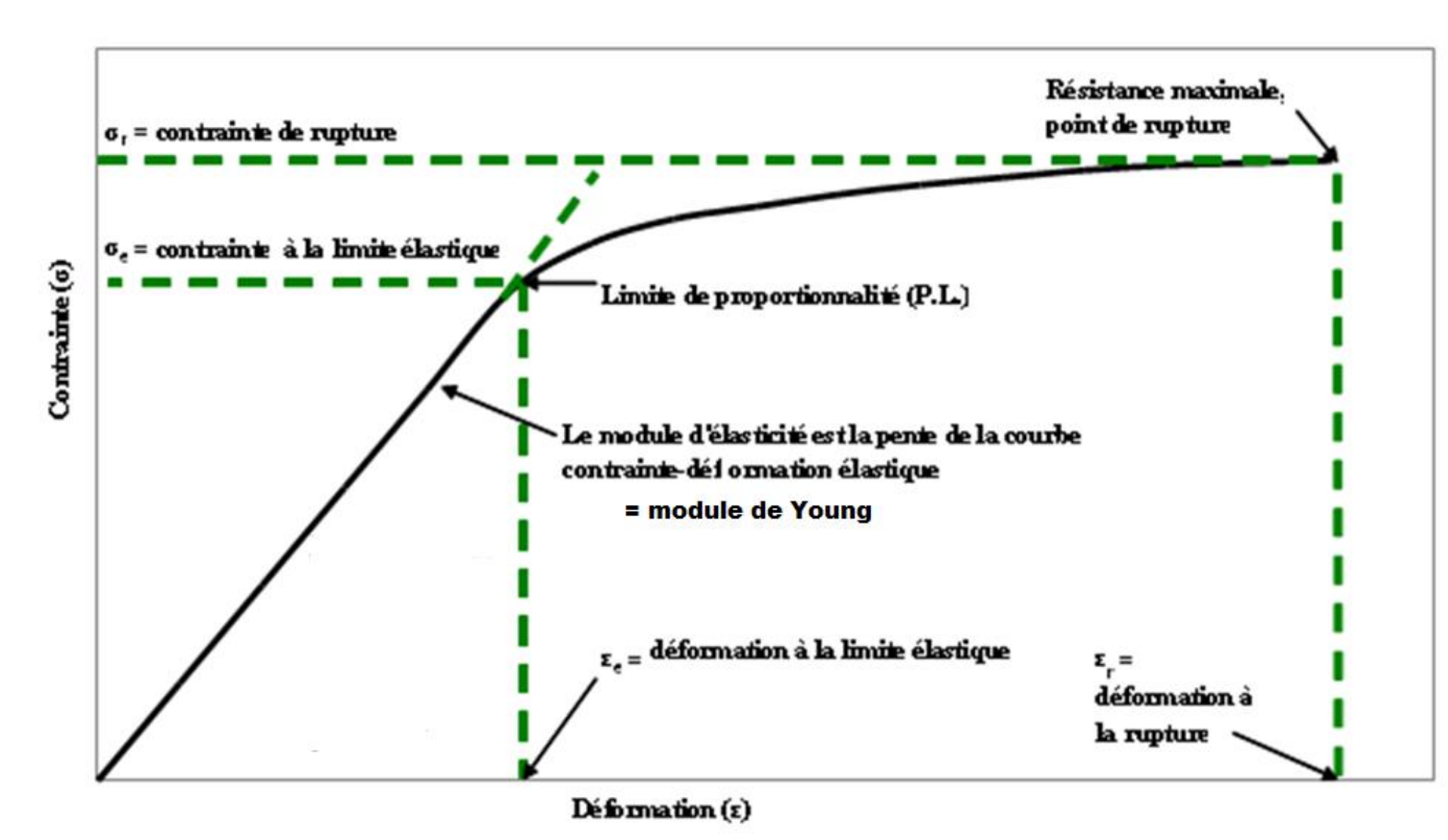
 $\sigma_2 = \sigma_1 = P_{confinement} > P$

Domaines de déformation d'une roche

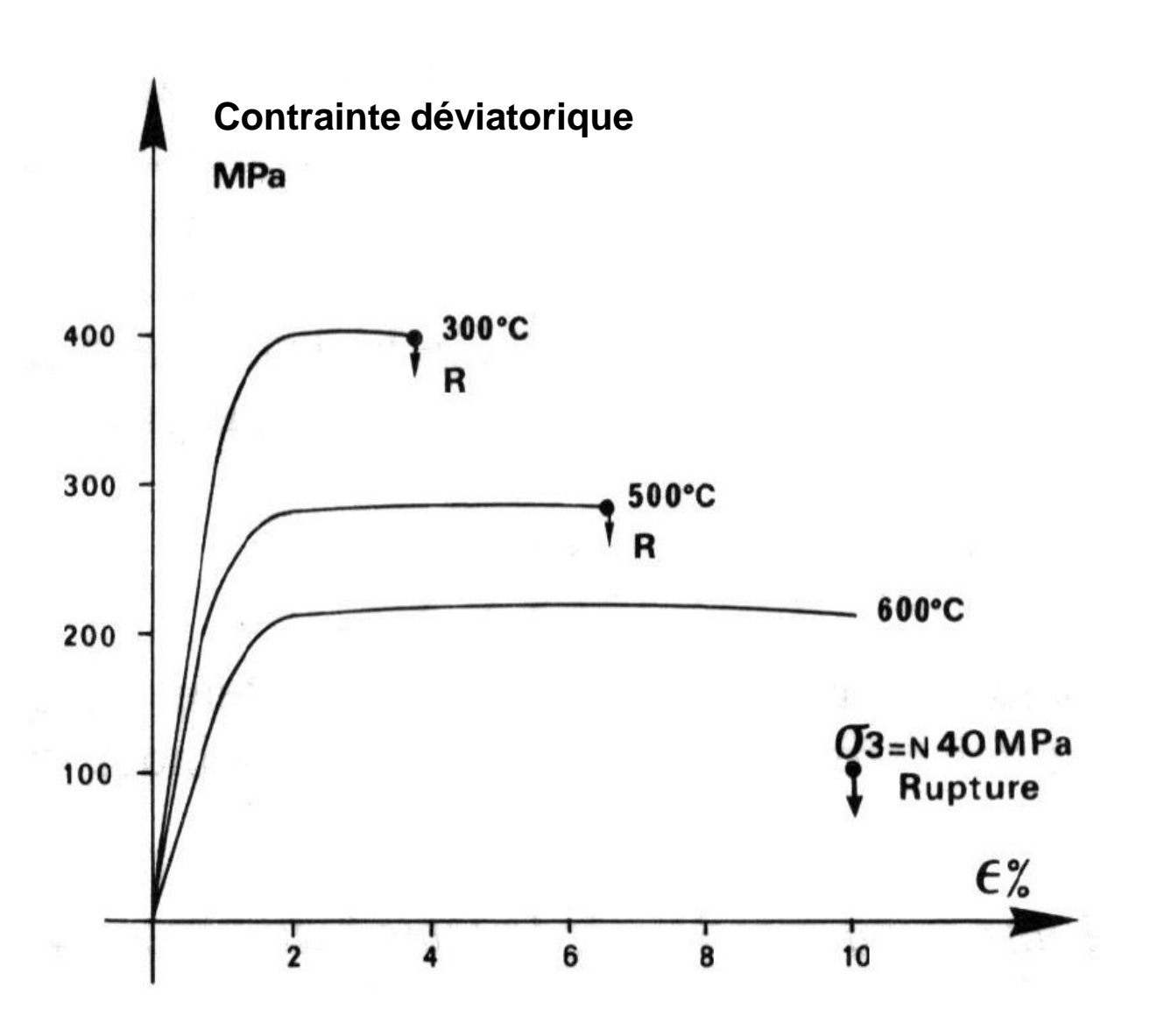
$$L_0$$
 = Longueur initiale
 L_f = Longueur finale
 ε = $(L_f - L_0) / L_0$



(Domaines de déformation d'une roche)

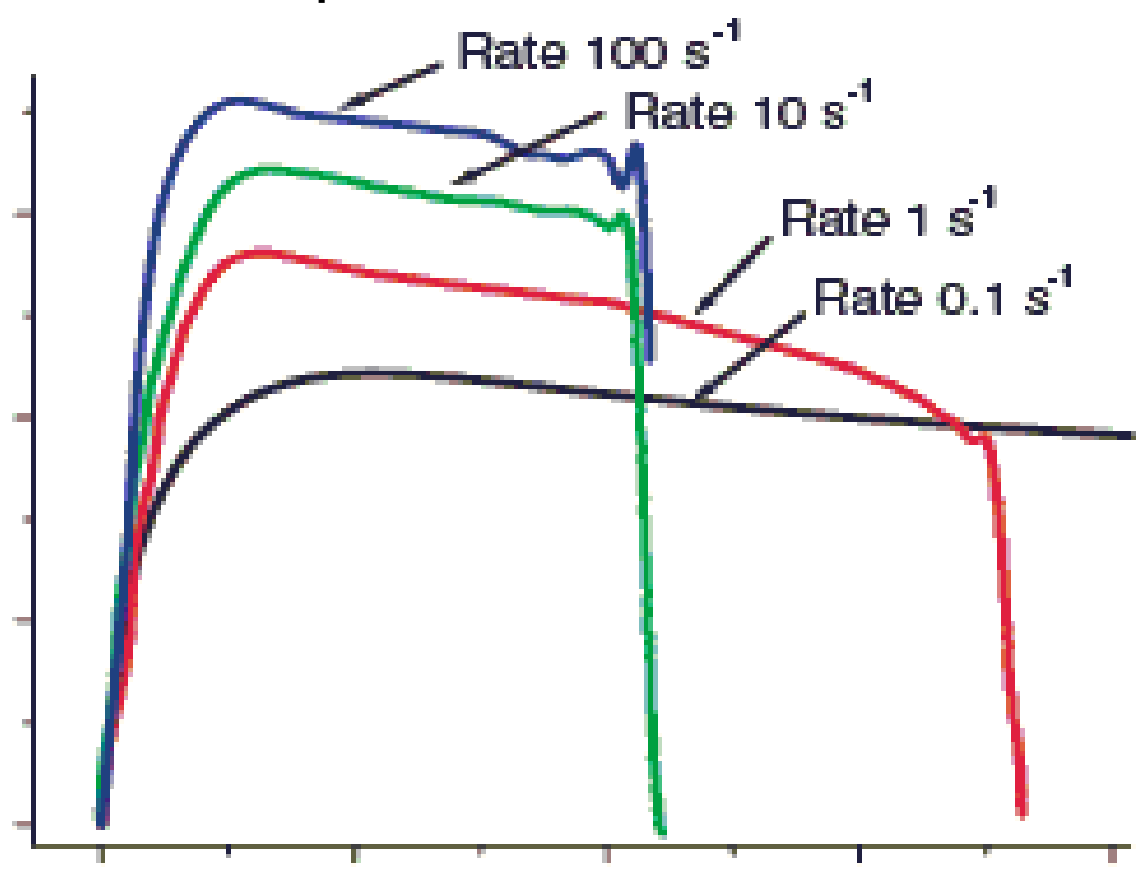


Effets de T sur la déformation



Effets de la vitesse d'application sur la déformation

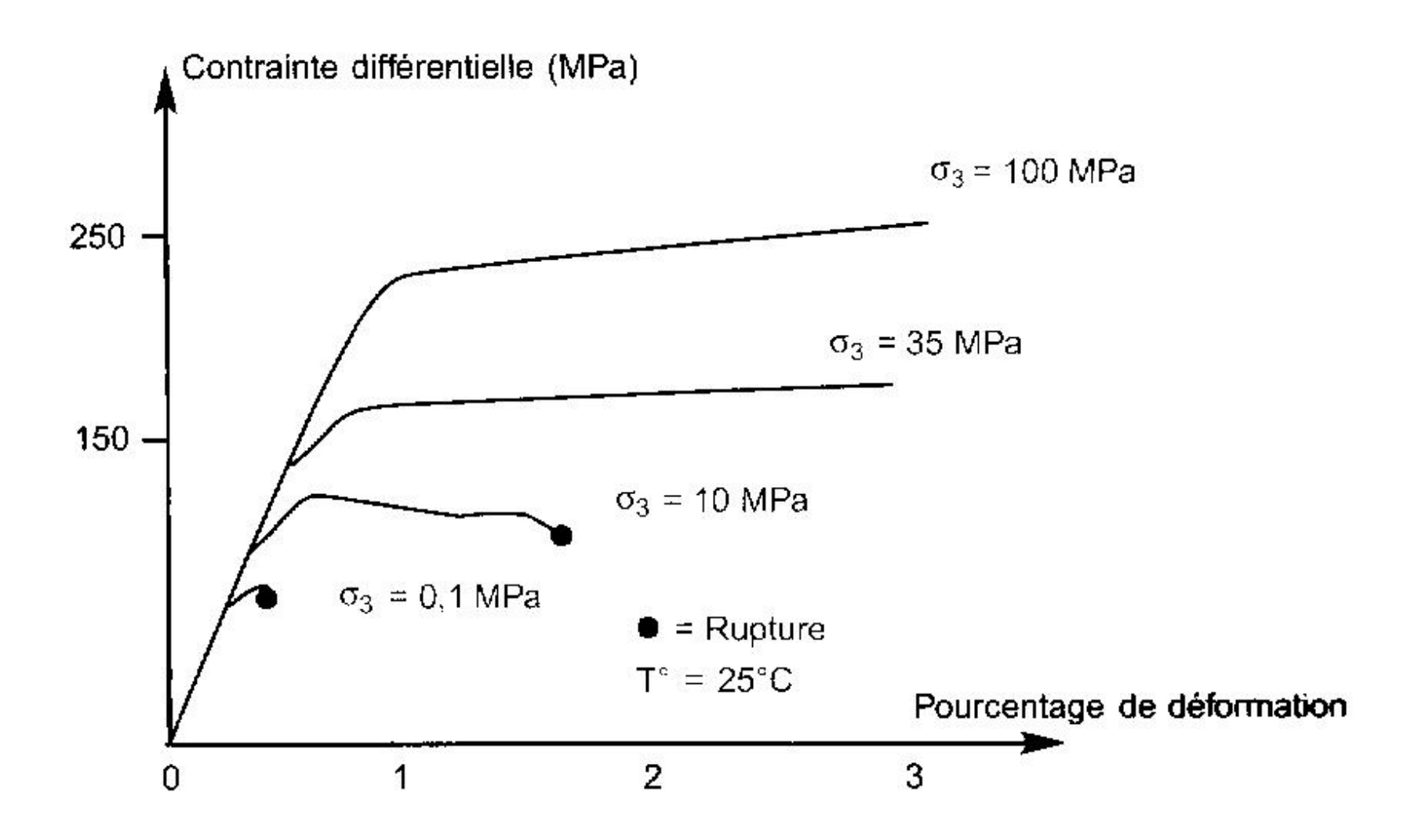
Contrainte déviatorique



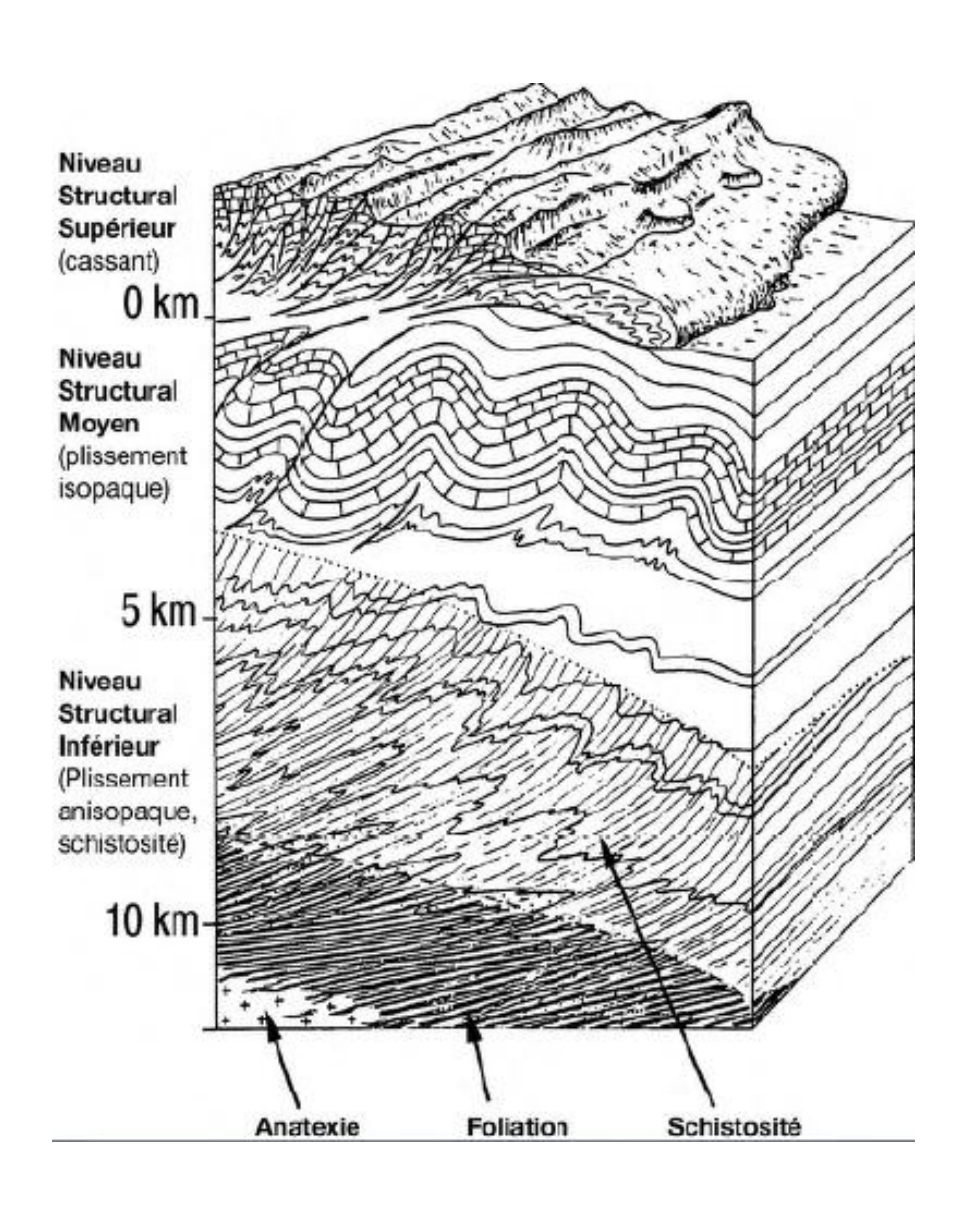
(
$$E = \sigma / \varepsilon$$
)

Minéral ou roche	Valeur du module de Young (Mpa)
Calcaire	20 000 à 70 000
Granite	60 000
Diamant	1 000 000

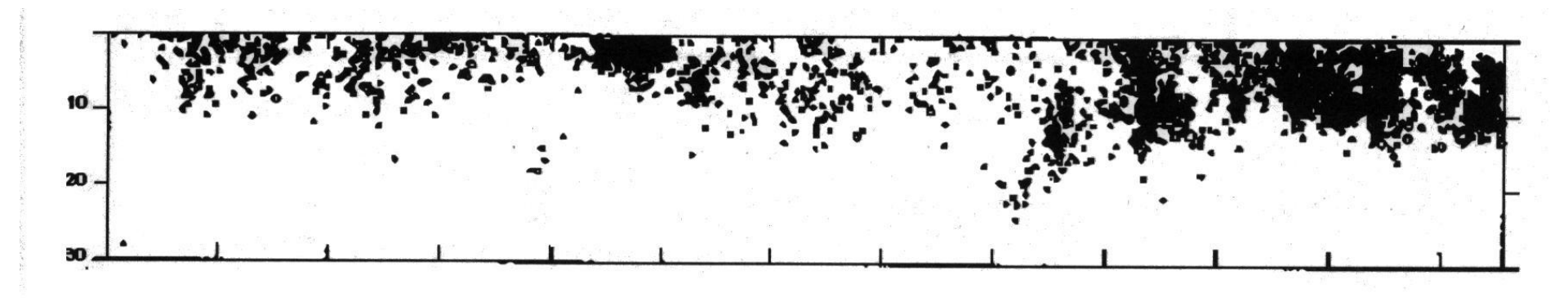
Effets de P de confinement sur la déformation

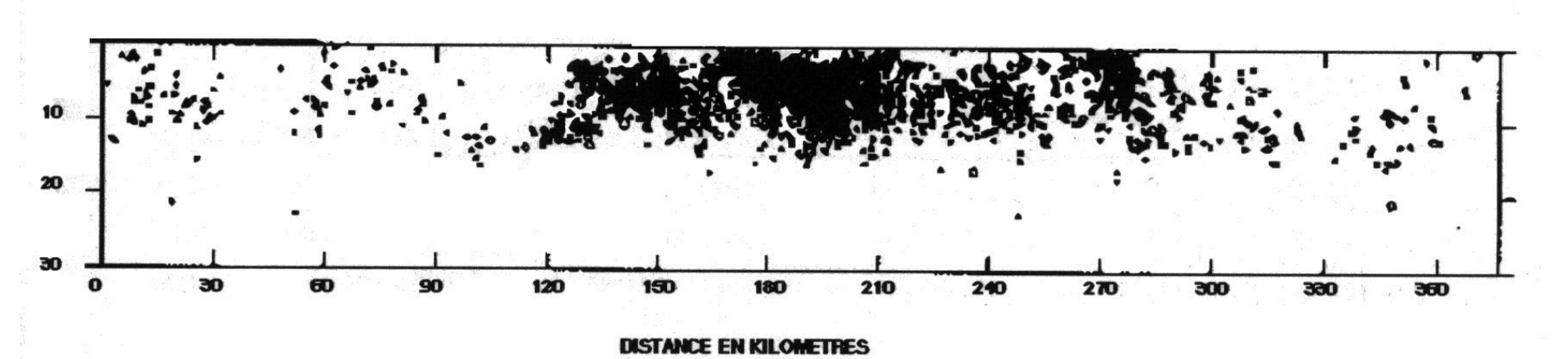


Notion de niveaux structuraux

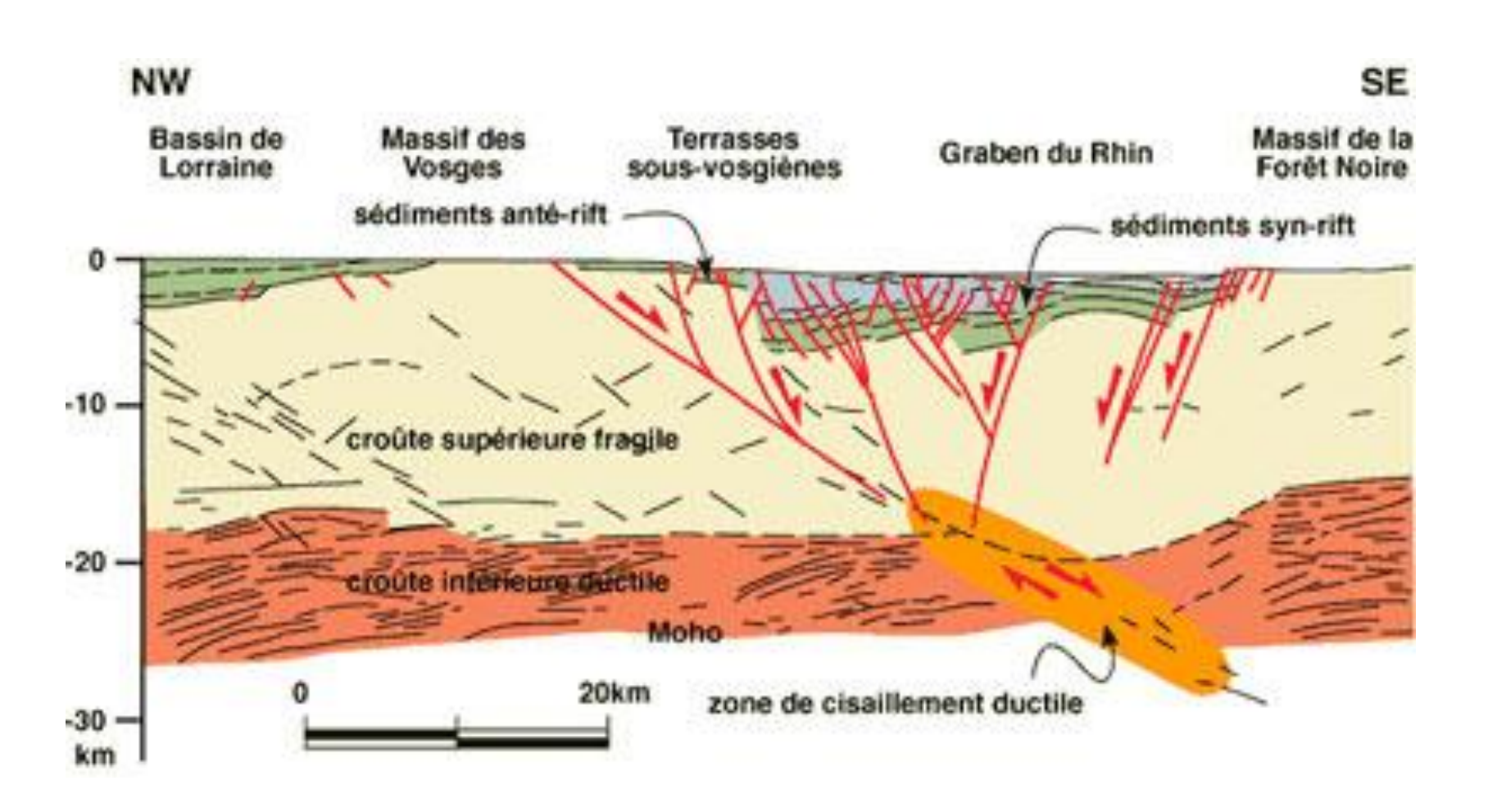


Profondeurs des foyers dans la zone de San Andreas



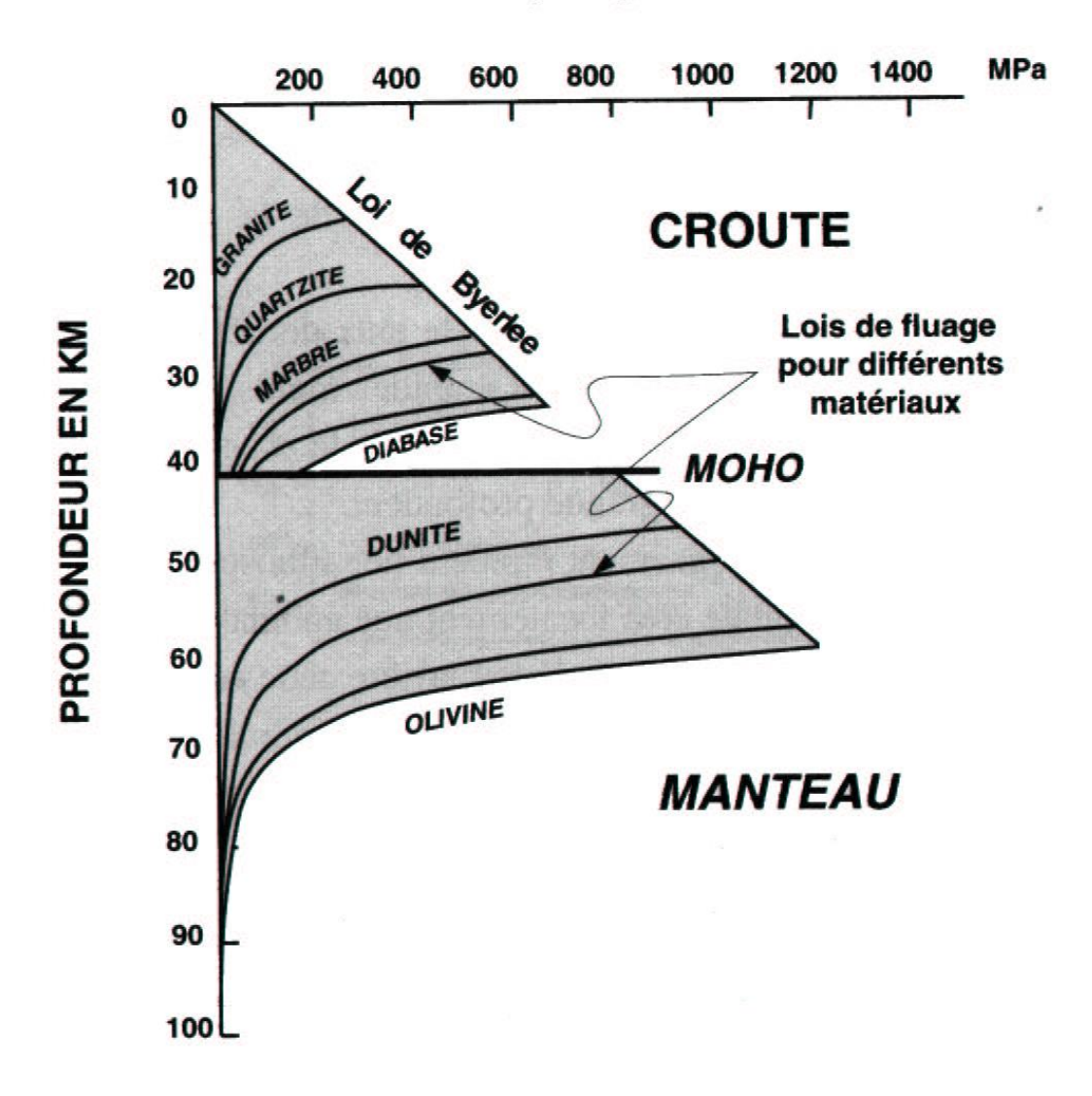


Une lithosphère stratifiée: profil Ecors

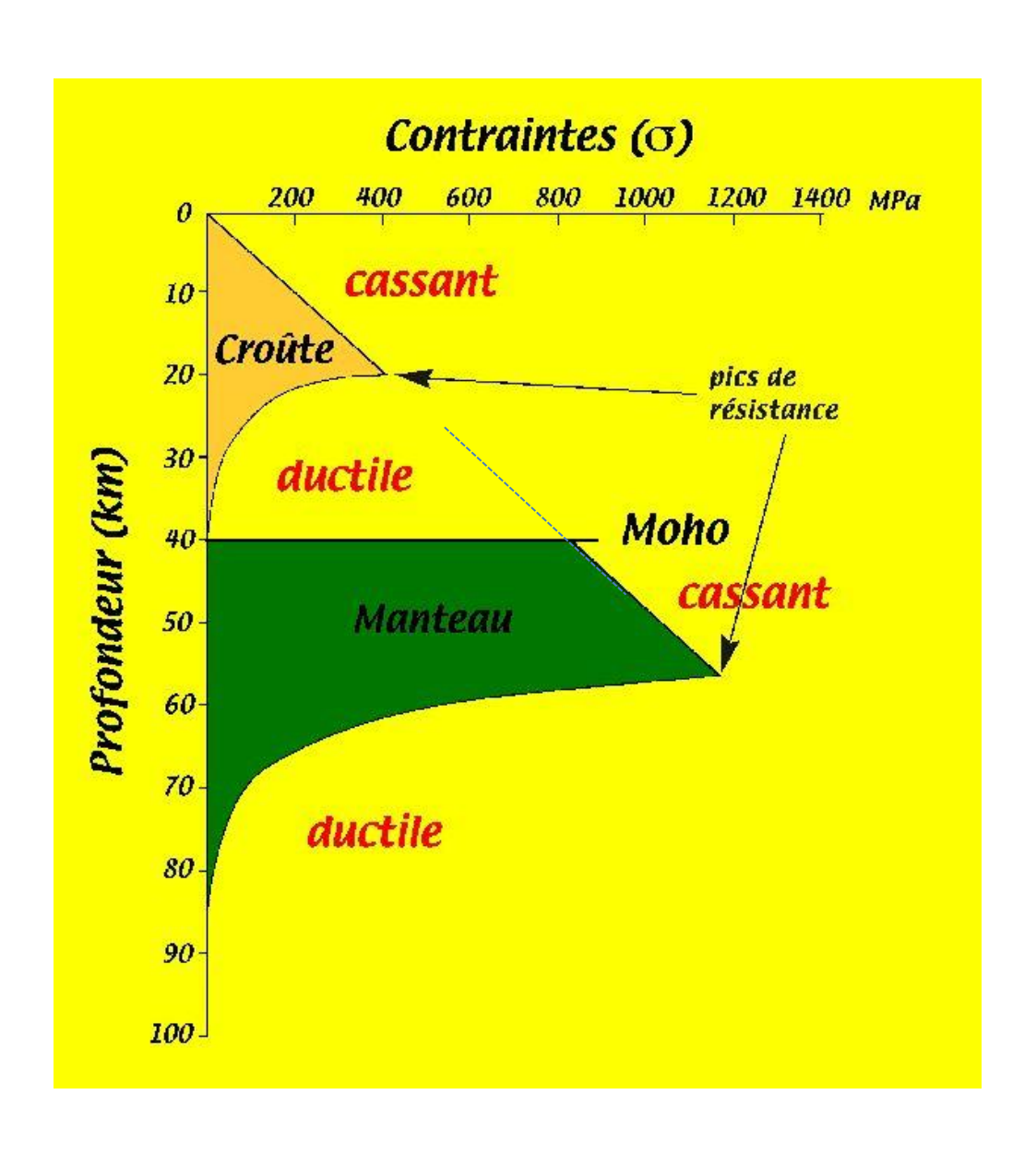


Profil rhéologique lithosphérique

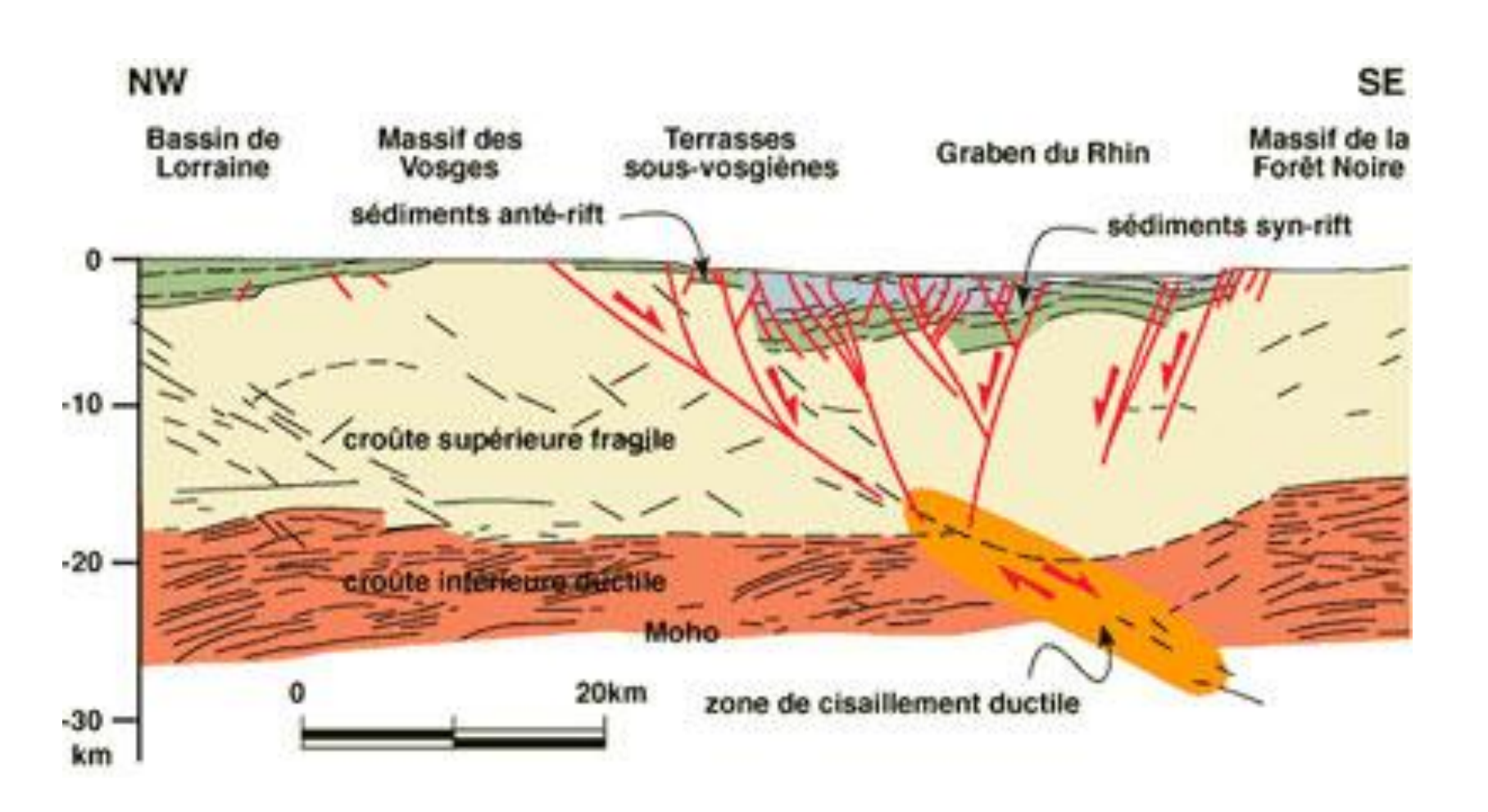
DEVIATEUR (σ₁-σ₃)



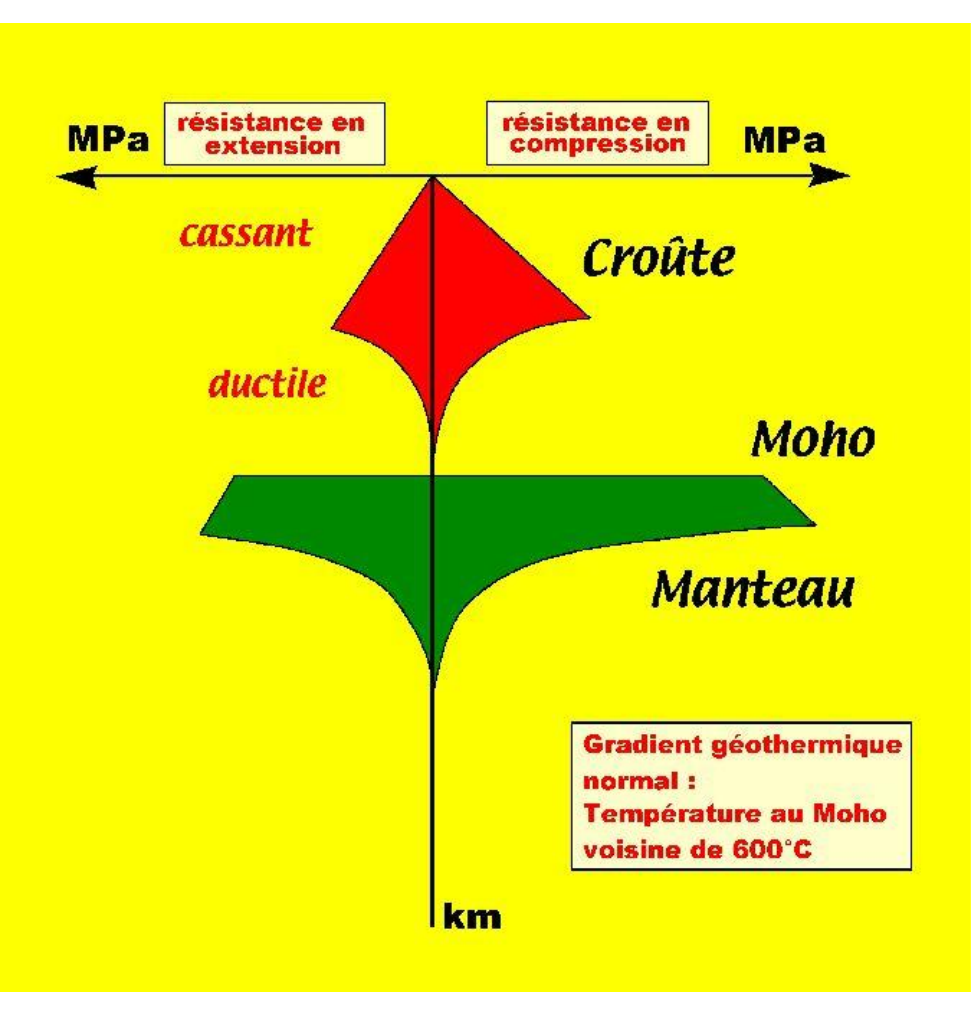
Profil rhéologique lithosphérique

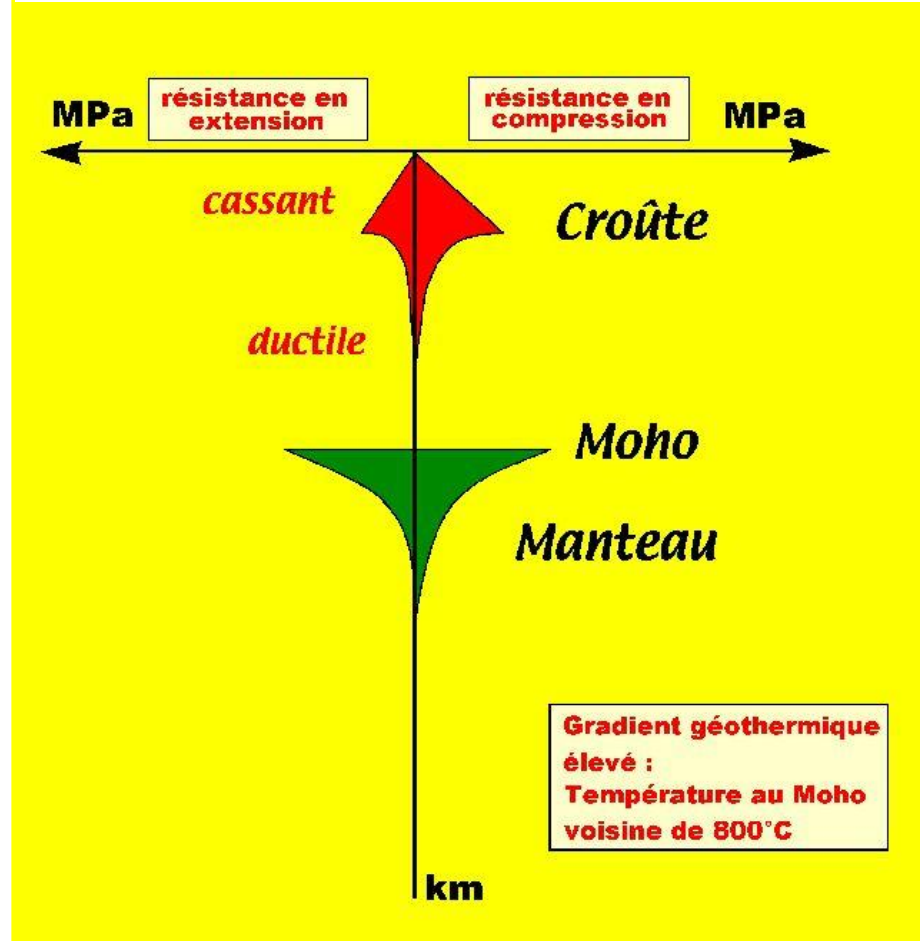


Une lithosphère stratifiée: profil Ecors



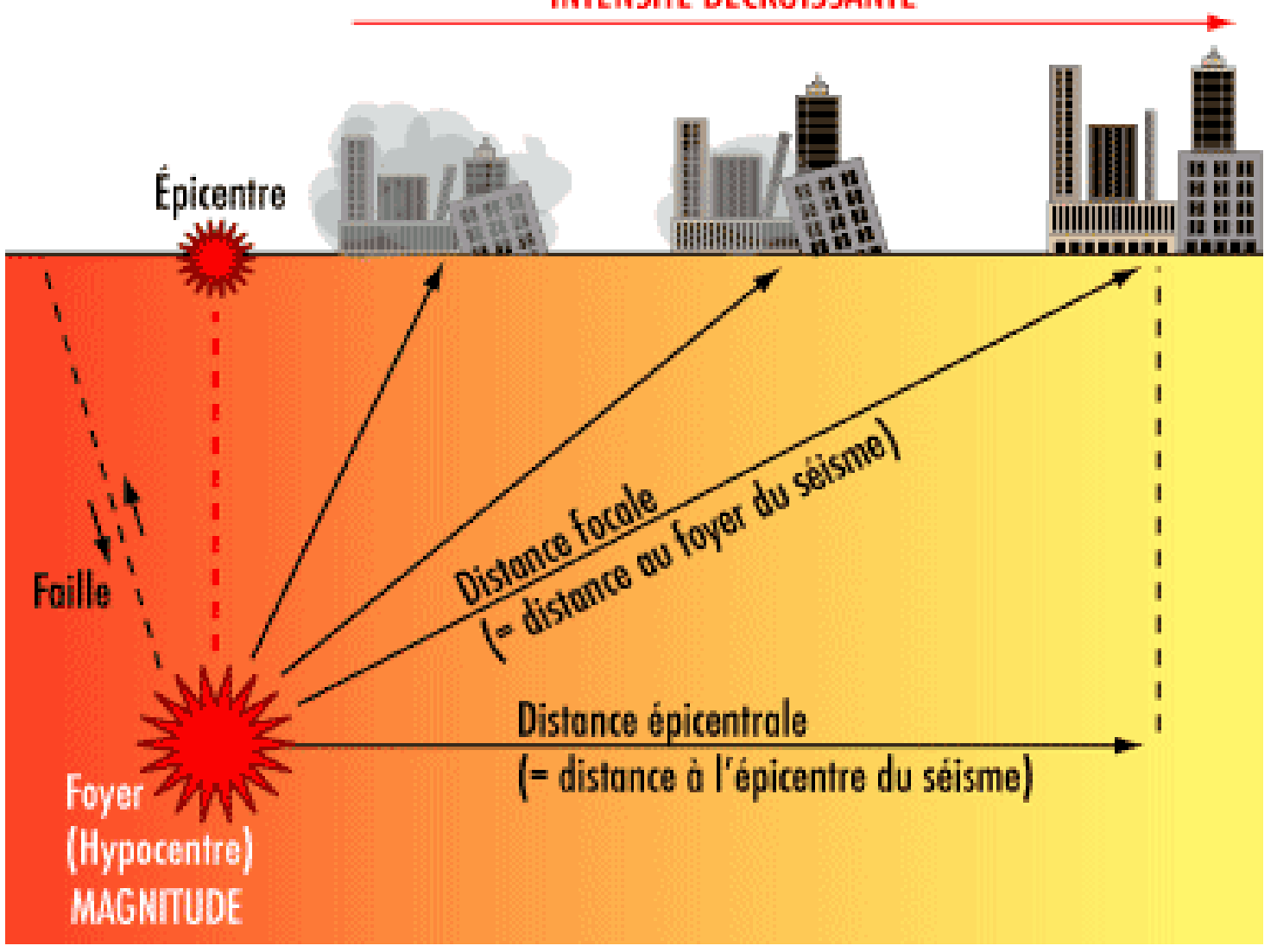
Comparer et expliquer les 2 profils rhéologiques



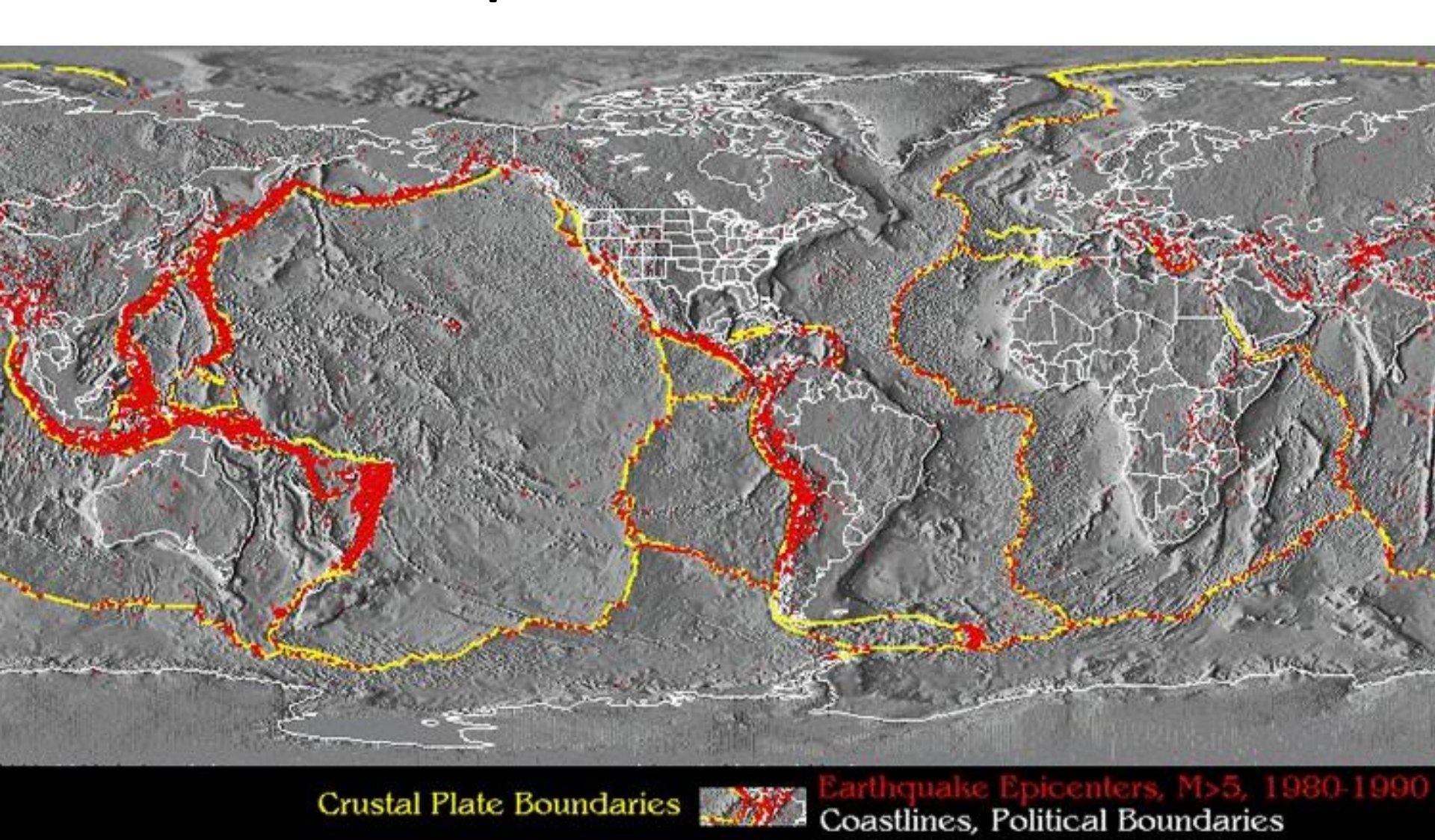


Séisme

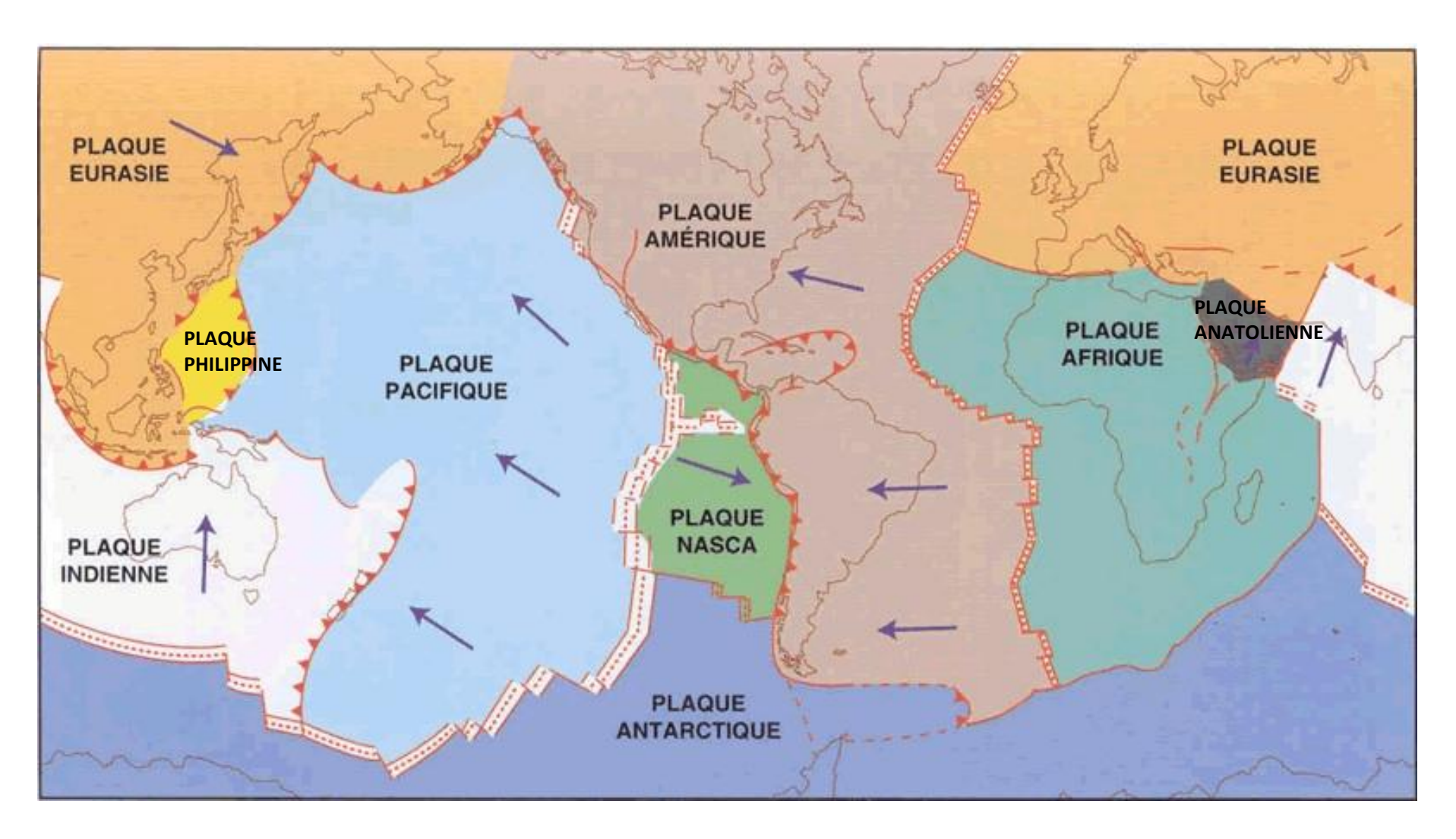
INTENSITÉ DÉCROISSANTE



Répartition des séismes



Plaques lithosphériques



Séisme: magnitude

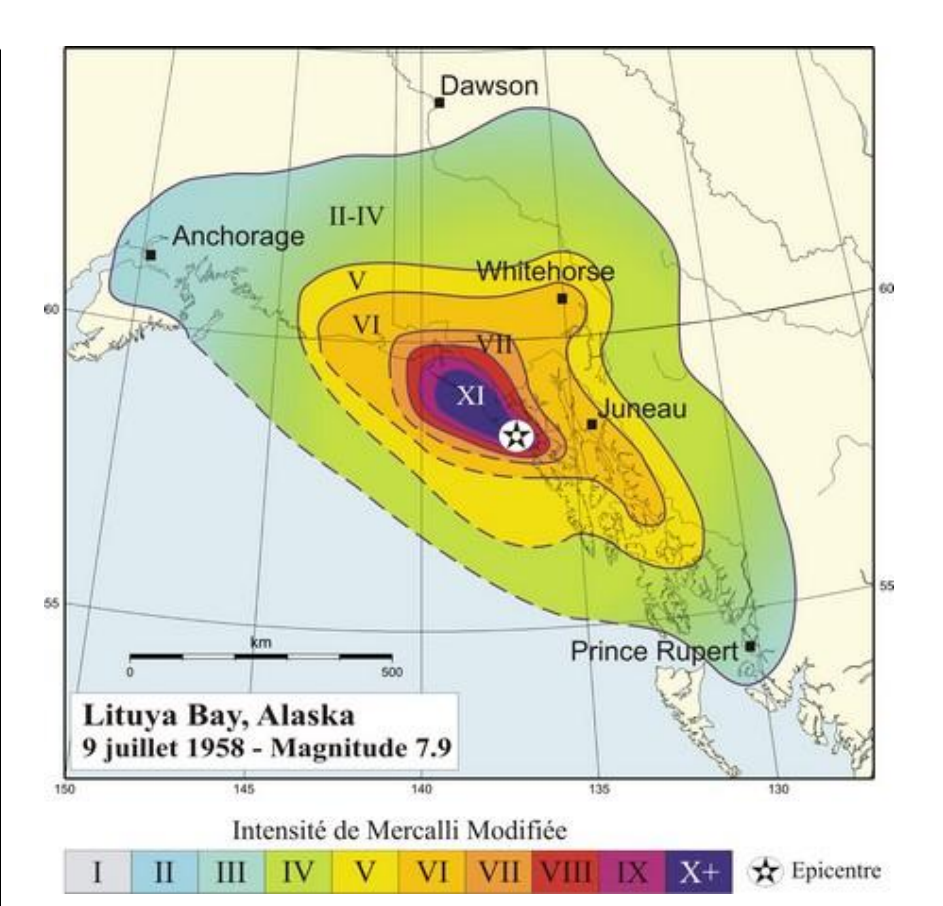
La magnitude locale de Richter Mı. définie par Richter en 1935, est valable jusqu'à 600 km de distance; elle est donnée par la relation :

$$M_L = log A - log A_0$$

A est le déplacement maximum du sol exprimé en millimètres, A_0 une valeur standard fonction de la distance d(km) entre la station sismique et l'épicentre, telle que $A_0 = (13,435/d)^{3,002}$ pour des distances allant de 200 à 600 km.

Séisme: intensité

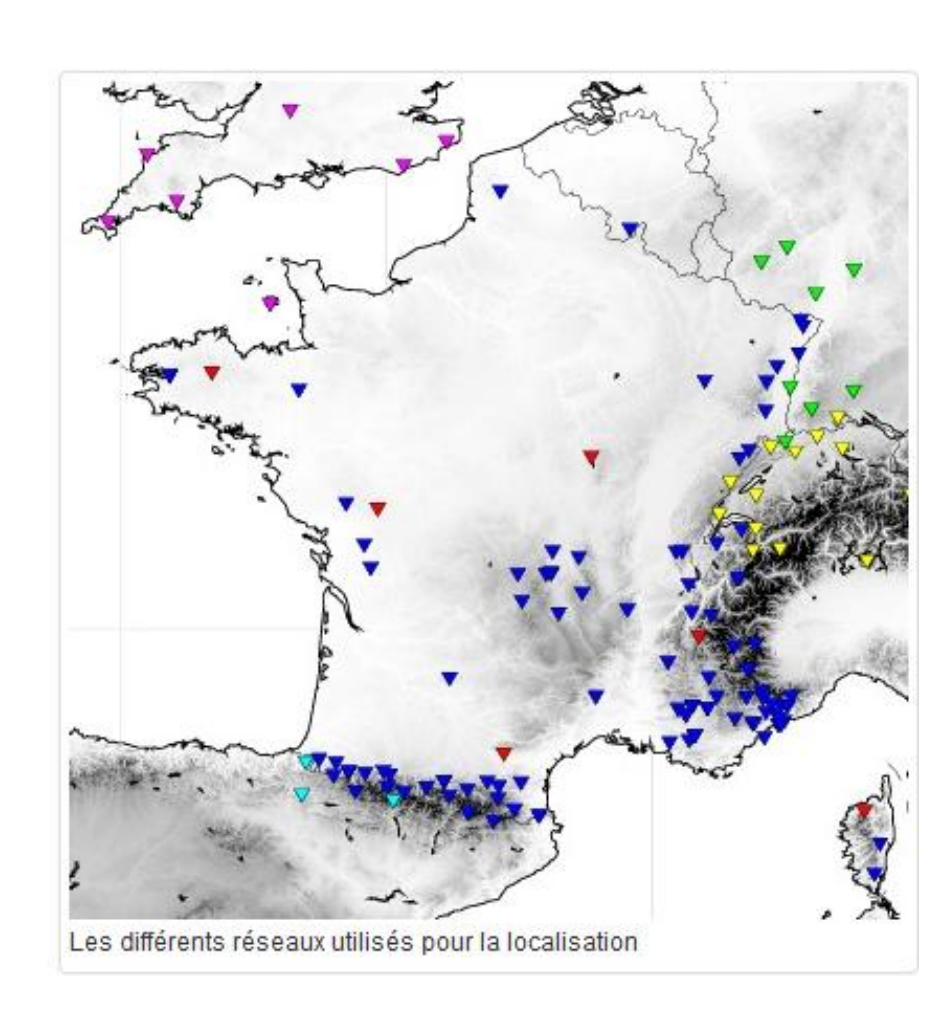
	,
	secousse non ressentie, mais enregistrée par les instruments
II	secousse partiellement ressentie, notamment par des personnes au repos et aux étages
III	secousse faiblement ressentie, balancement des objets suspendus
IV	secousse largement ressentie dans et hors les habitations, tremblement des objets
٧	secousse forte, réveil des dormeurs, chûte d'objets, parfois légères fissures dans les plâtres
VI	légers dommages, parfois fissures dans les murs, frayeur de nombreuses personnes
VII	dégâts, larges lézardes dans les murs de nombreuses habitations, chûtes de cheminées
VIII	dégâts massifs, les habitations les plus vulnérables sont détruites, presque toutes subissent des dégats importants
IX	destructions de nombreuses constructions, quelquefois de bonne qualité, chûte de monuments et de colonnes
Х	destruction générale des constructions, même les moins vulnérables (non parasismiques)
ΧI	catastrophe, toutes les constructions sont détruites (ponts, barrages, canalisations enterrées)
XII	changement de paysage, énormes crevasses dans le sol, vallées barrées, rivières déplacées



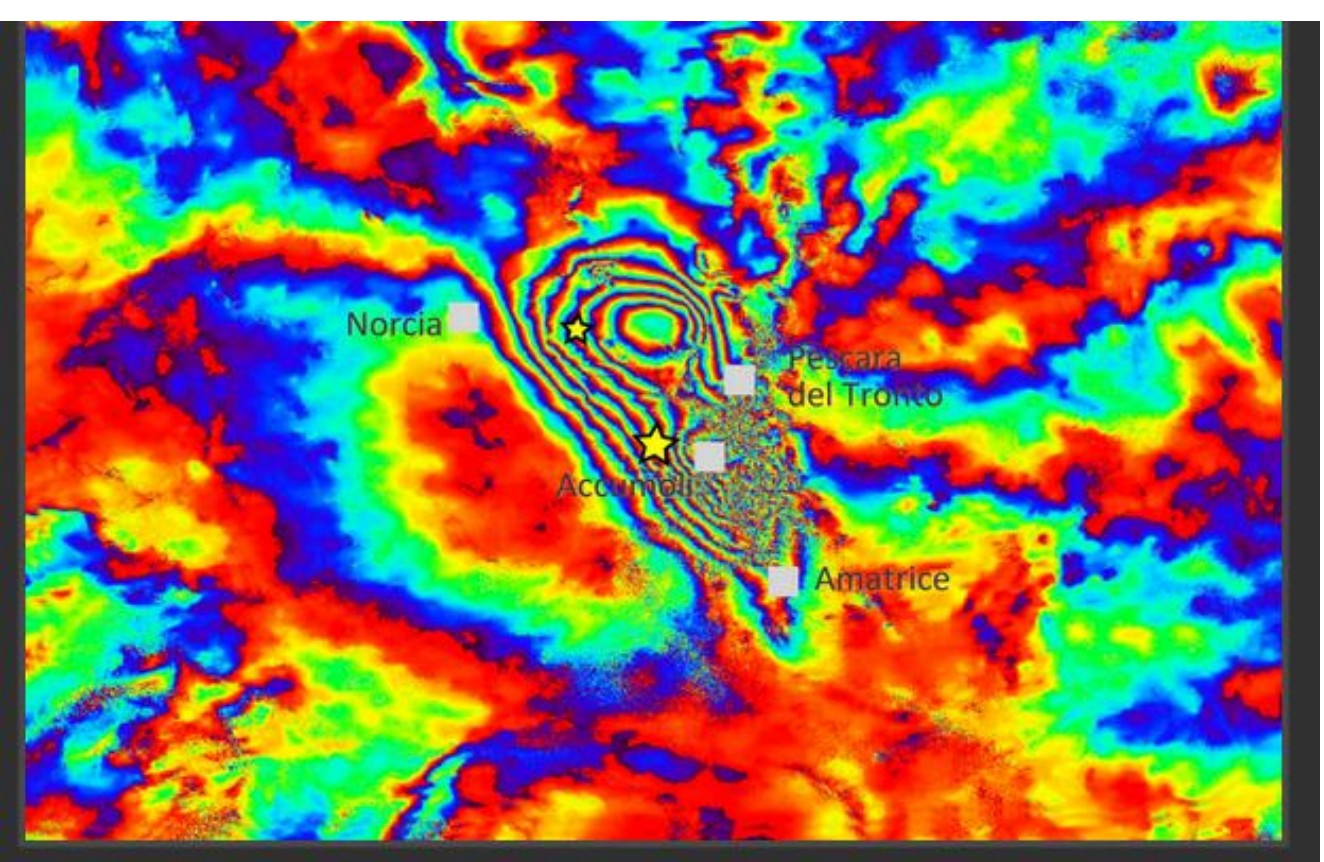
Stations de surveillance sismique de la France métropolitaine

Réseaux utilisés pour la localisation

Code réseau	Nom	Pays
СН	SED	Suisse
ES	IGN	Espagne
FR	RLBP / RéNaSS	France
GB	BGS	Angleterre
LE	LGRB	Allemagne
RD	CEA-LDG	France



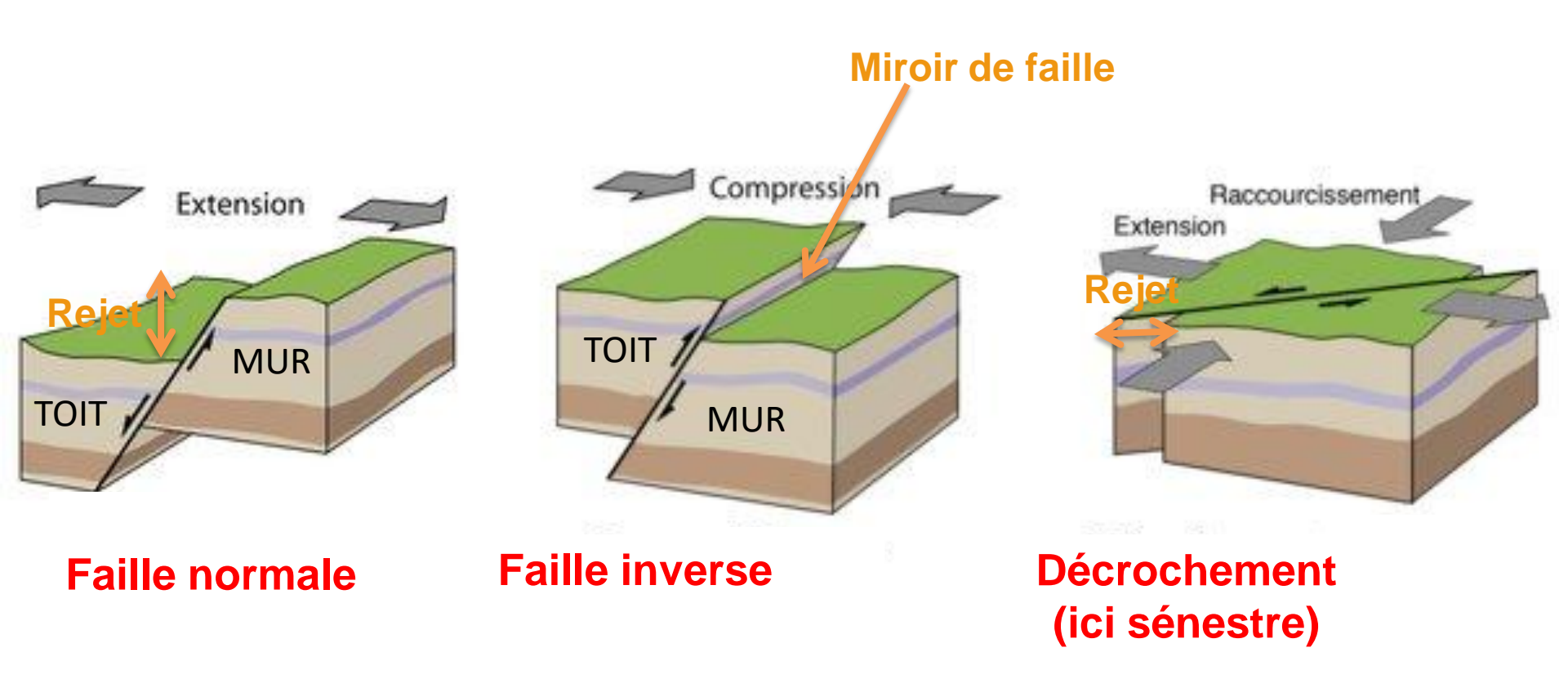
Détection de déformations par interférométrie radar



En Italie, déformation de la surface terrestre causée par le tremblement de Terre du 24 août. Interférogramme construit à partir de données des satellites Sentinel-1A et Sentinel-1B. Programme Copernicus. Crédit image : ESA / CNR-IREA Plusieurs images du même endroit sont acquises successivement par un radar embarqué à bord d'un satellite L'analyse des différences de phase permet de déterminer les déformations.

Ex du séisme italien du 24 août 2016

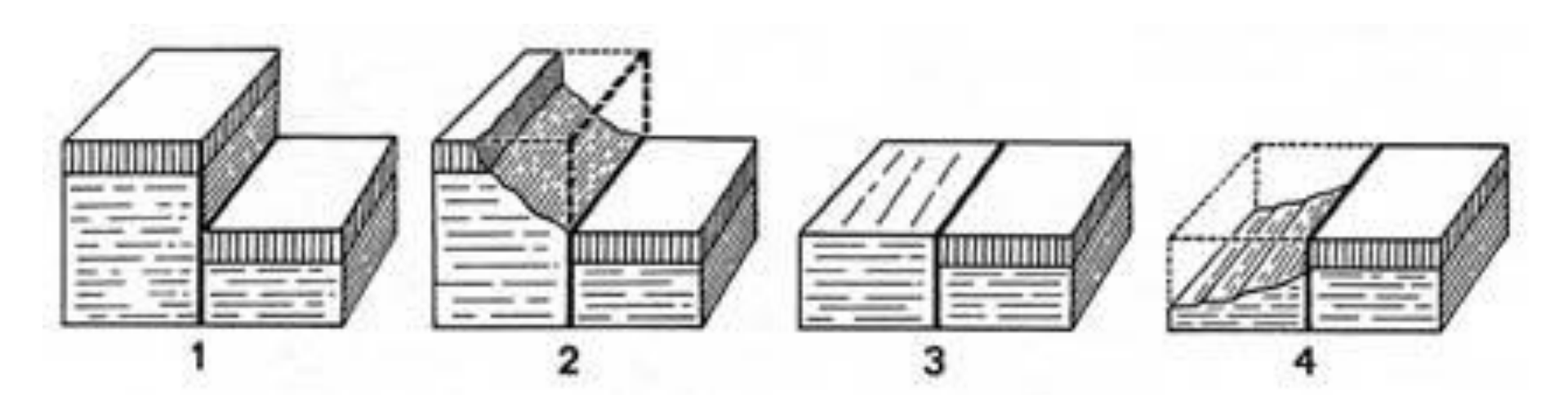
Failles



Rejet \neq Escarpement de faille

décalage tectonique originel

décalage topographique

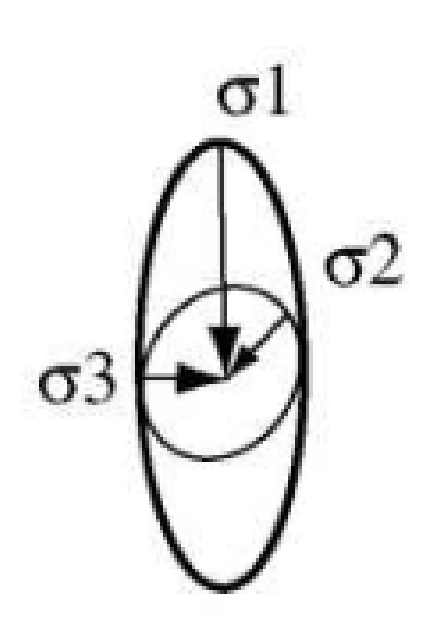


Failles conjuguées



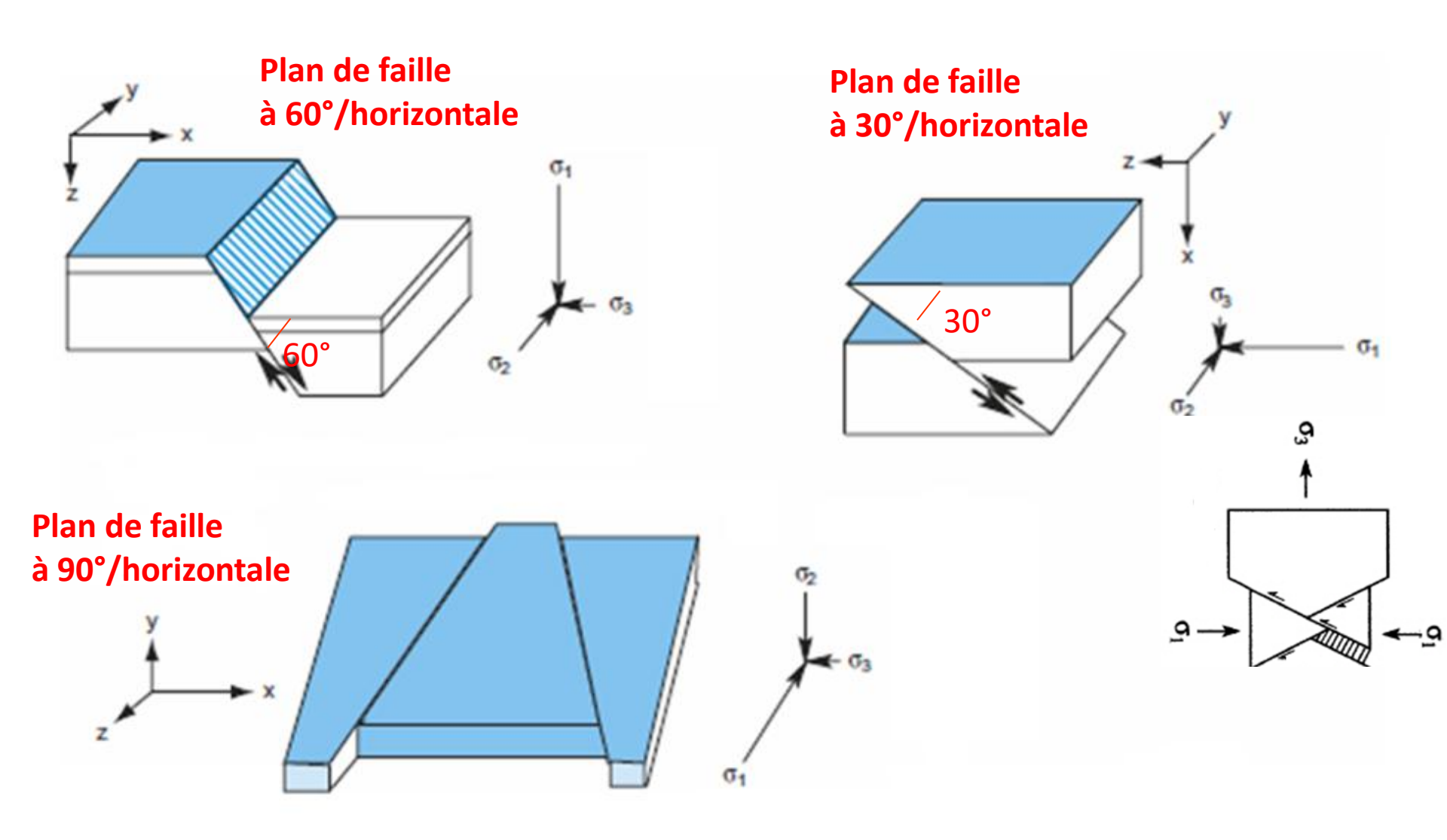


Obtention expérimentale de failles conjuguées avec une presse



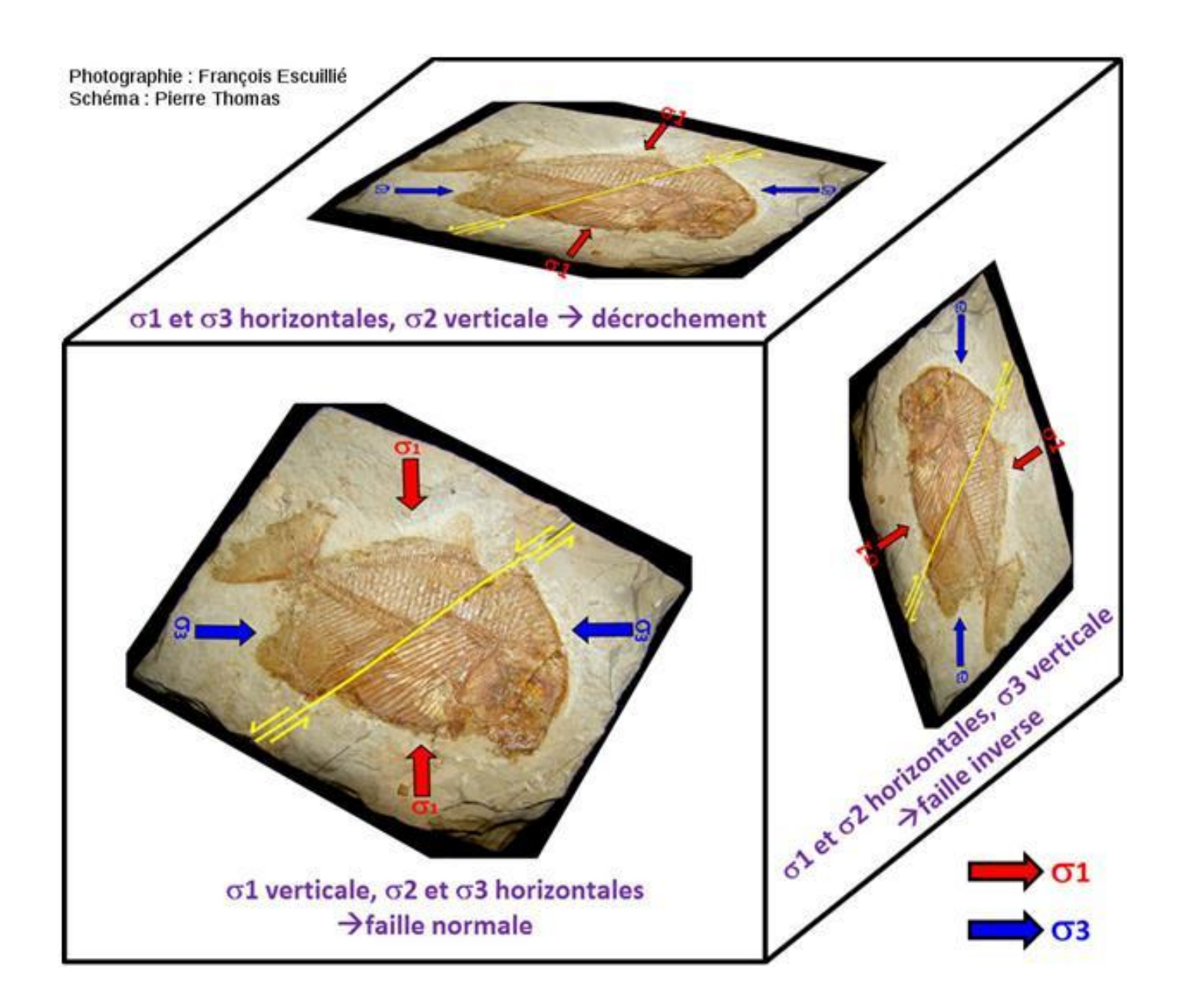


Relation entre type de failles et contraintes

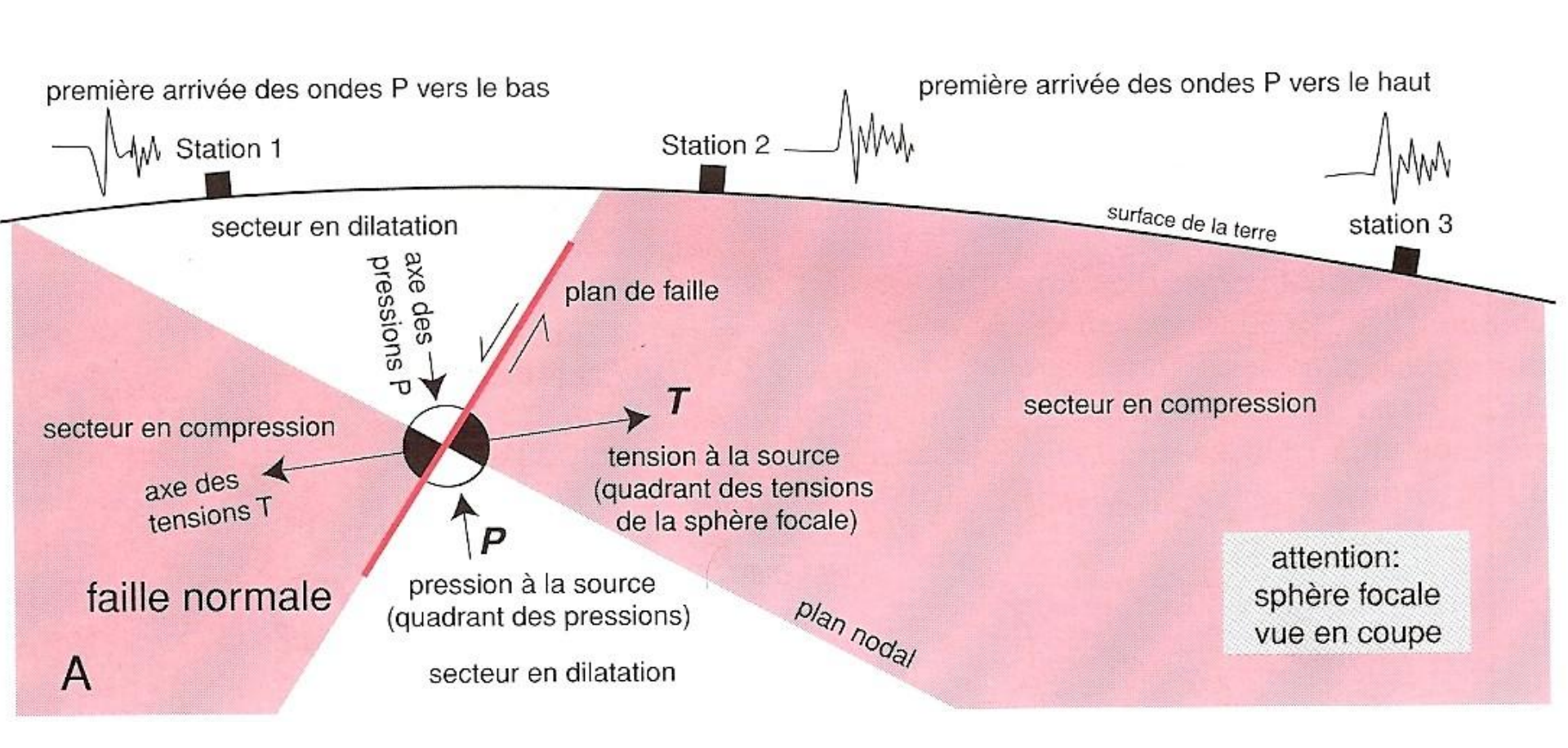


Déterminer, si c'est possible, les déformations, les contraintes et le type de faille.

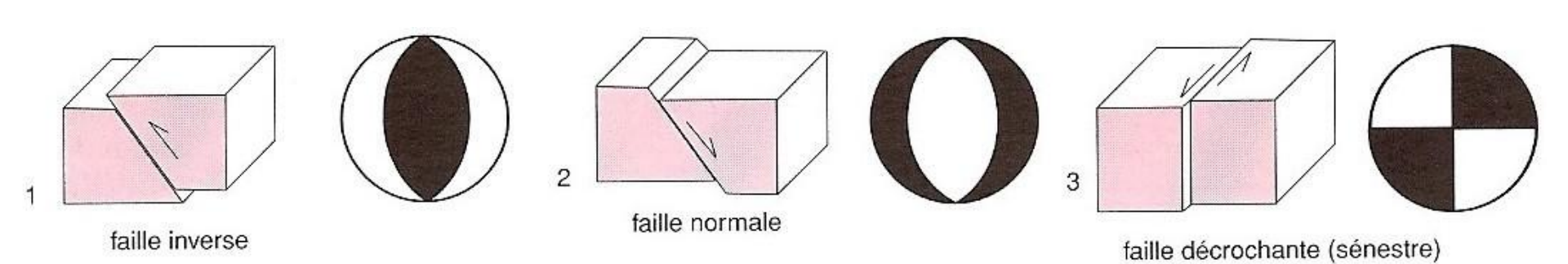


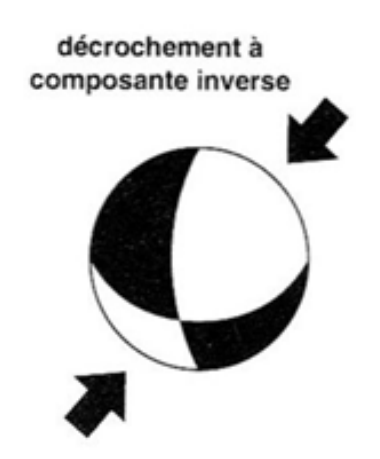


Mécanisme au foyer: établissement

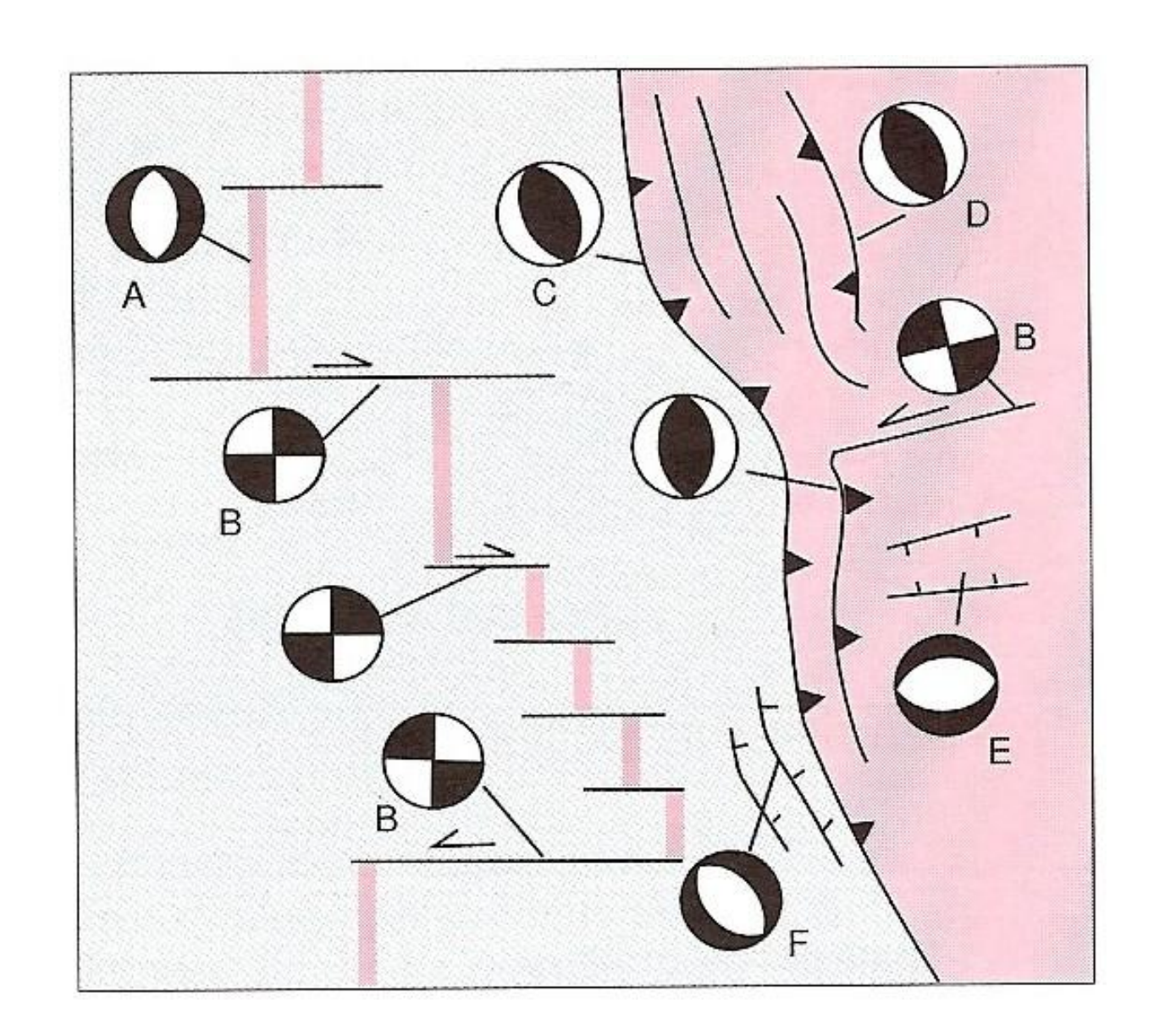


Mécanisme au foyer: traduction

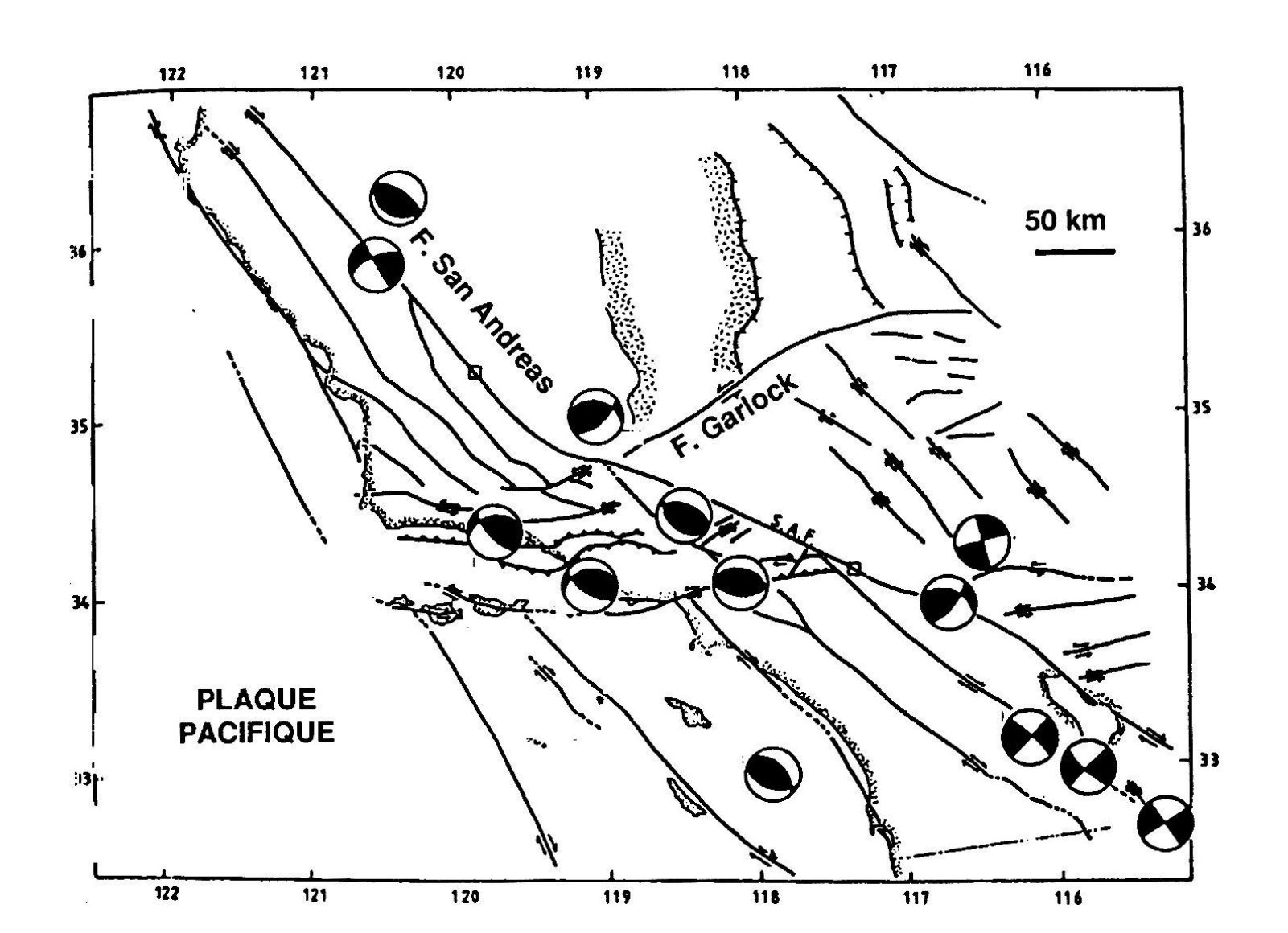




Mécanisme au foyer et contexte tectonique - ex1



Mécanisme au foyer et contexte tectonique - ex2



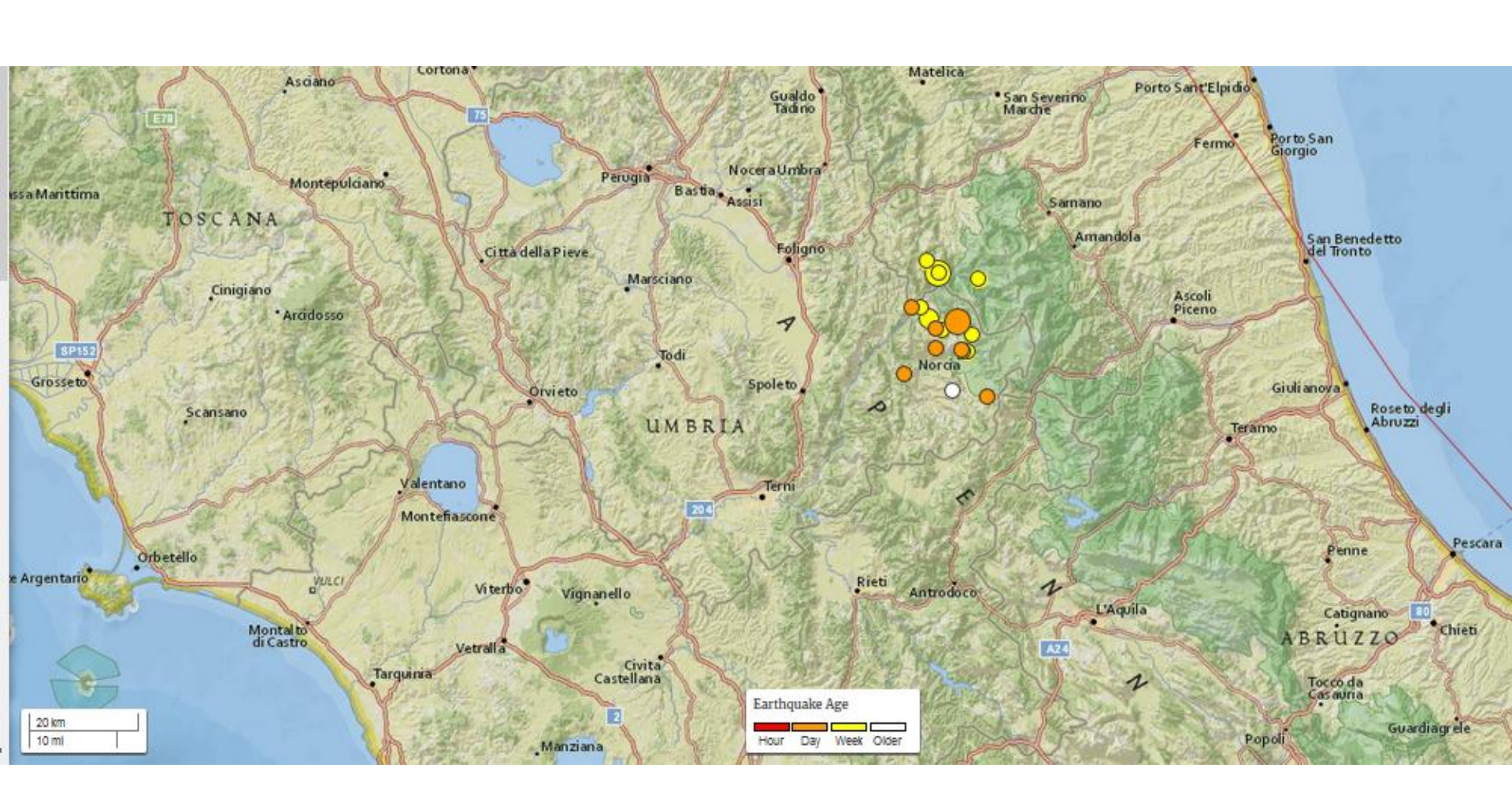
Ex du séisme italien du 26/10/2016 (site USGS): localisation/datation

Magnitude	6.1 mww
Location uncertainty	42.934°N 13.043°E ±4.9 km
Depth uncertainty	10.0 km ±1.7
Origin Time	2016-10-26 19:18:08.320 UTC

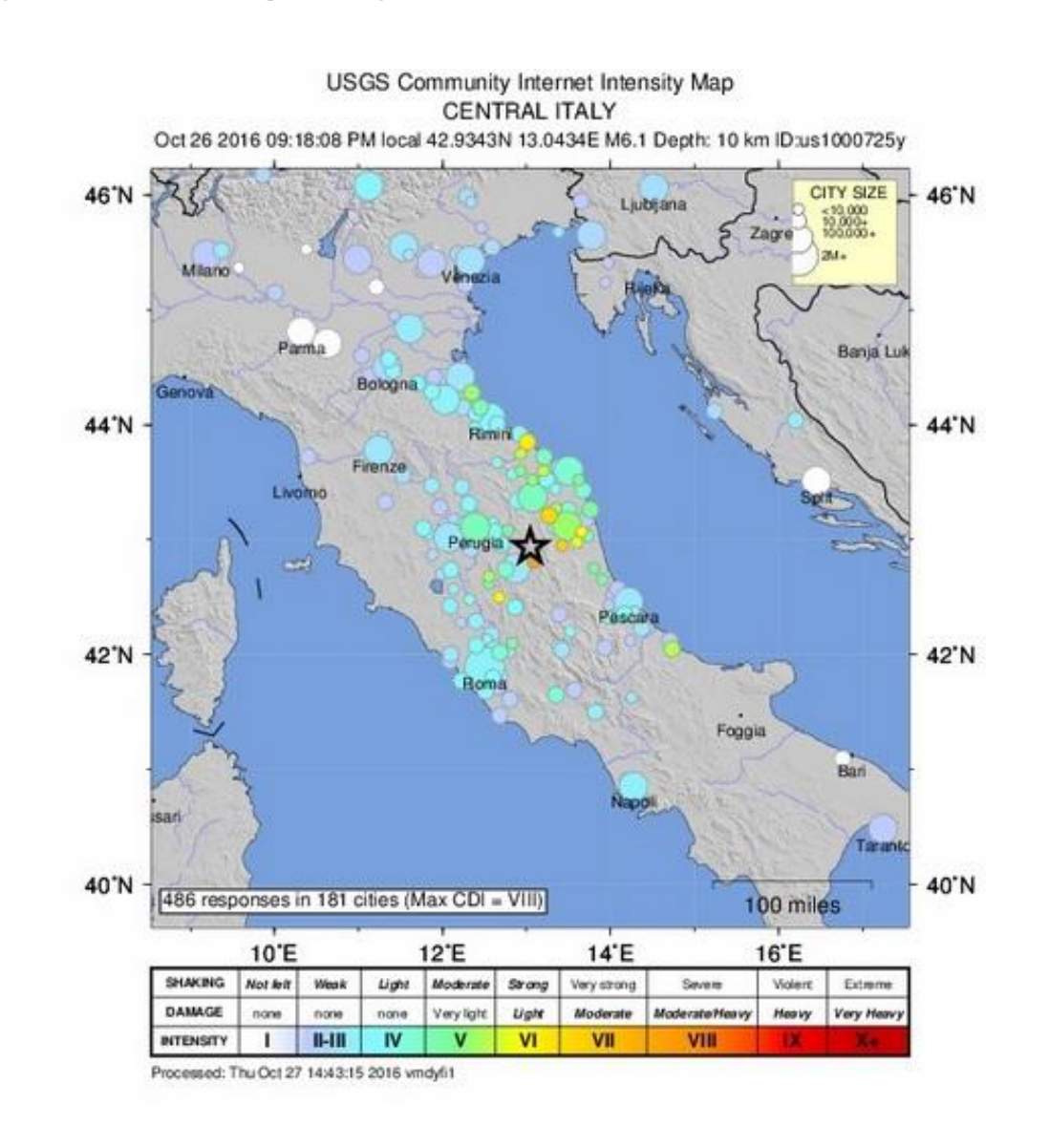
M 6.6 le 30.10.2016



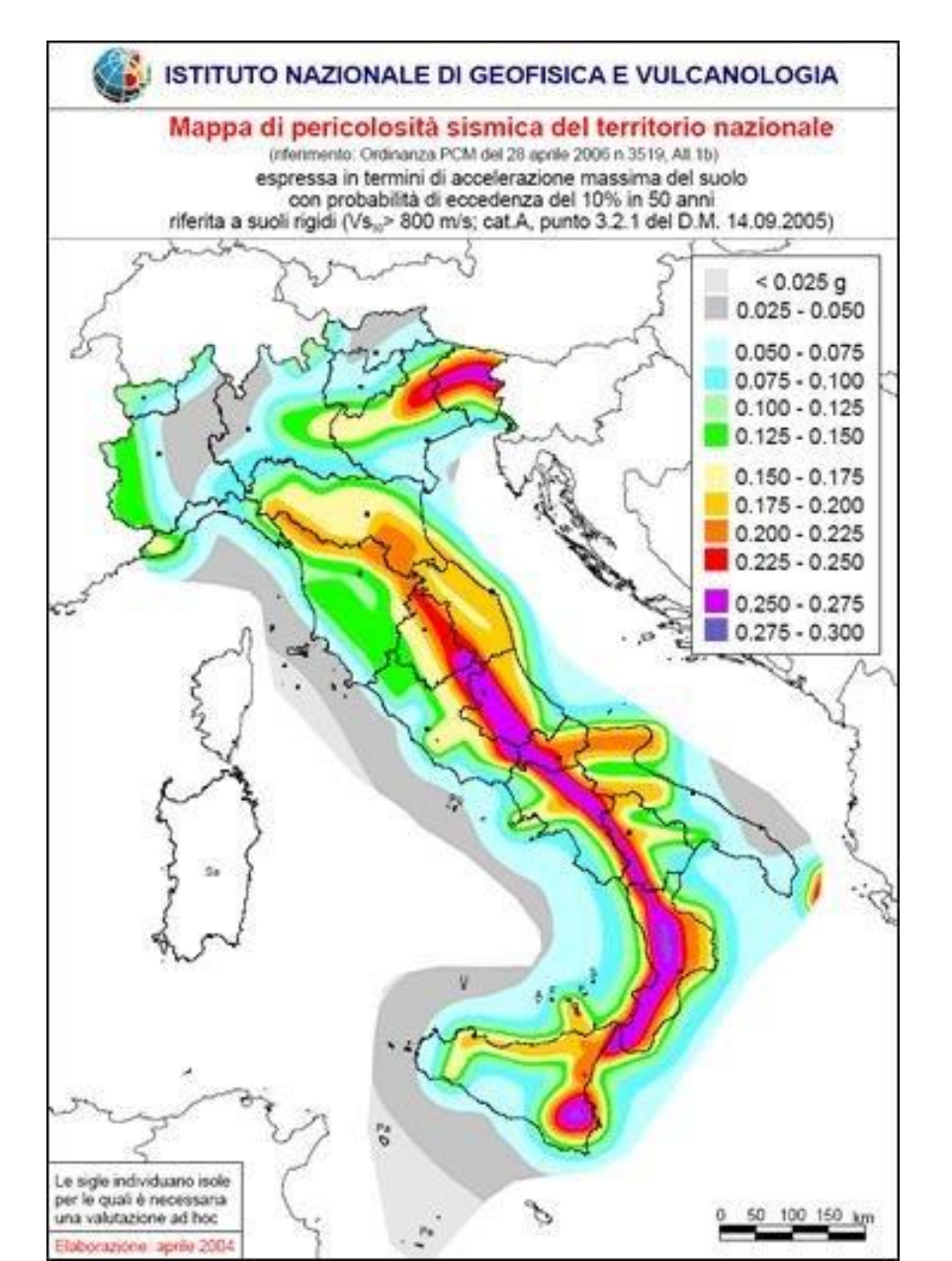
Localisation intraplaque des séismes italiens fin oct 2016 (site USGS)



Ex du séisme italien du 26/10/2016 (site USGS): analyse des dégâts pour la détermination de l'intensité



Carte de l'aléa sismique en Italie



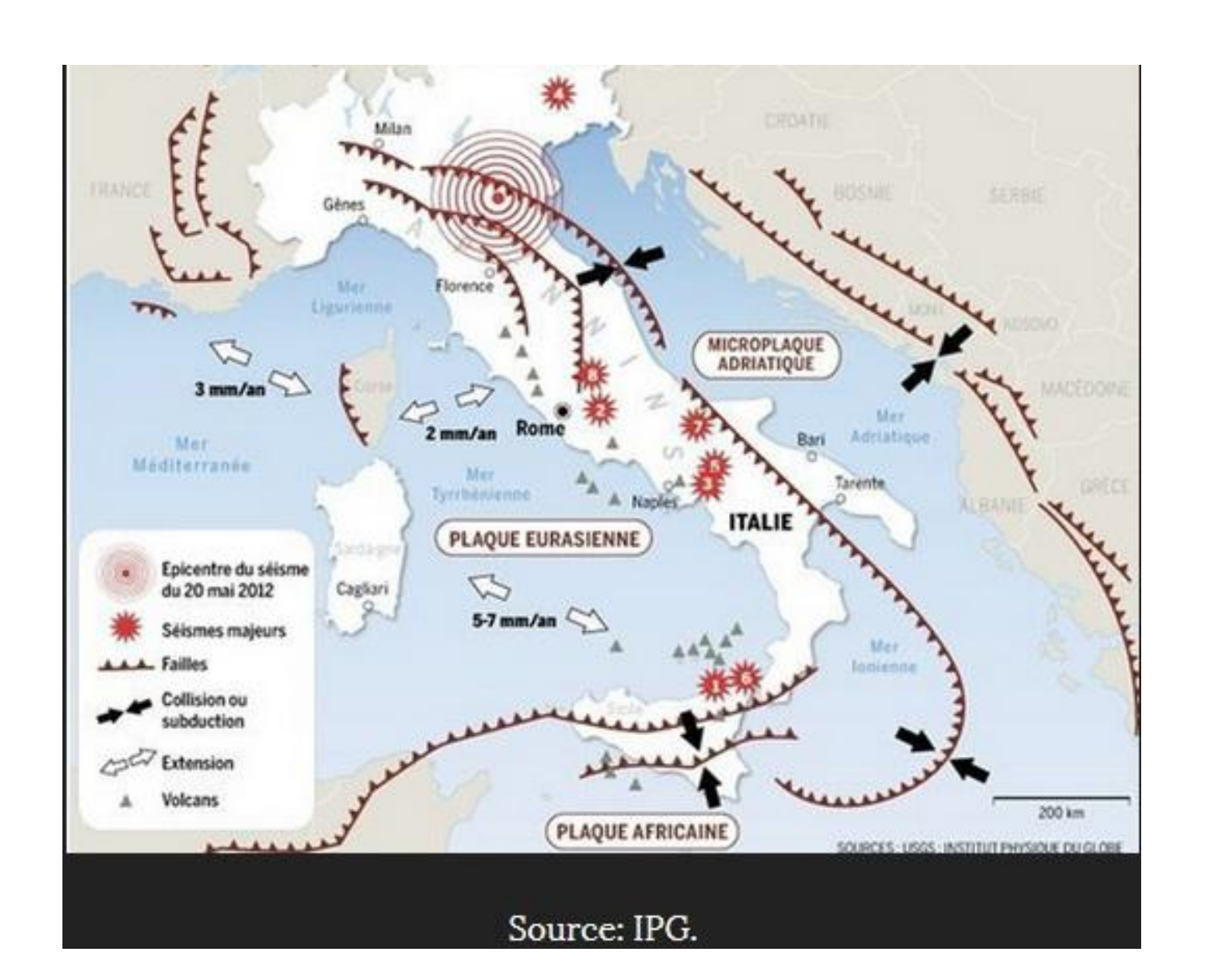
Estimée par l'accélération maximale du sol ayant une probabilité de 10% en 50 ans

Données INGV 2004

Ex du séisme italien du 26/10/2016 (site USGS): carte des séismes régionaux



Ex du séisme italien du 26/10/2016: contexte tectonique



Ex du séisme italien du 26/10/2016 (site USGS): mécanisme au foyer

Moment Tensor

View alternative moment tensors (4 total)

Contributed by US2 last updated 2016-10-26 21:57:16 (UTC)

- ✓ The data below are the most preferred data available
- ✓ The data below have been reviewed by a scientist.

W-phase Moment Tensor (Mww)

Moment	1.840e+18 N-m	(333, 40, -92)
Magnitude	6.1 Mww	
Depth	11.5 km	
Percent DC	90 %	P
Half Duration	4 s	
Catalog	US	Т
Data Source	US ²	
Contributor	US ²	(1

Par exemple, le mécanisme au foyer (Global CMT Project Moment Tensor Solution) pour le séisme de L'Aquila (Italie) du 6 avril 2009 (magnitude 6.3, jeu sur une faille normale):

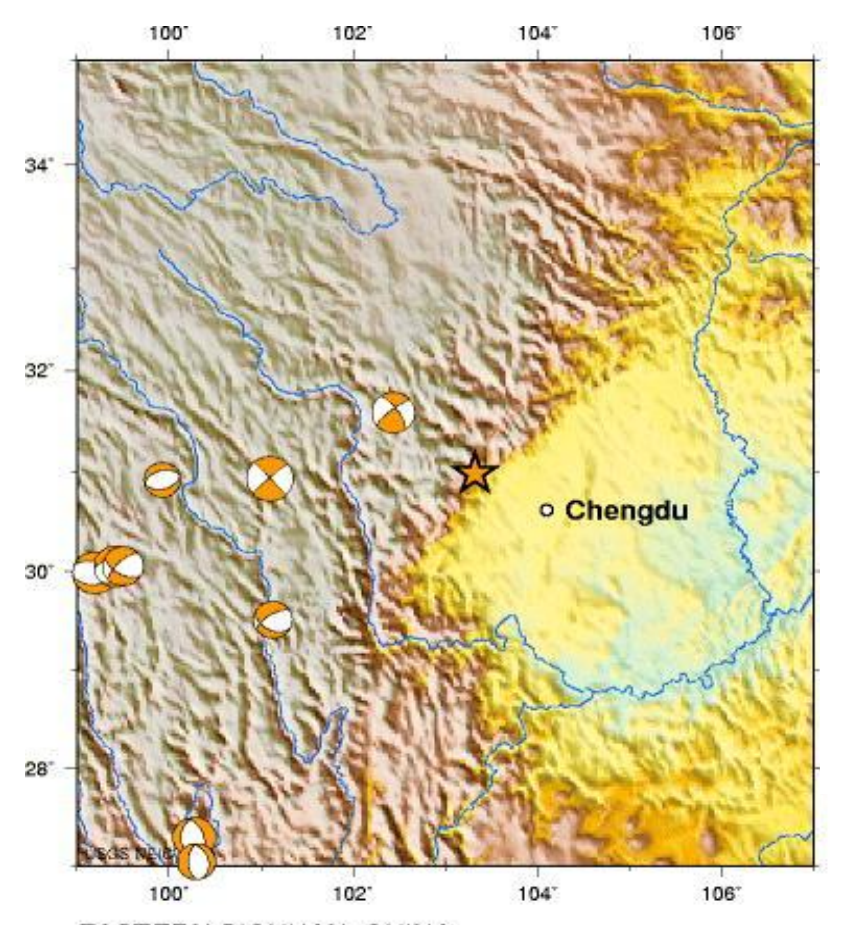
#########	April 6, 2009, CENTRAL ITALY, 1	
##########	CENTROID-MOMENT-TENSOR SOLUTION	1
#########	GCMT EVENT: C200904060132A	4
########	DATA: II IU CU G GE	1
#########	[]	
#########	PRINCIPAL AXES:	
*********	1.(T) VAL= 3.423; PLG= 3; AZM=23	31
#### P#######	2.(N) 0.001; 15; 14	0
****	3.(P) -3.424; 75; 33	4

#########		

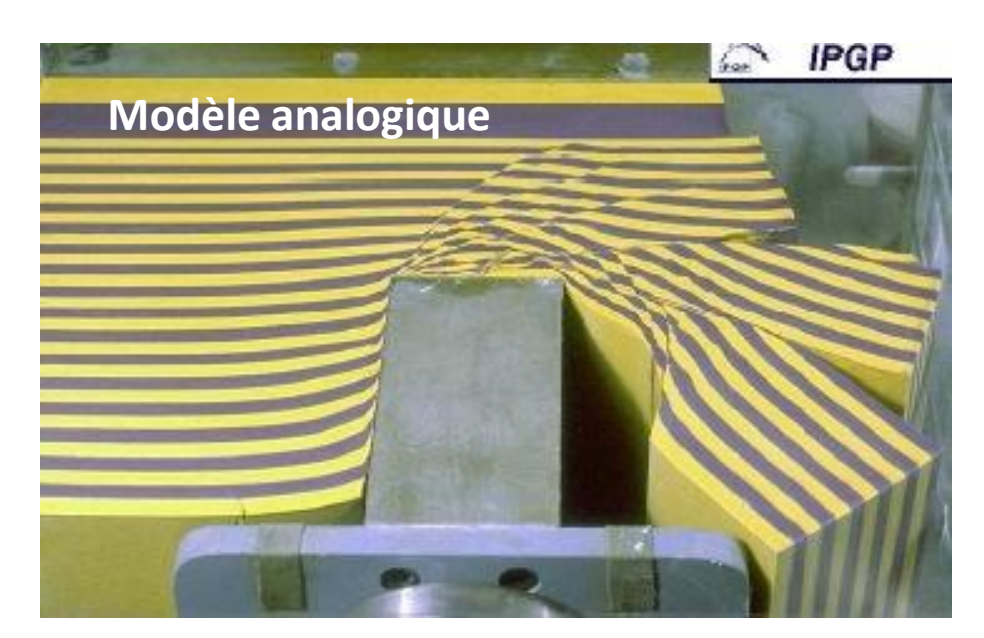
# #####################################		
T ############		

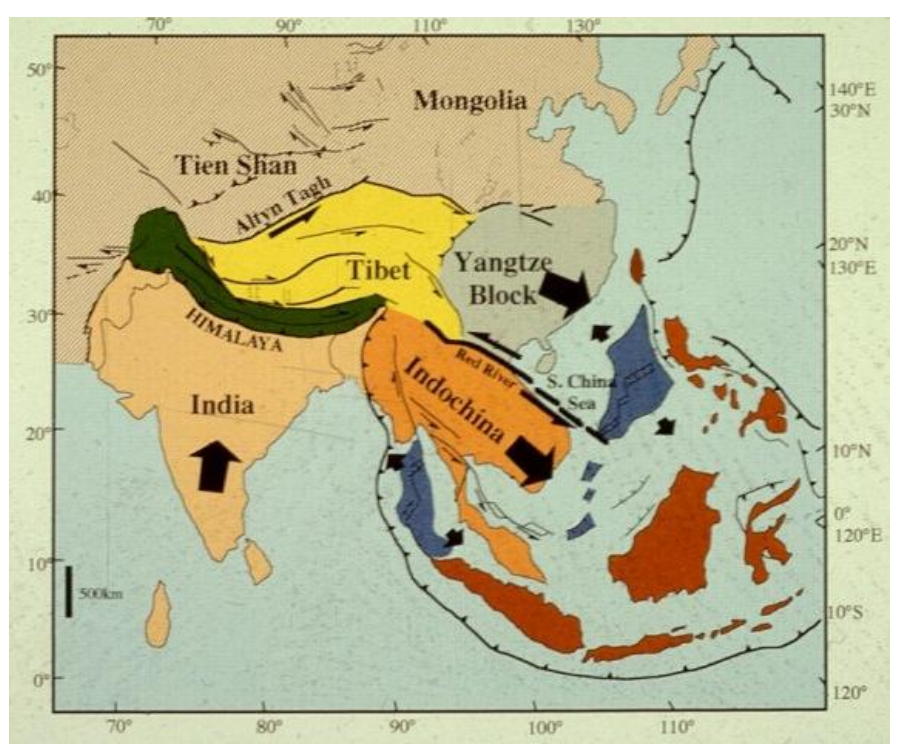


Ex du poinçonnement de l'Asie par la collision indienne

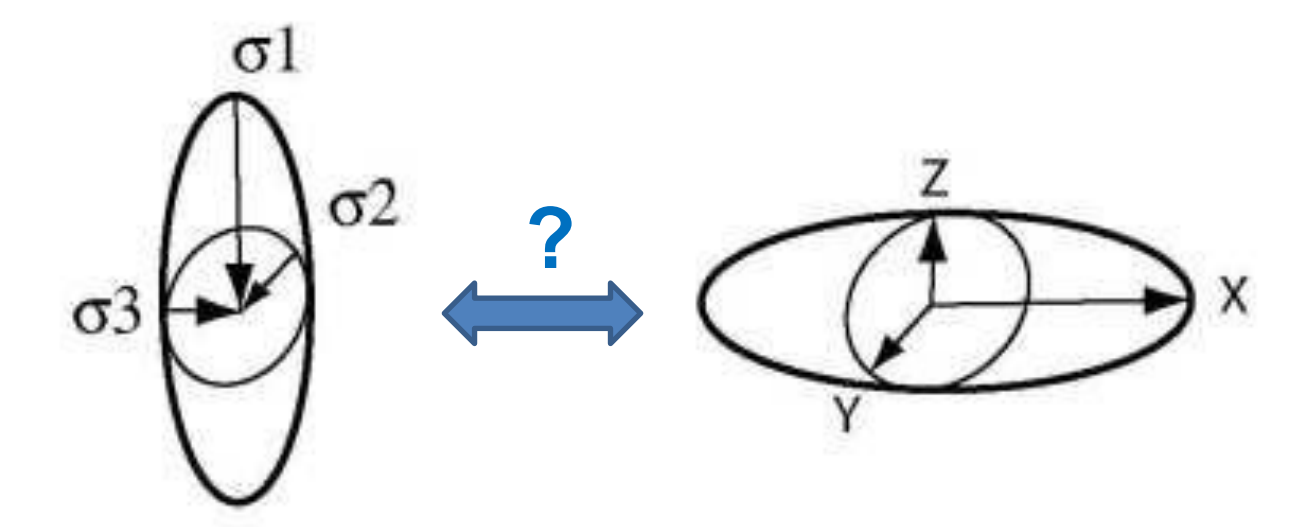


EASTERN SICHUAN, CHINA 2008 05 12 06:28:01 UTC 30.98N 103.32E Depth: 19 km, Magnitude: 7.9



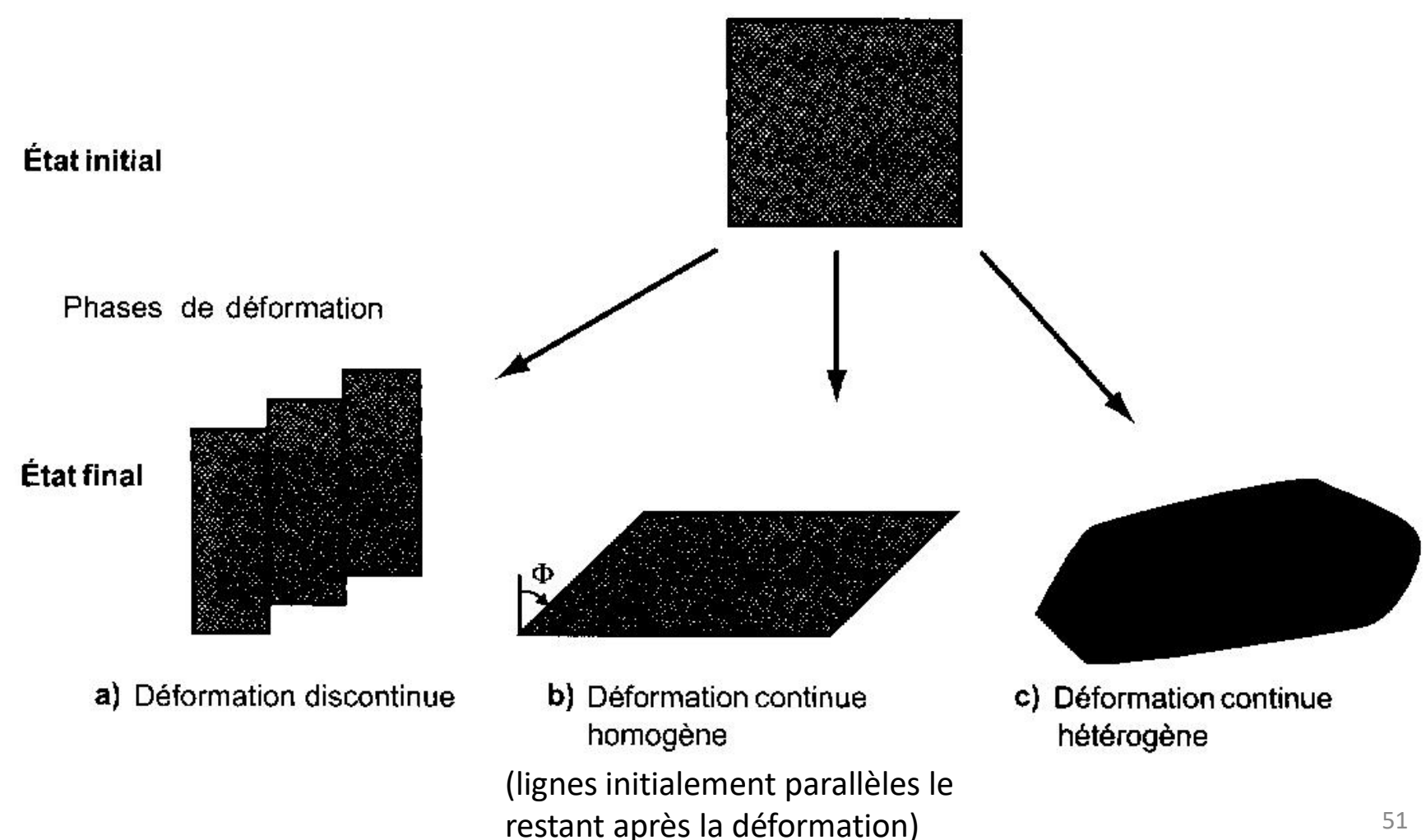


Ellipsoïde des déformations

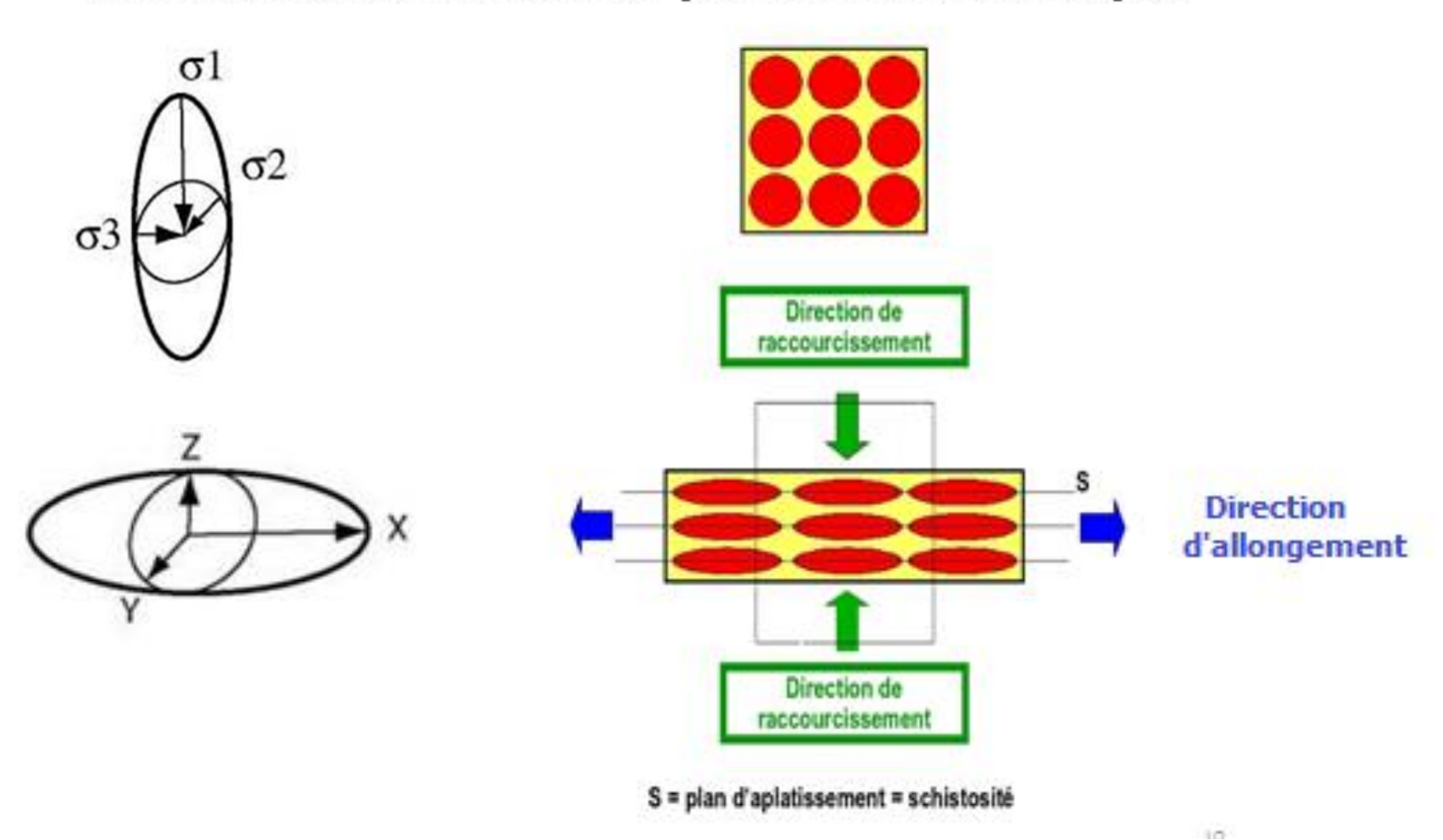


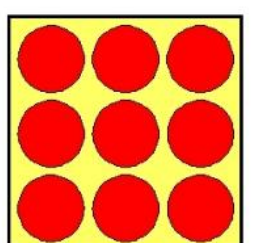
X axe d'allongement maximal Y axe d'allongement intermédiaire Z axe de raccourcissement maximal

Différents types de déformation selon leur géométrie

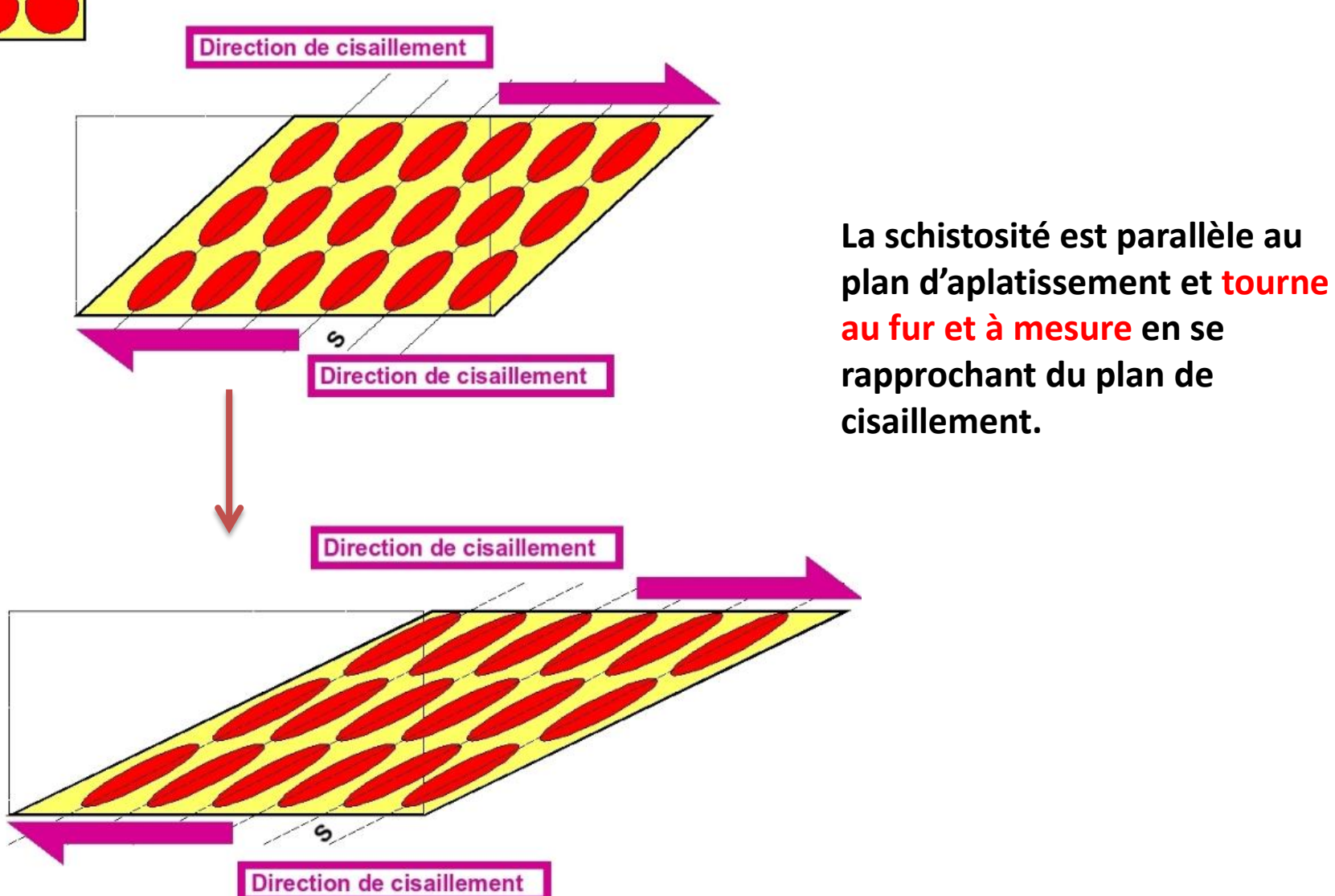


Déformation continue par cisaillement pur

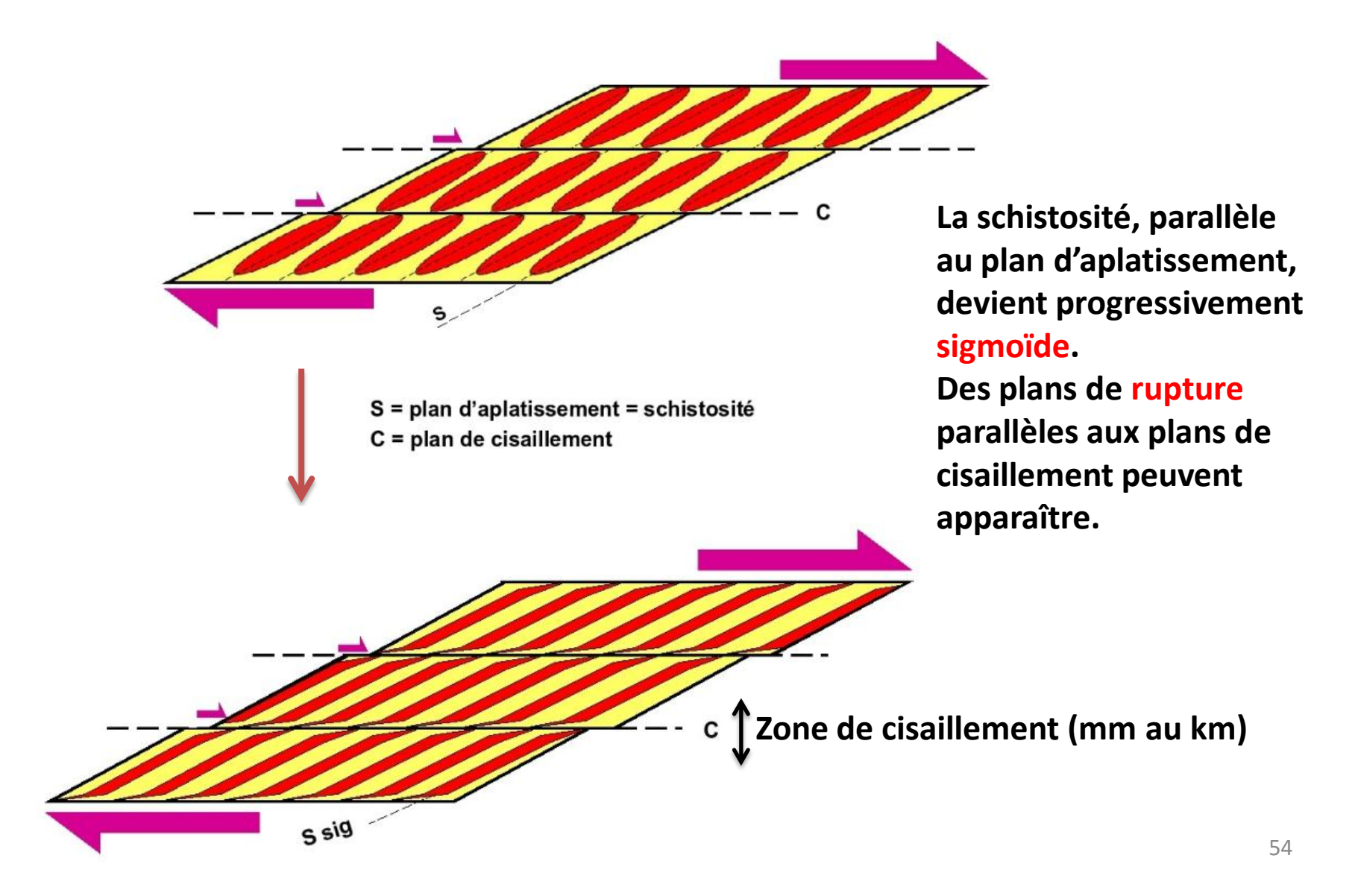




Déformation continue par cisaillement simple



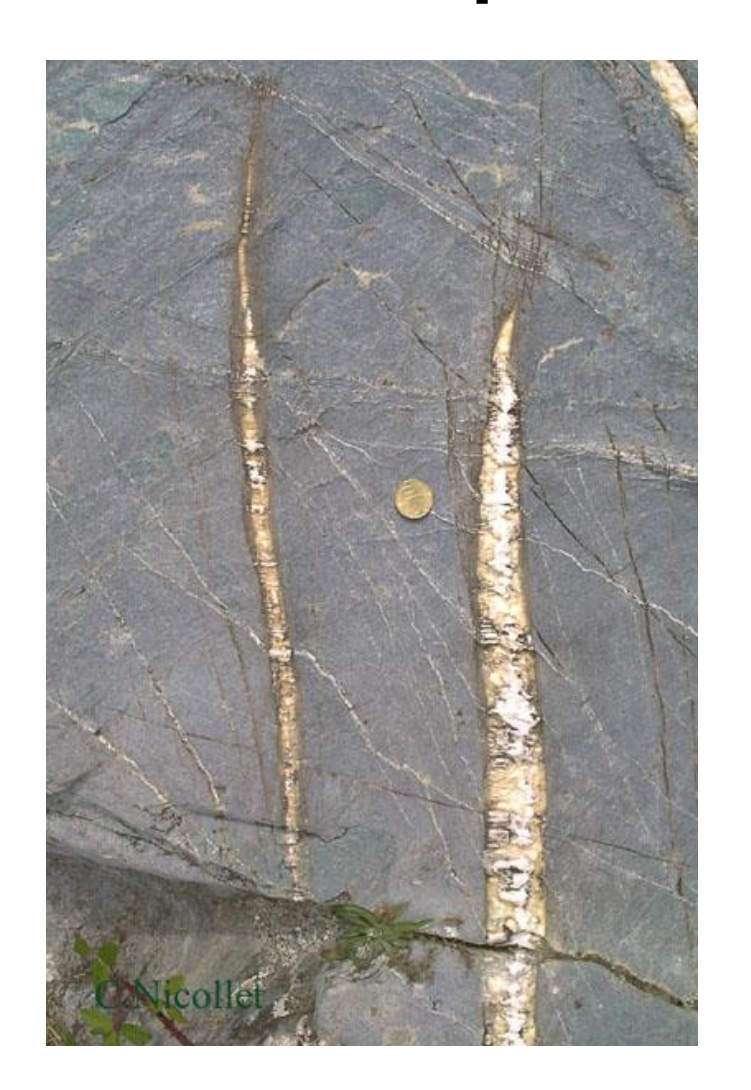
Déformation par cisaillement simple et partiellement discontinue



Bande de cisaillement sans fracture



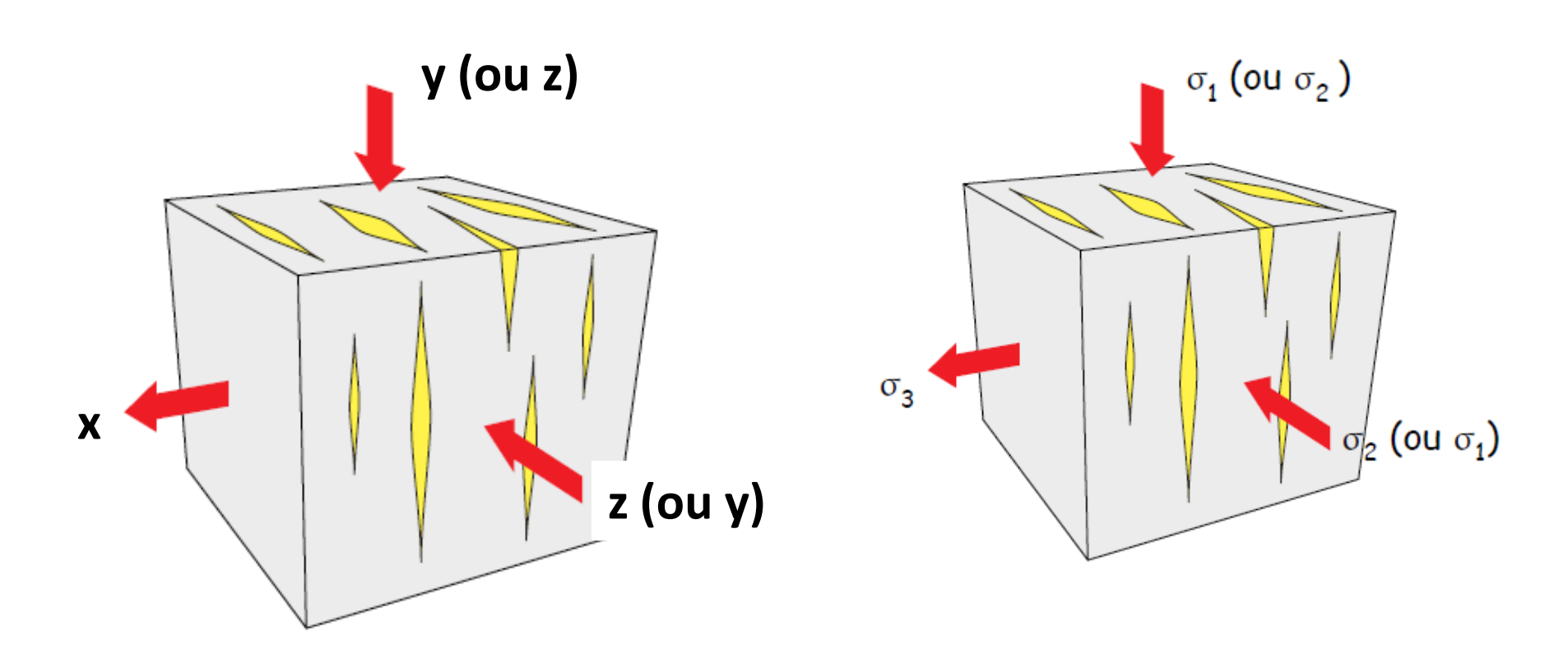
Fentes de tension: fracture sans déplacement des blocs



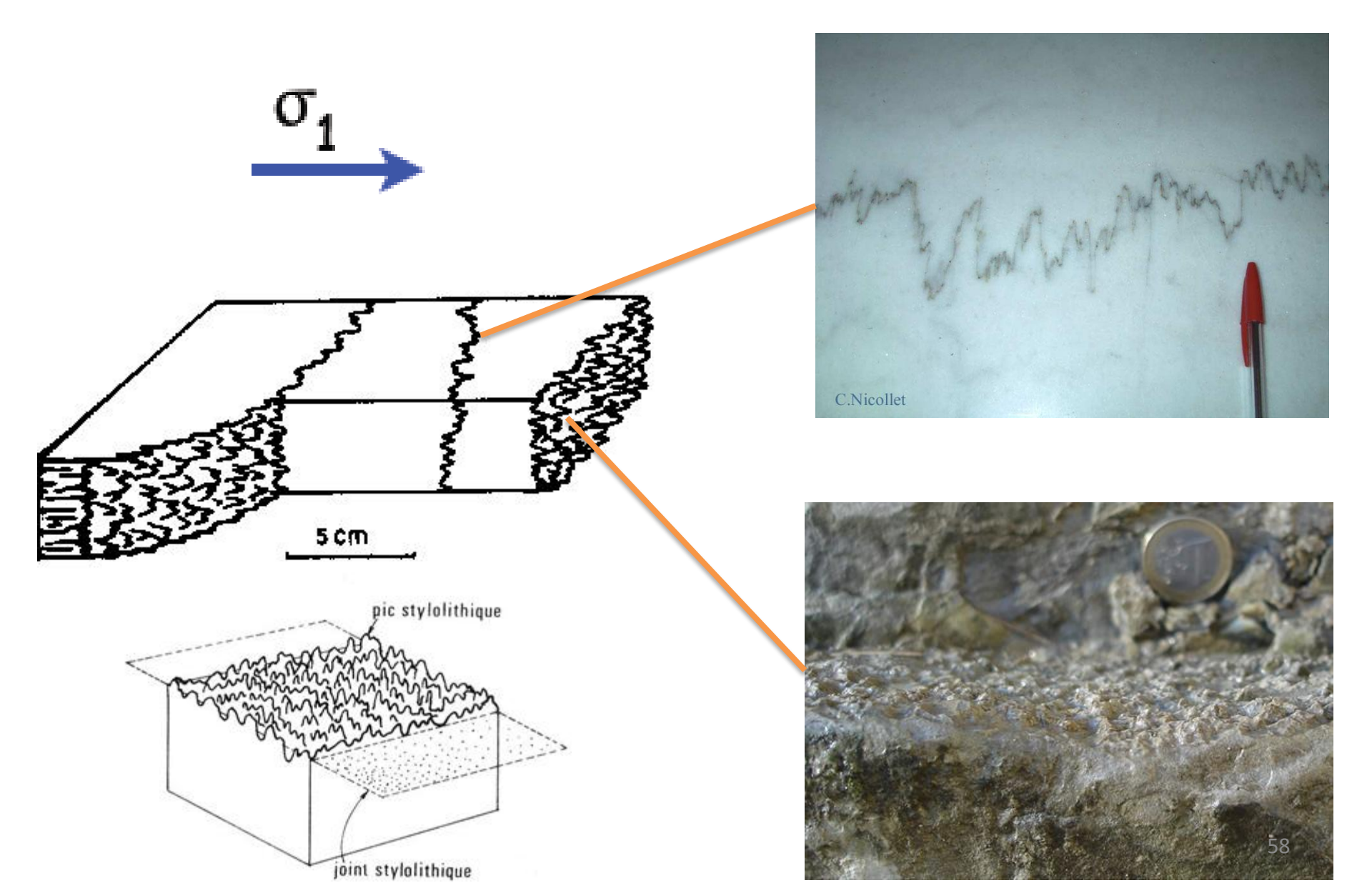


http://christian.nicollet.free.fr/page/TectoCassante/tectocassante.html

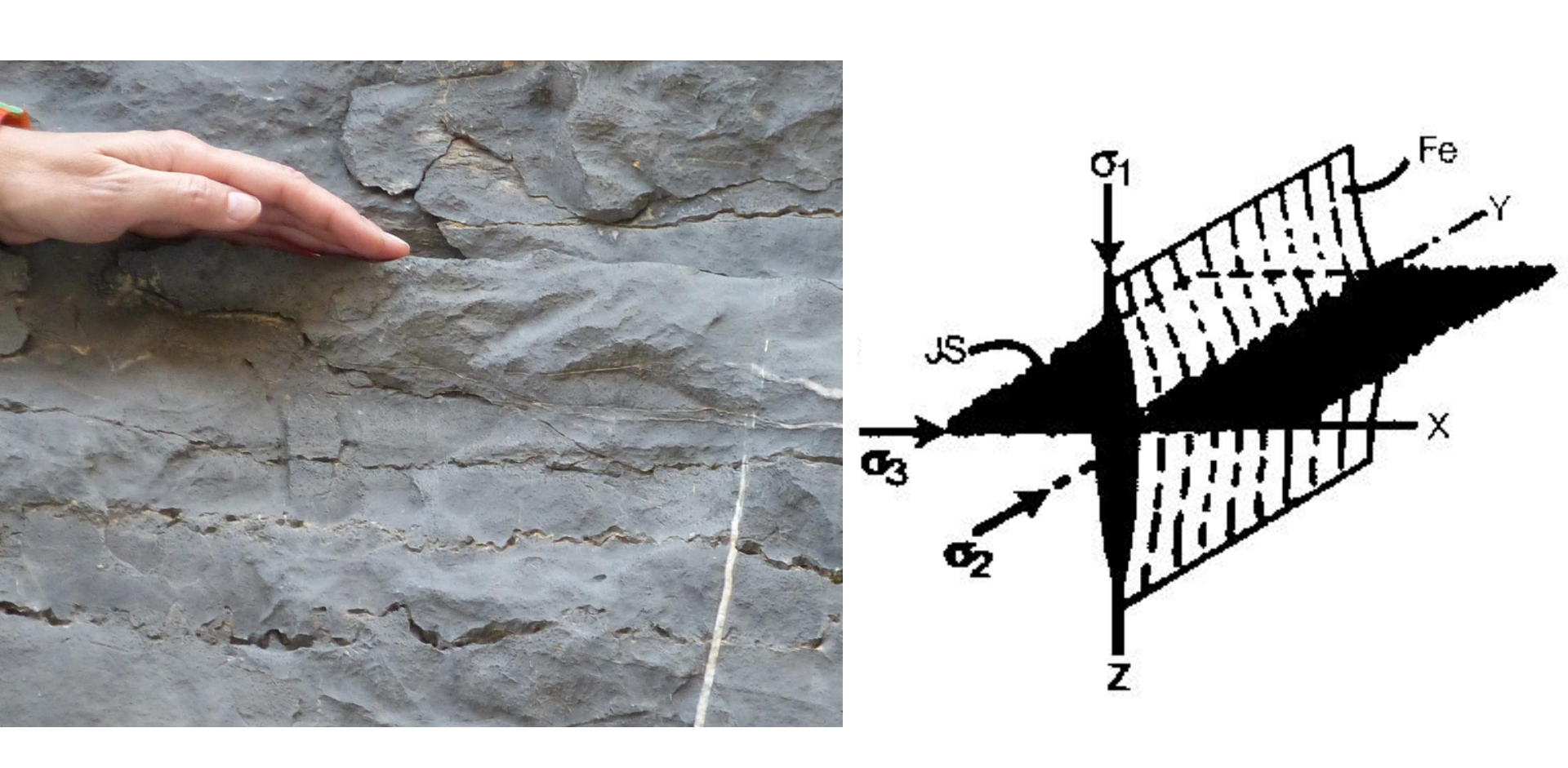
Orientation des fentes de tension: déformations finies et contraintes



Stylolithes



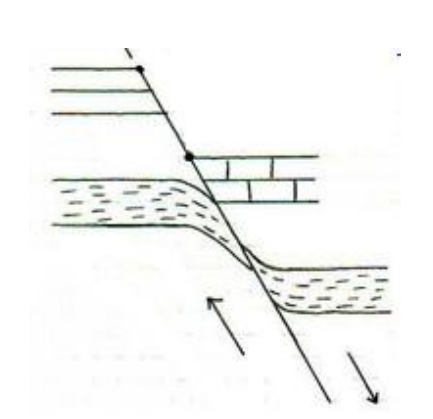
Orientation de fentes de tension + stylolithes



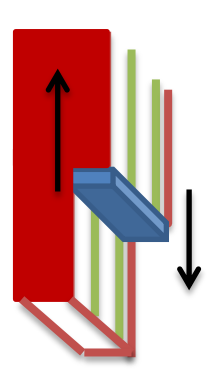
Détermination de la nature d'une faille

Mouvement relatif : - âge

torsion(crochon)



- tectoglyphesdu miroir de faille:
 - stries
 - précipitations
 - stylolithes





Pendage du plan de faille : observation ou V cartographique

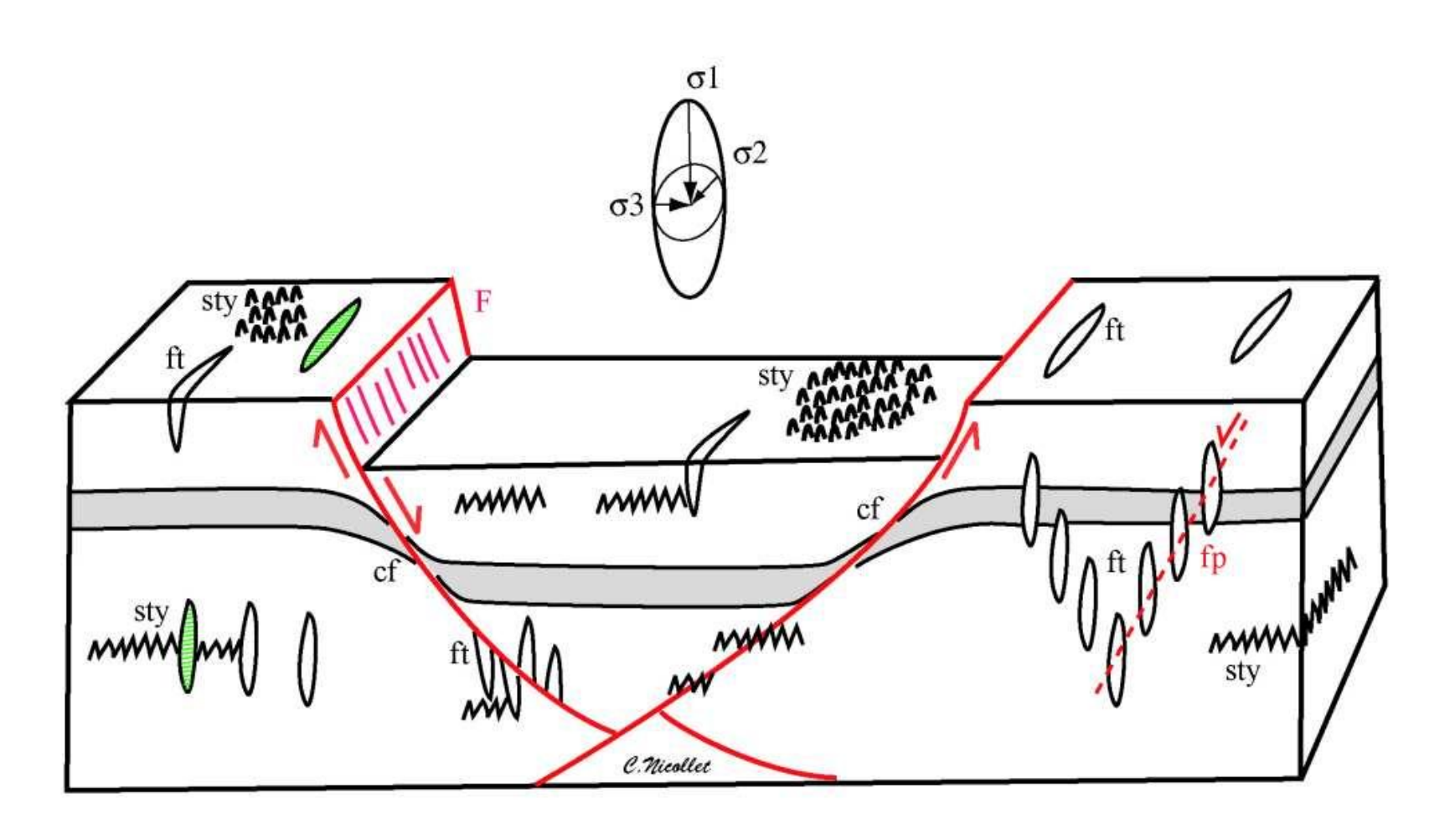
Crochon de faille

(Bourg d'Oisans)



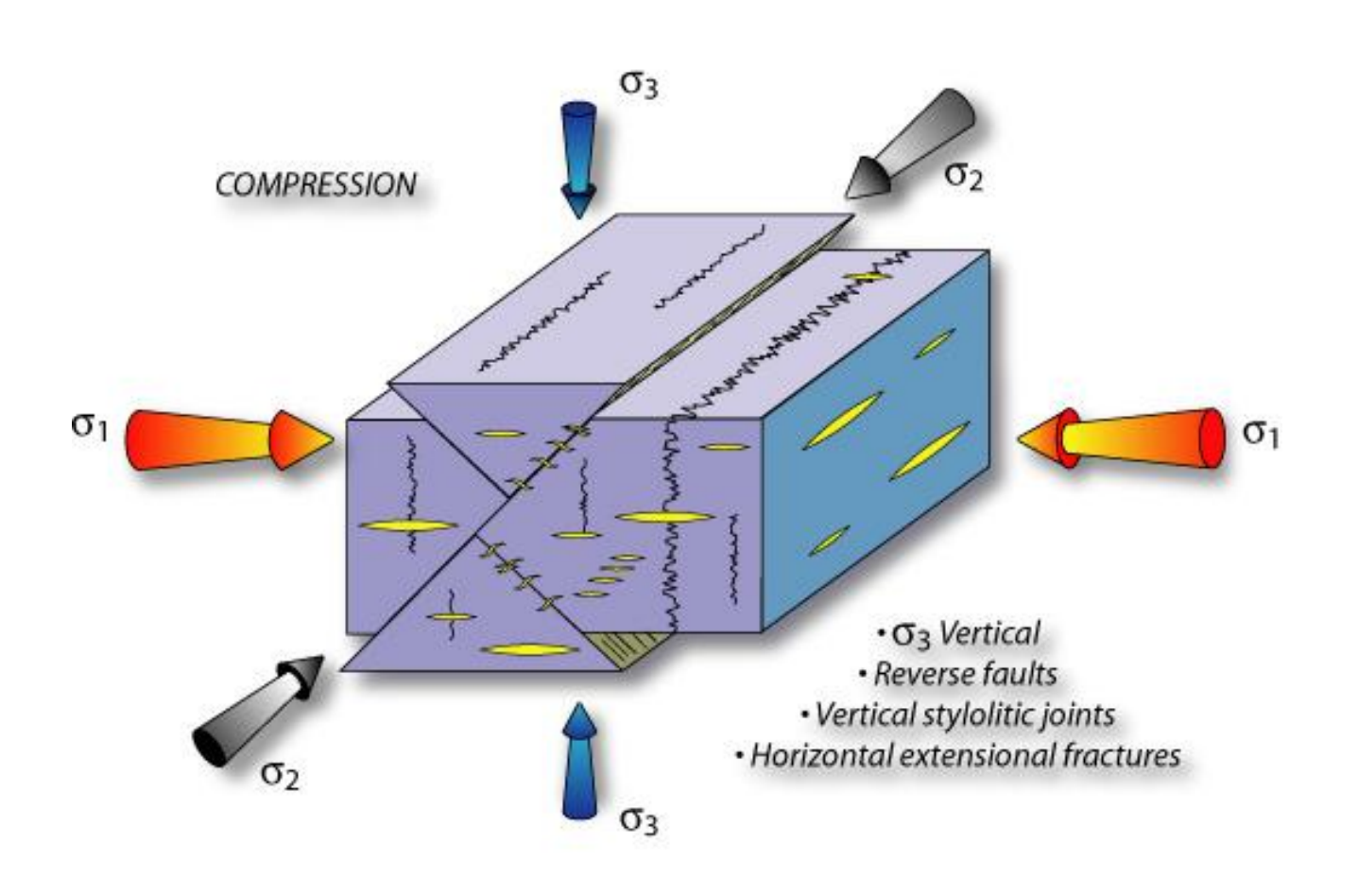
Directions des failles et microstructures par rapport aux contraintes:

ex d'une extension



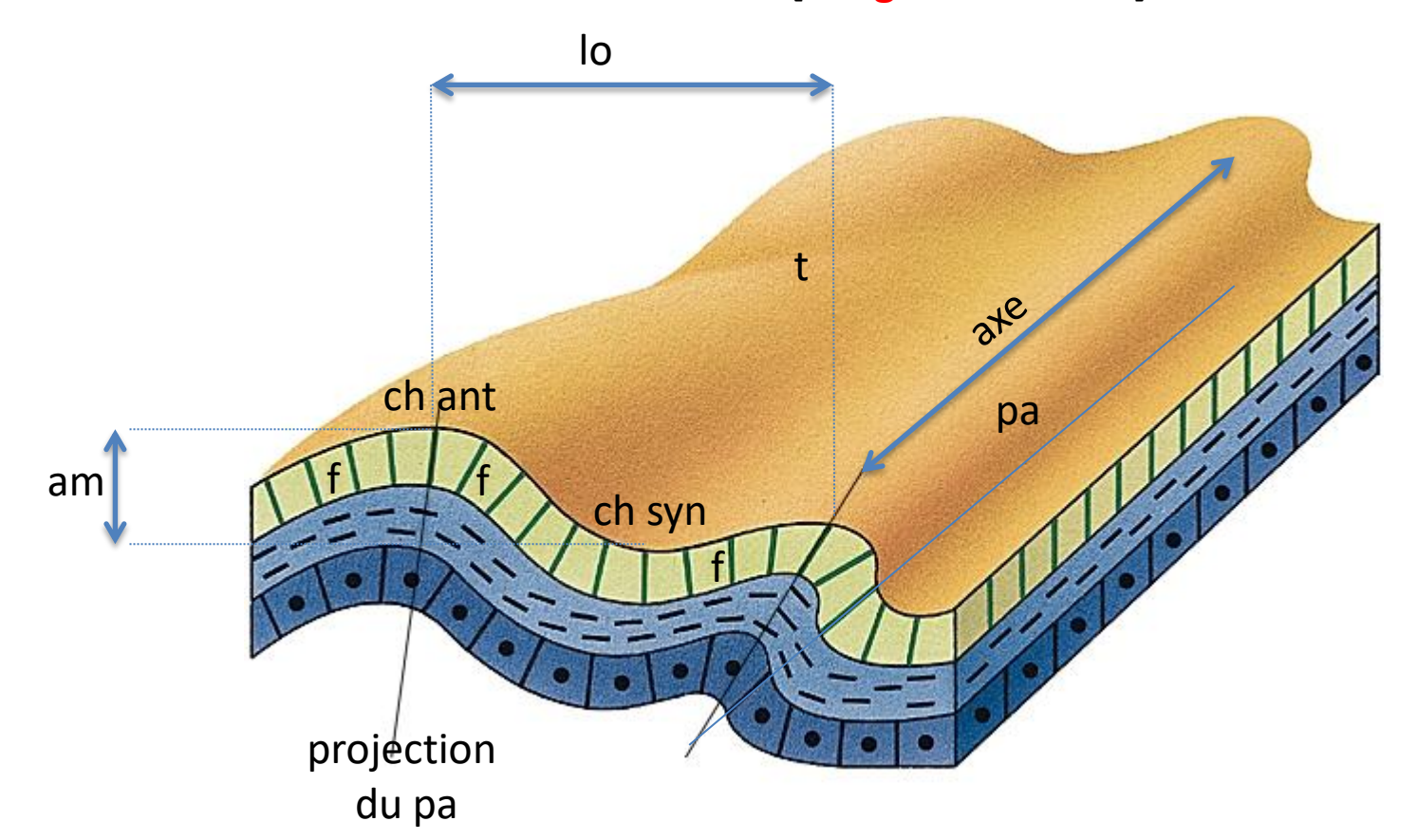
Directions des failles et microstructures par rapport aux contraintes:

ex d'une compression

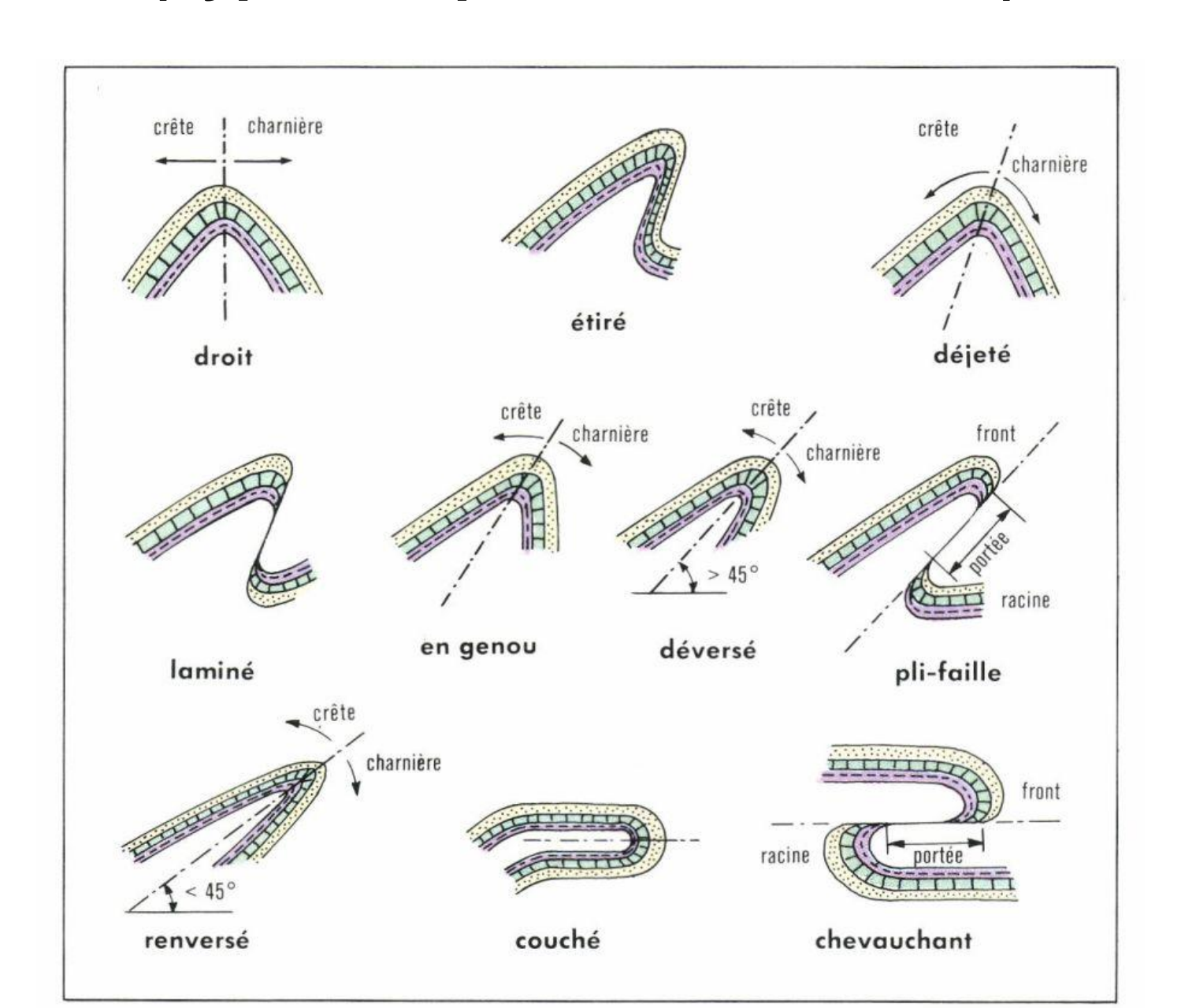


Description d'un pli

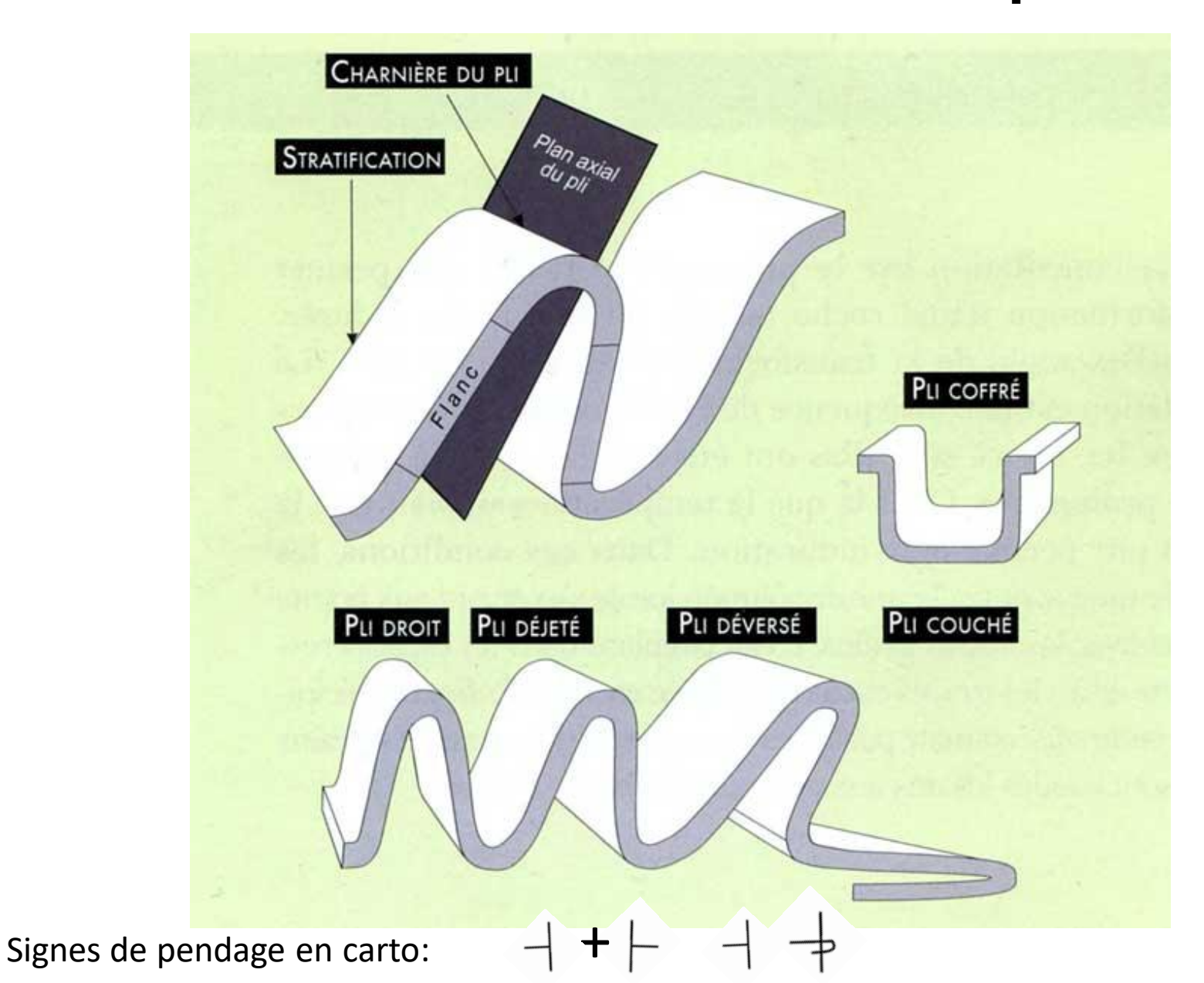
Déformation souple des couches en ondulations. L'ondulation peut être en saillie [anticlinal] ou en creux [synclinal]. La charnière est la zone de courbure maximale et les flancs relient deux charnières. La fin d'un pli est appelé terminaison périclinale. Un pli est caractérisé par sa direction [axe], le pendage des flancs, le pendage du plan axial, la différence de hauteur des niveaux aux charnières [amplitude], la distance entre 2 charnières successives de même nature [longueur d'onde].



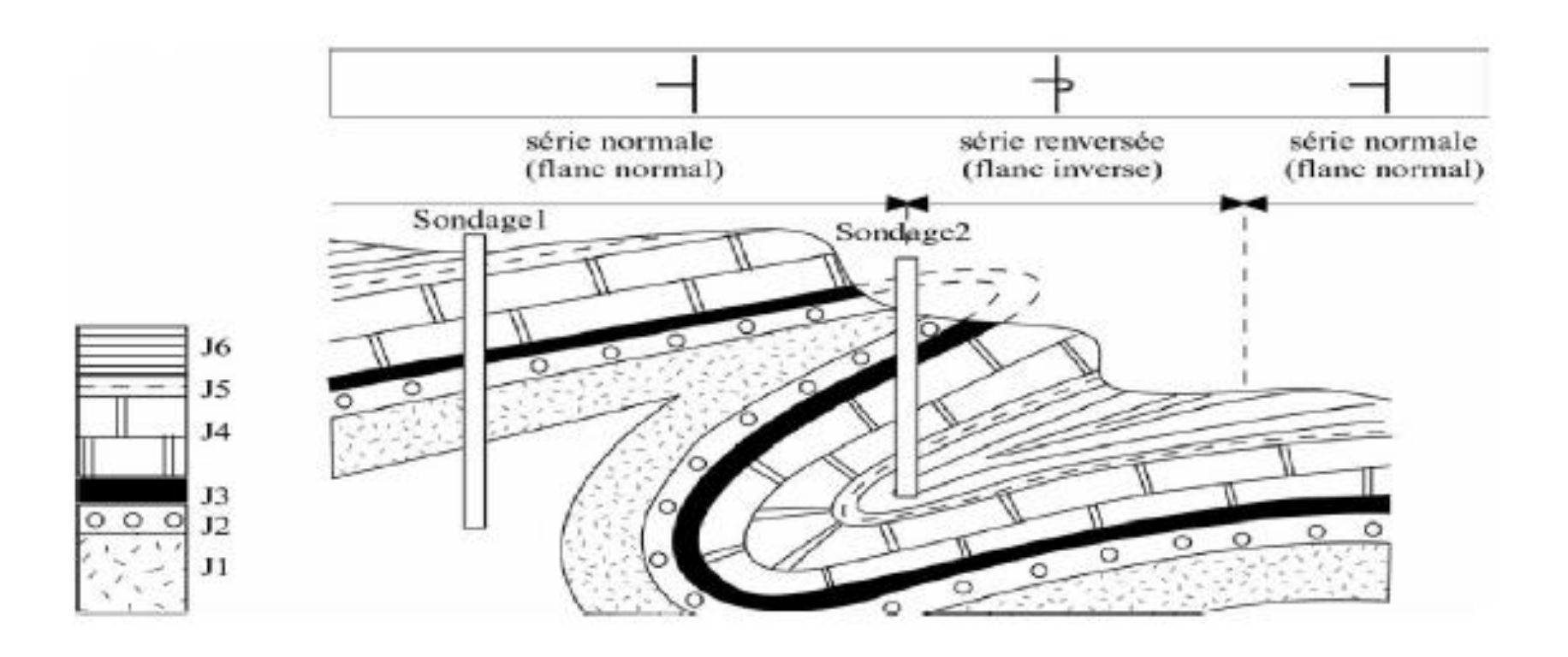
(Types de plis selon leur axe)



Le minimum à savoir sur les plis...

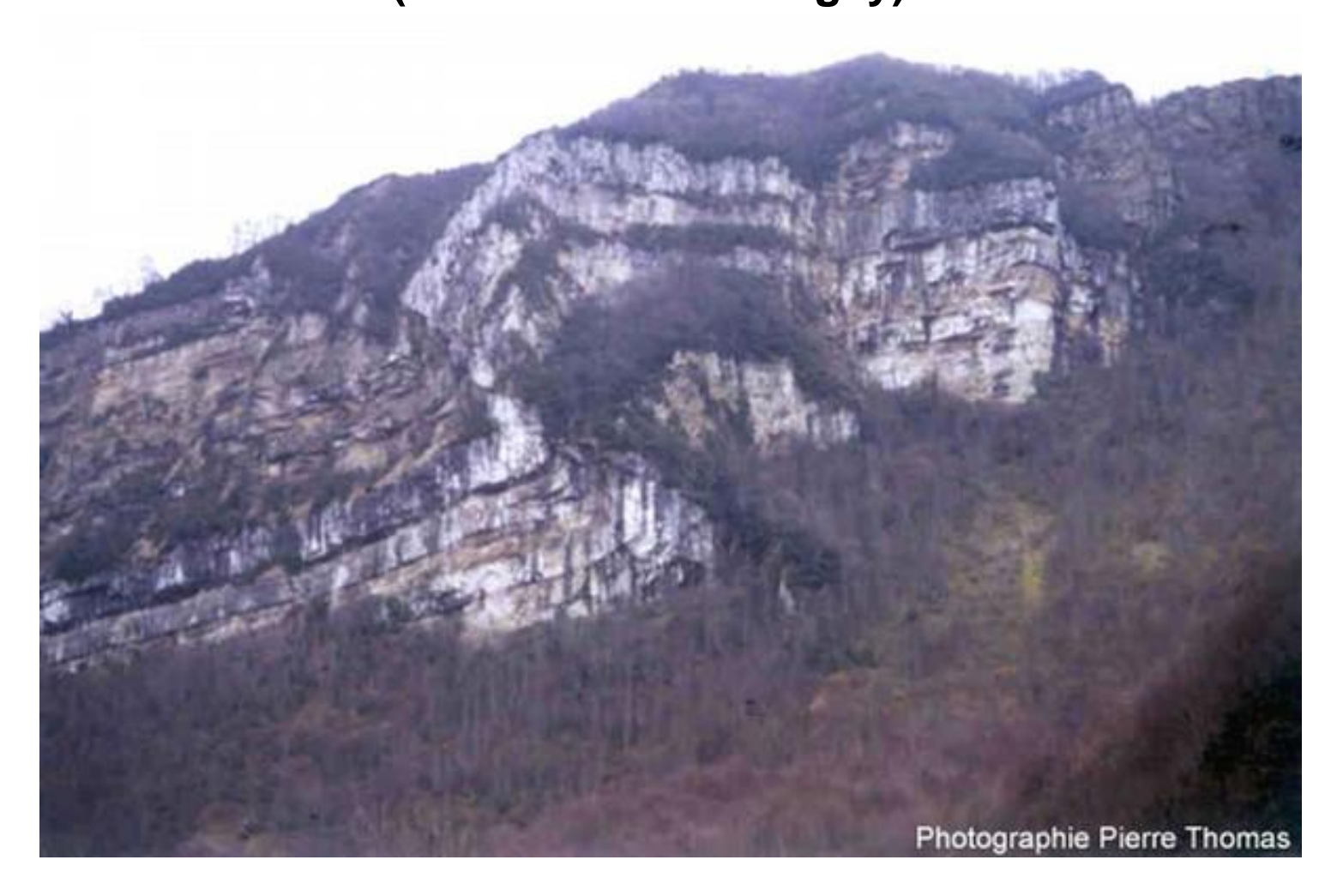


Série renversée dans un pli déjeté ou couché



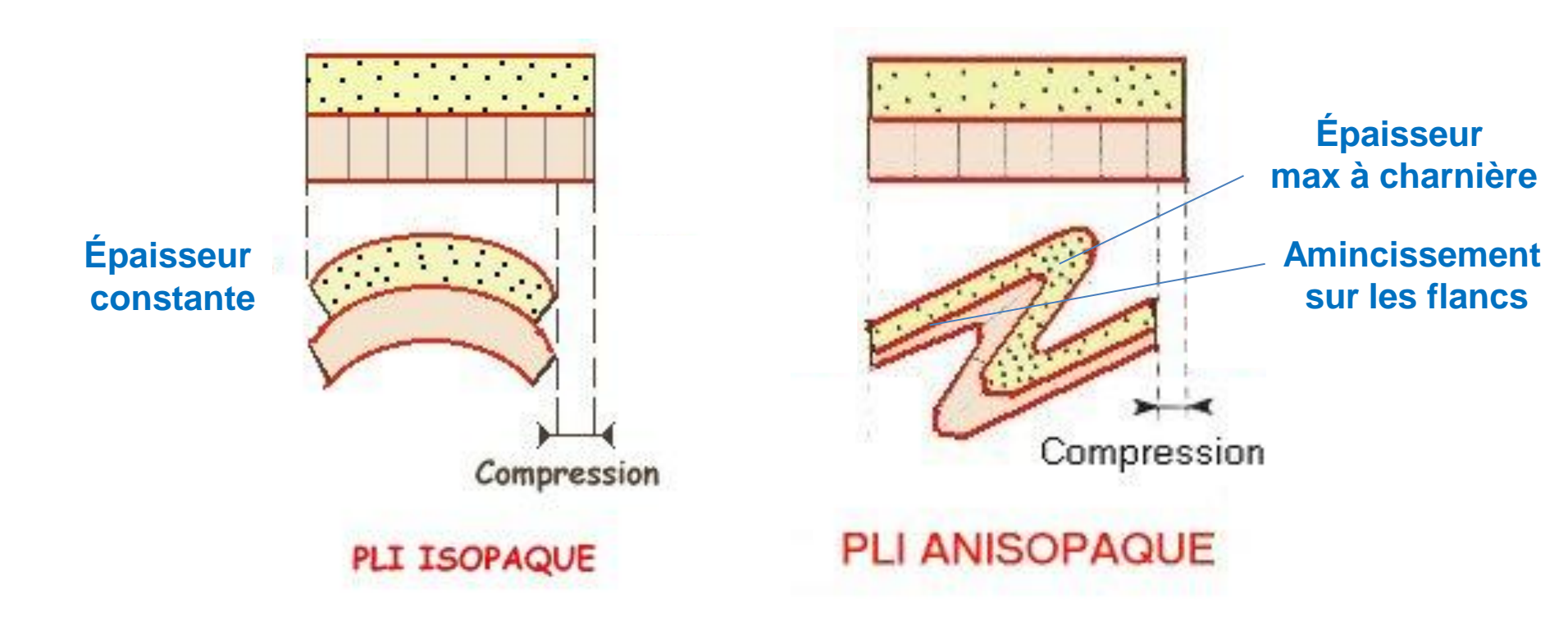


Pli-faille (St Rambert en Bugey)



Pli déjeté ou renversé dont le flanc inverse a été laminé

Types de plis selon la constance de l'épaisseur des couches

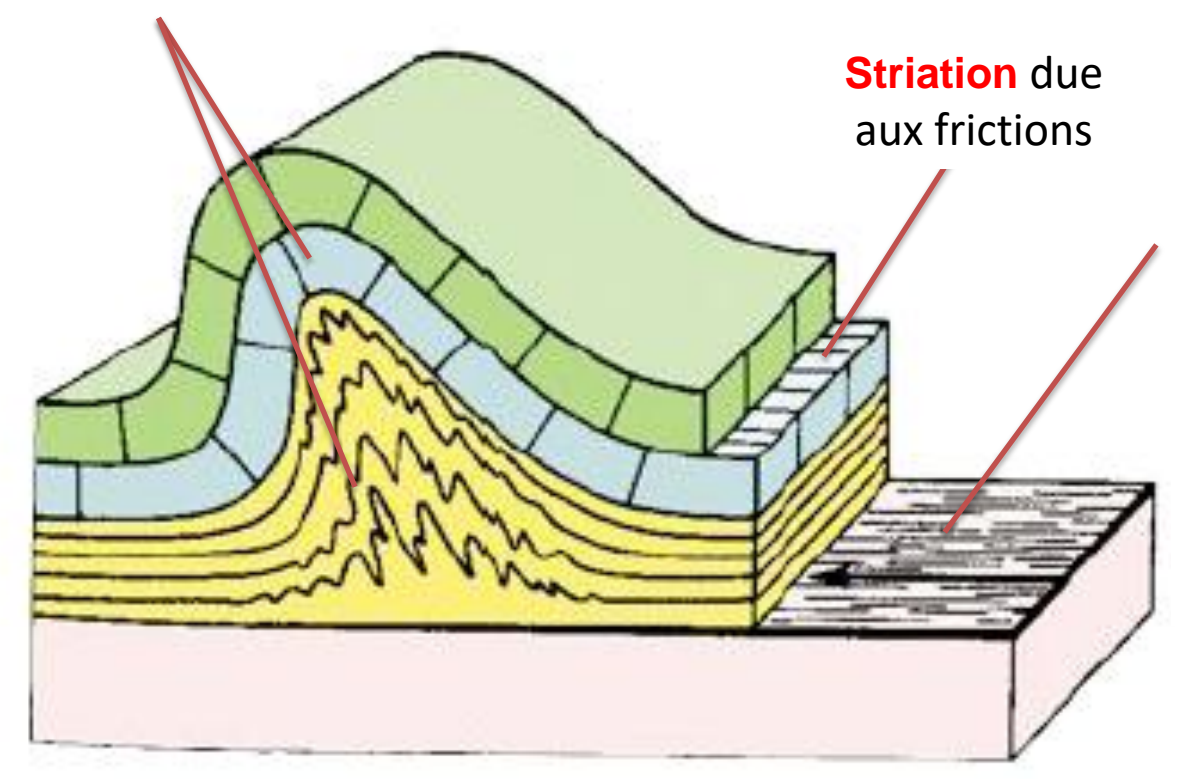


Ex de plis isopaques/anisopaque



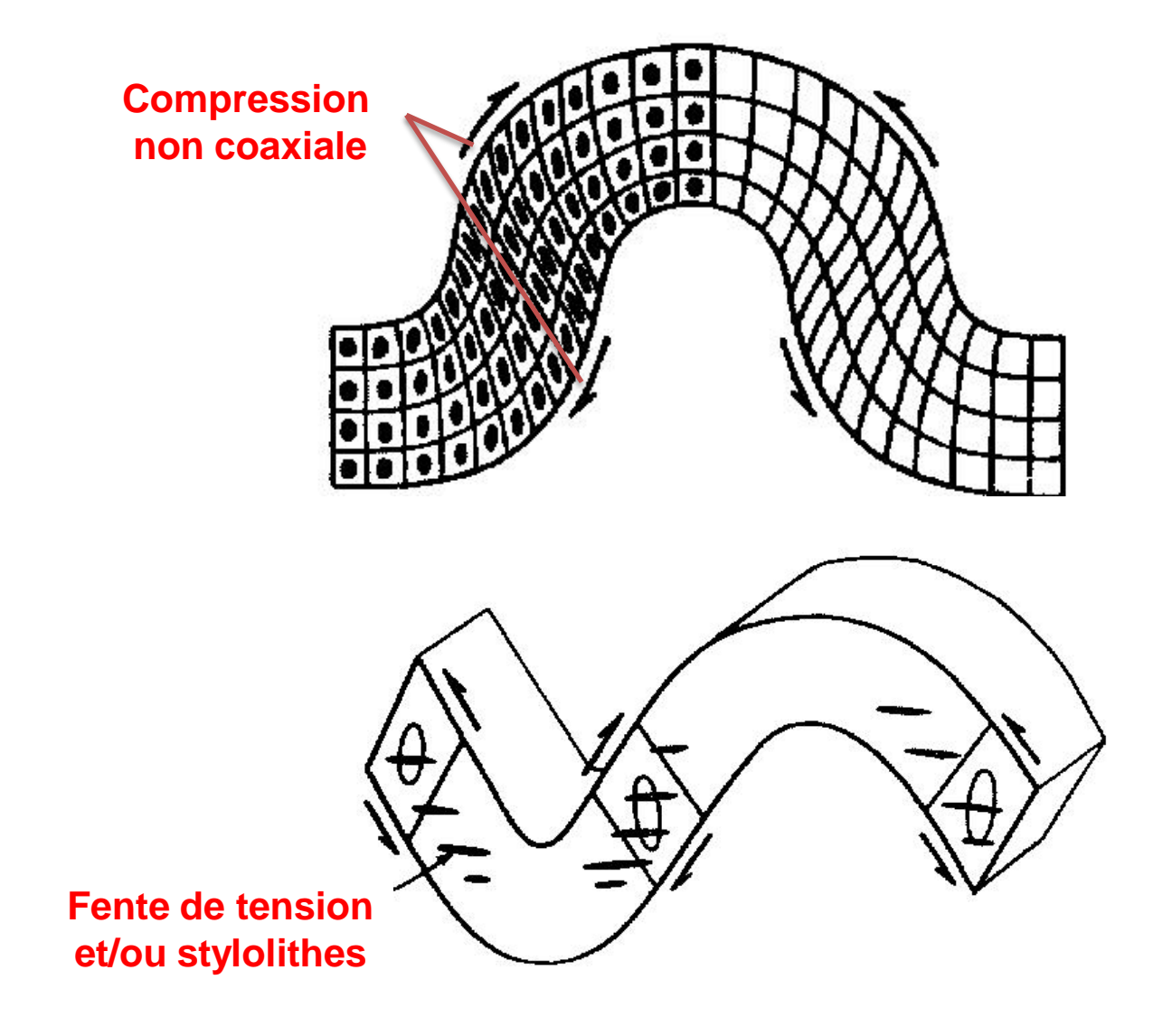
Disharmonie et décollement

Disharmonie: les différents niveaux superposés sont plissés de manière différente, du fait de l'incompétence des niveaux argileux.



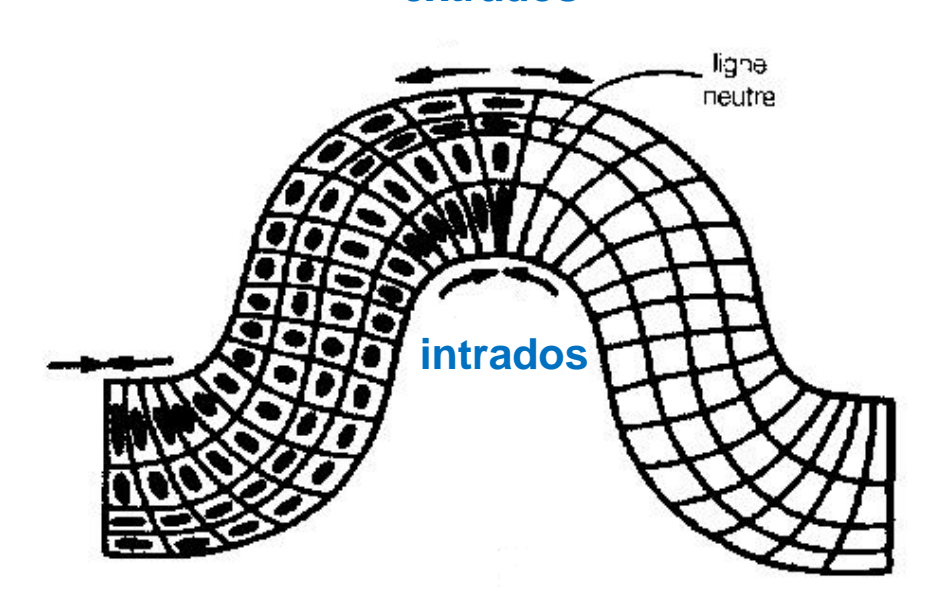
Décollement: les niveaux argileux ou évaporitiques (= « couches-savon »), peu visqueux, se comportent comme des fluides et se séparent du socle plus rigide.

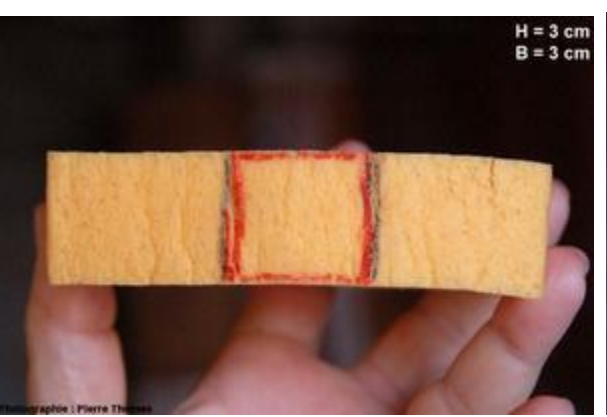
Pli isopaque: (1) Déformation de flanc



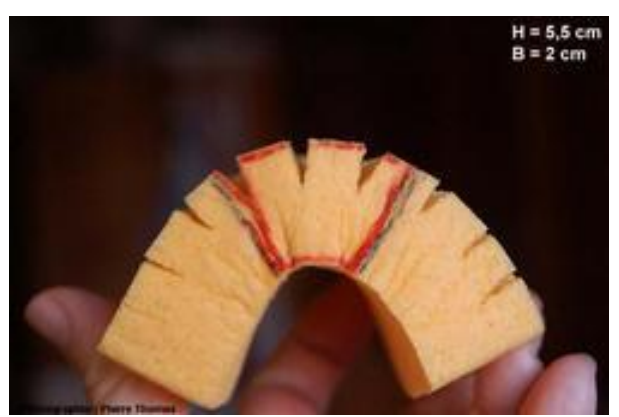
Pli isopaque: (2) Déformation de charnière

extrados



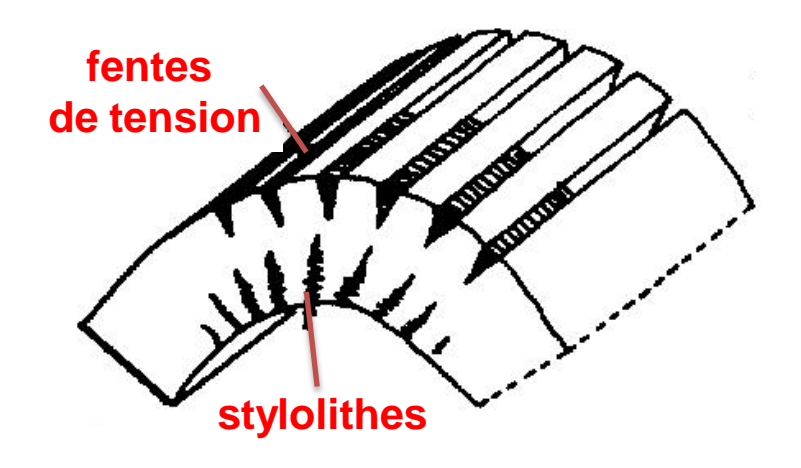




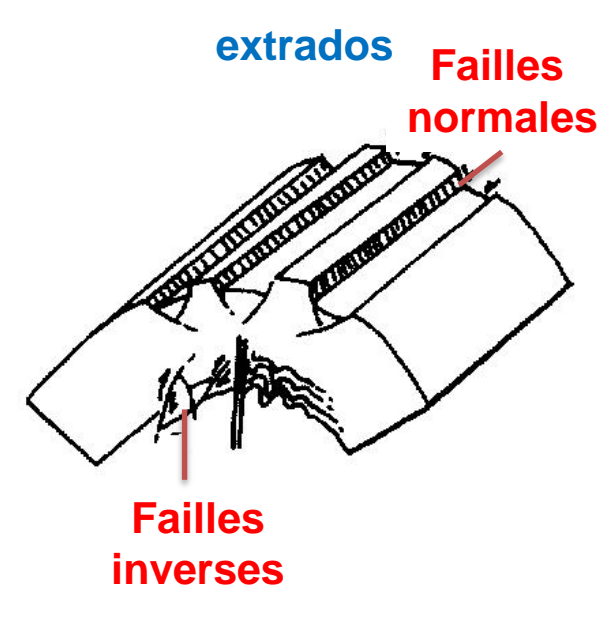


Pli isopaque: (2) Déformation de charnière

extrados



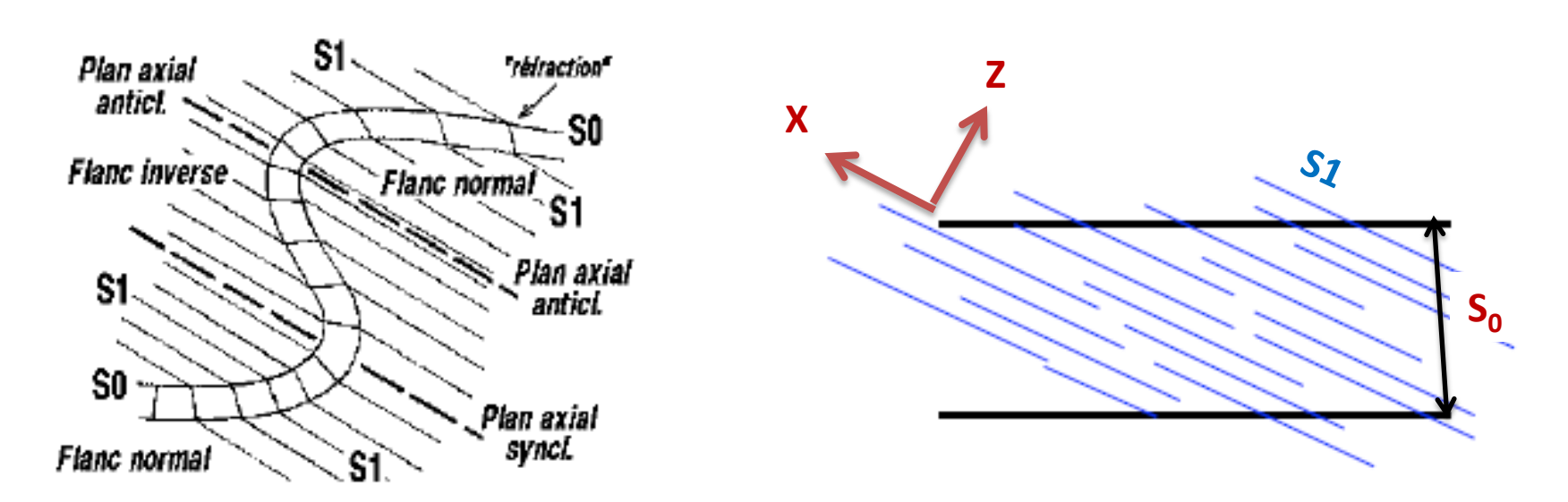


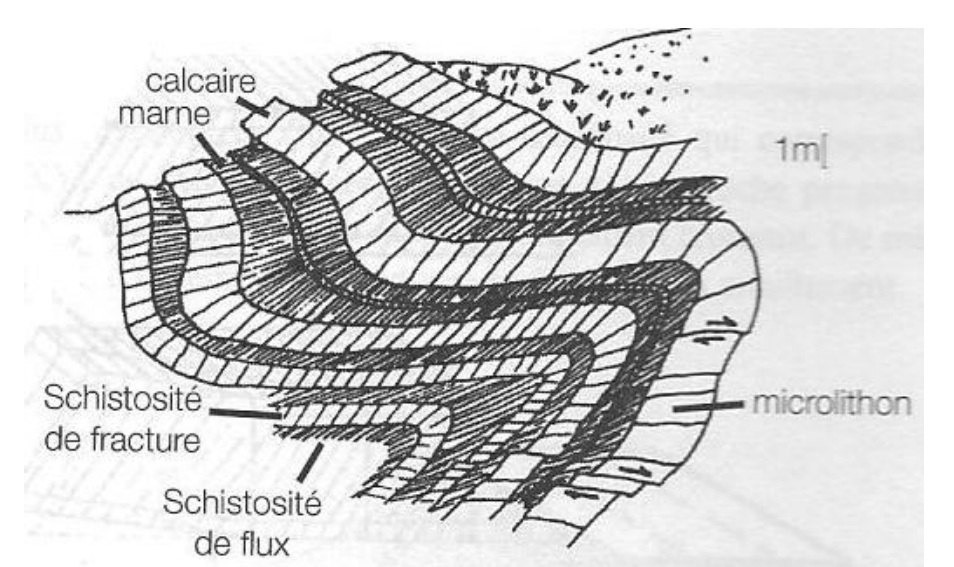


74

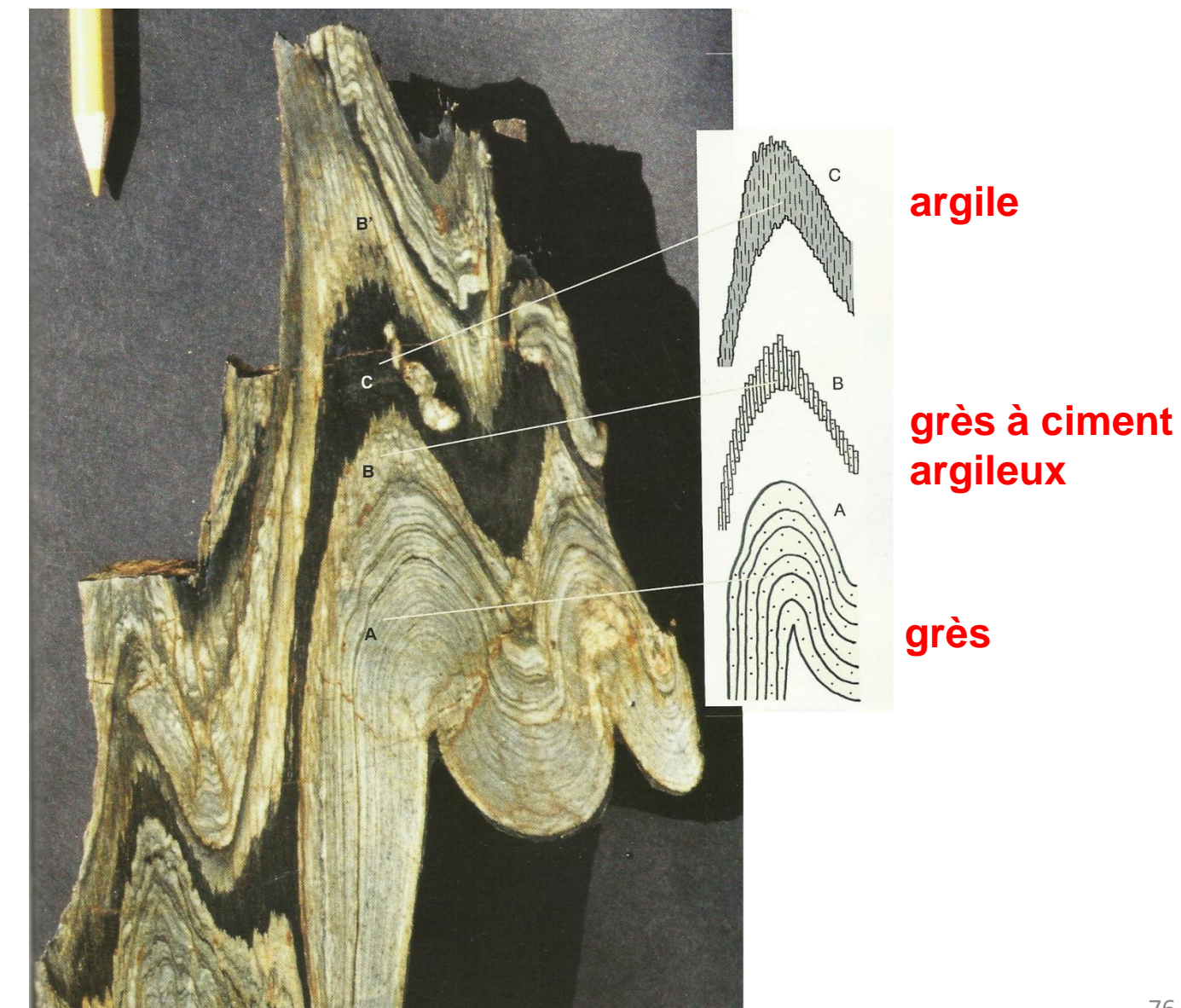
intrados

Développement d'une schistosité de plan axial



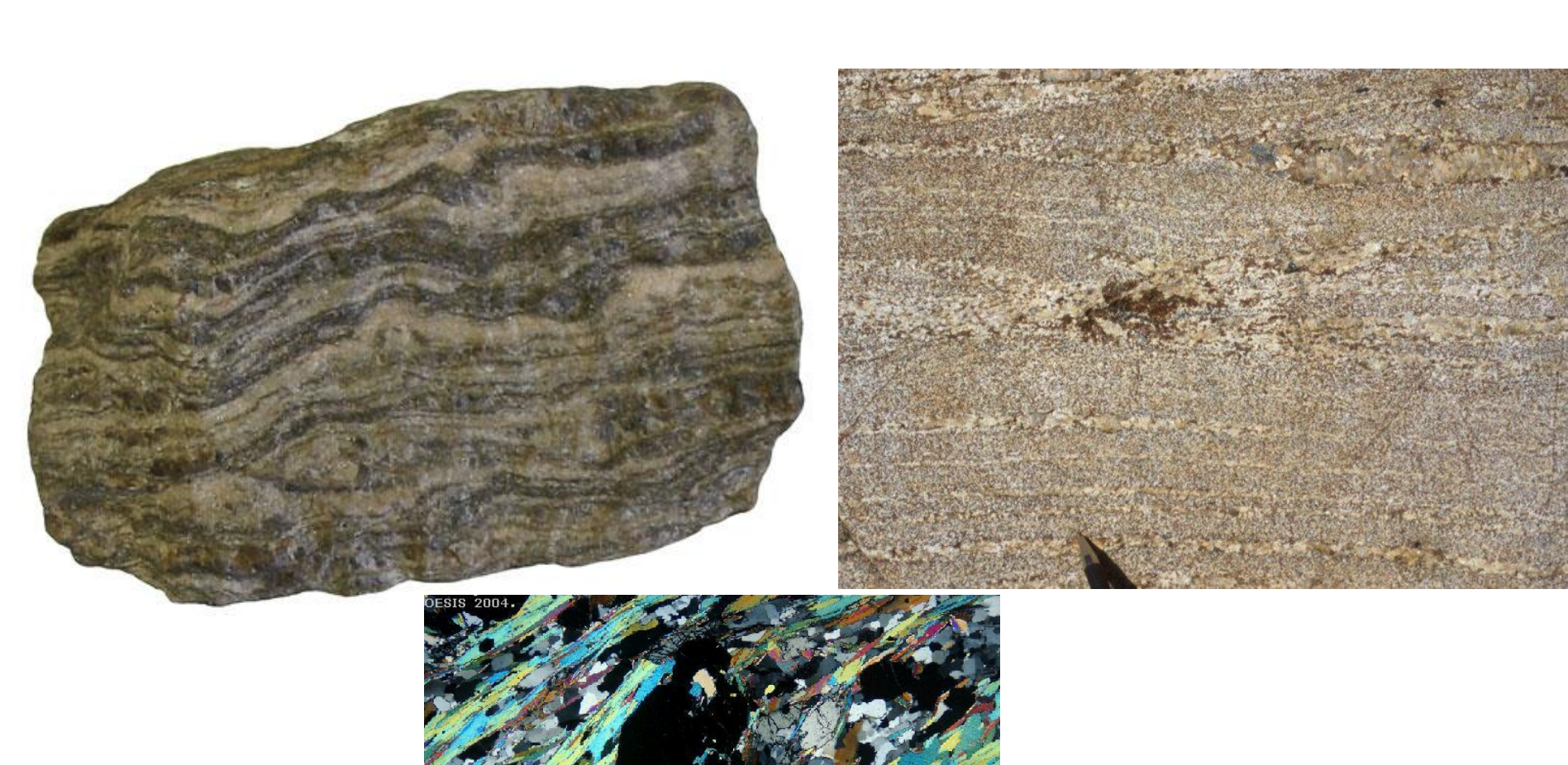


Modes de déformation selon la compétence

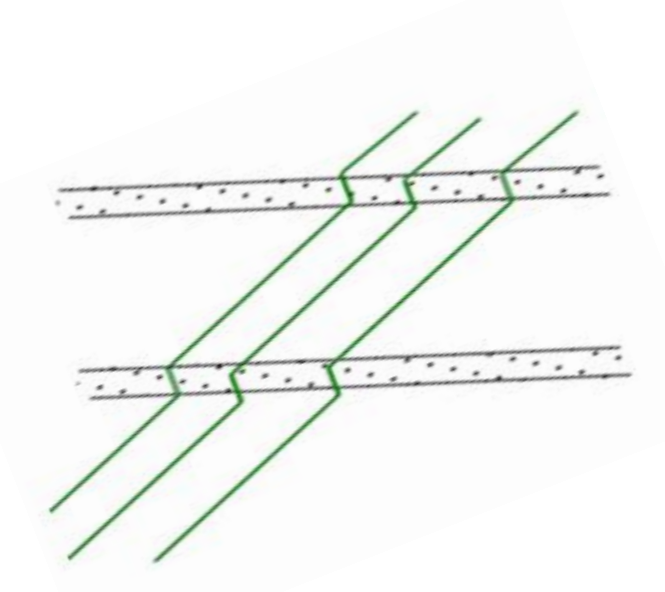


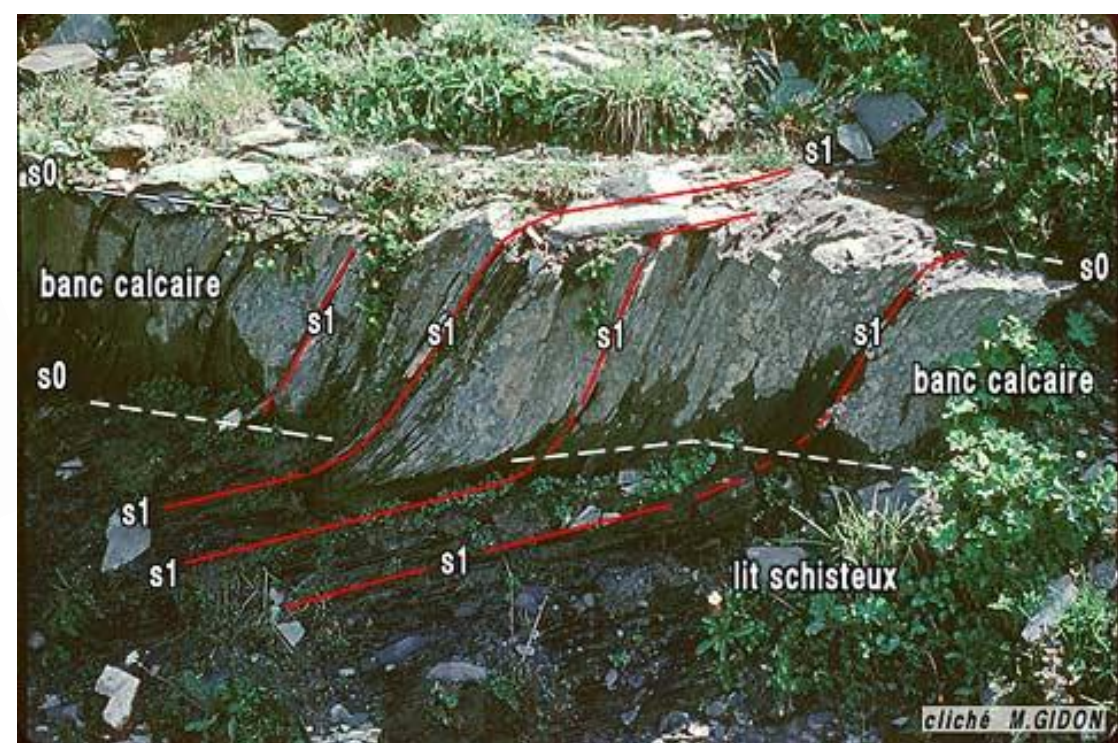
Le gneiss: une roche foliée

(3 échelles, mais pas le même échantillon)

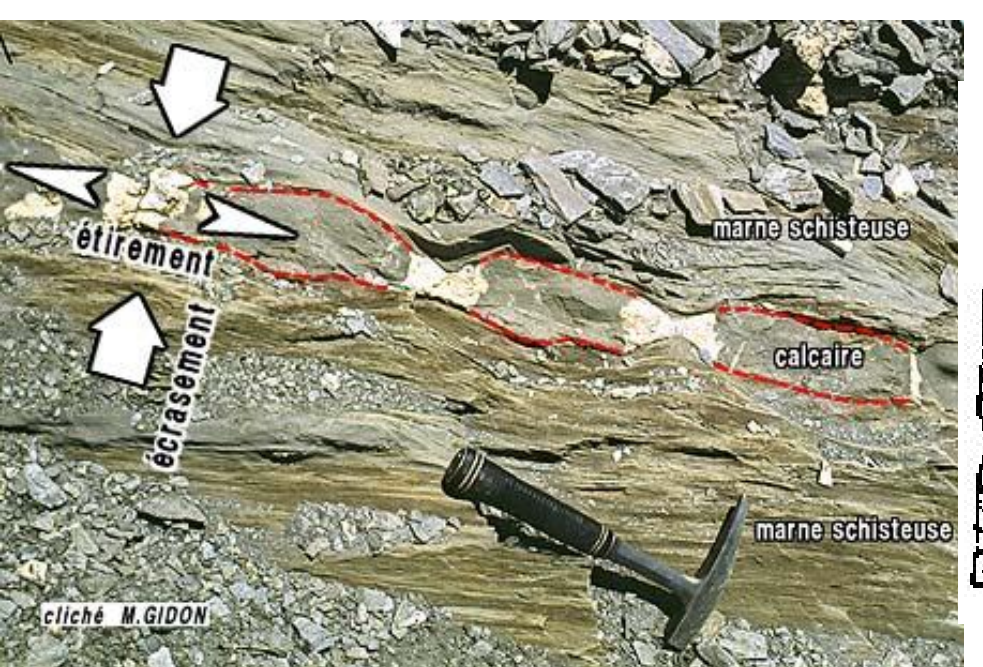


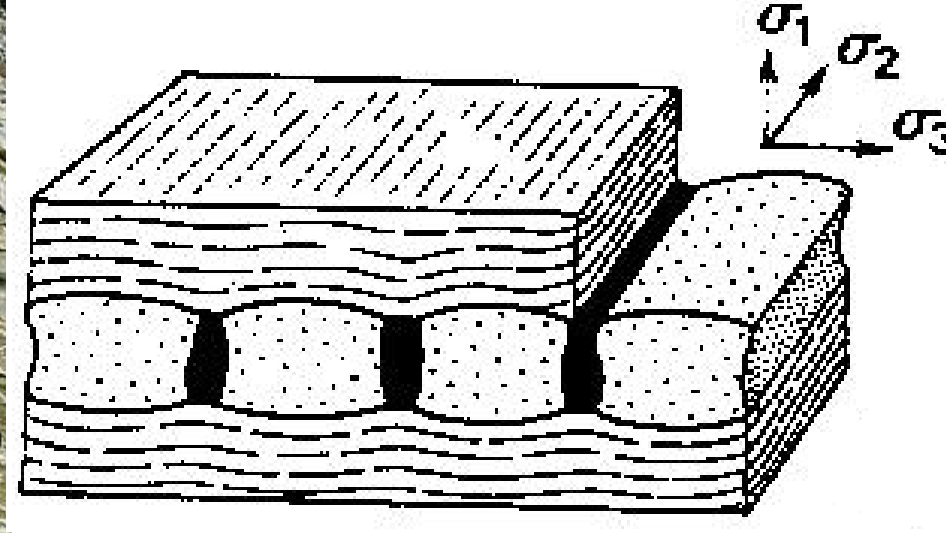
(Réfraction de schistosité)





Boudinage: linéation selon y (σ2)

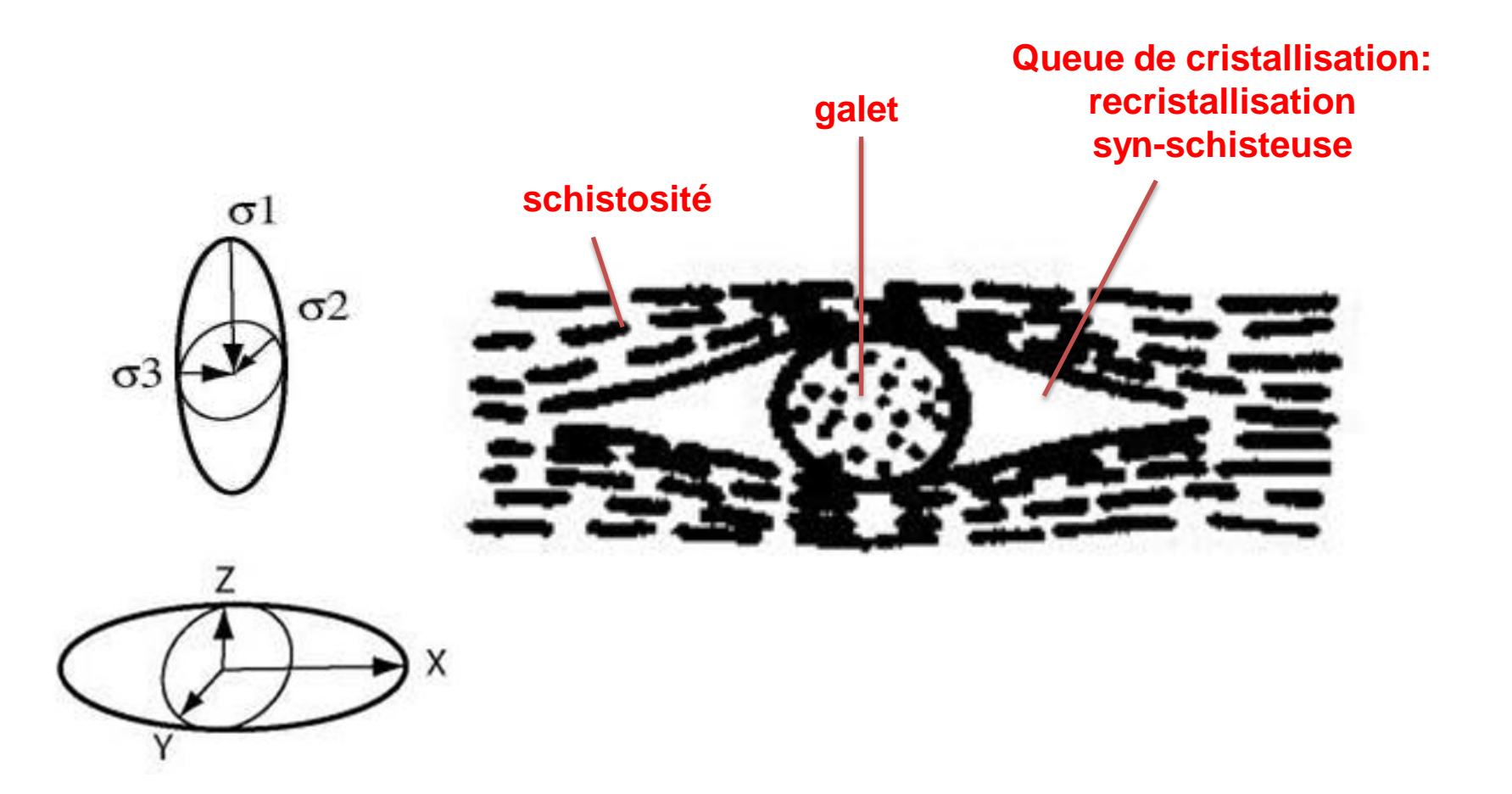




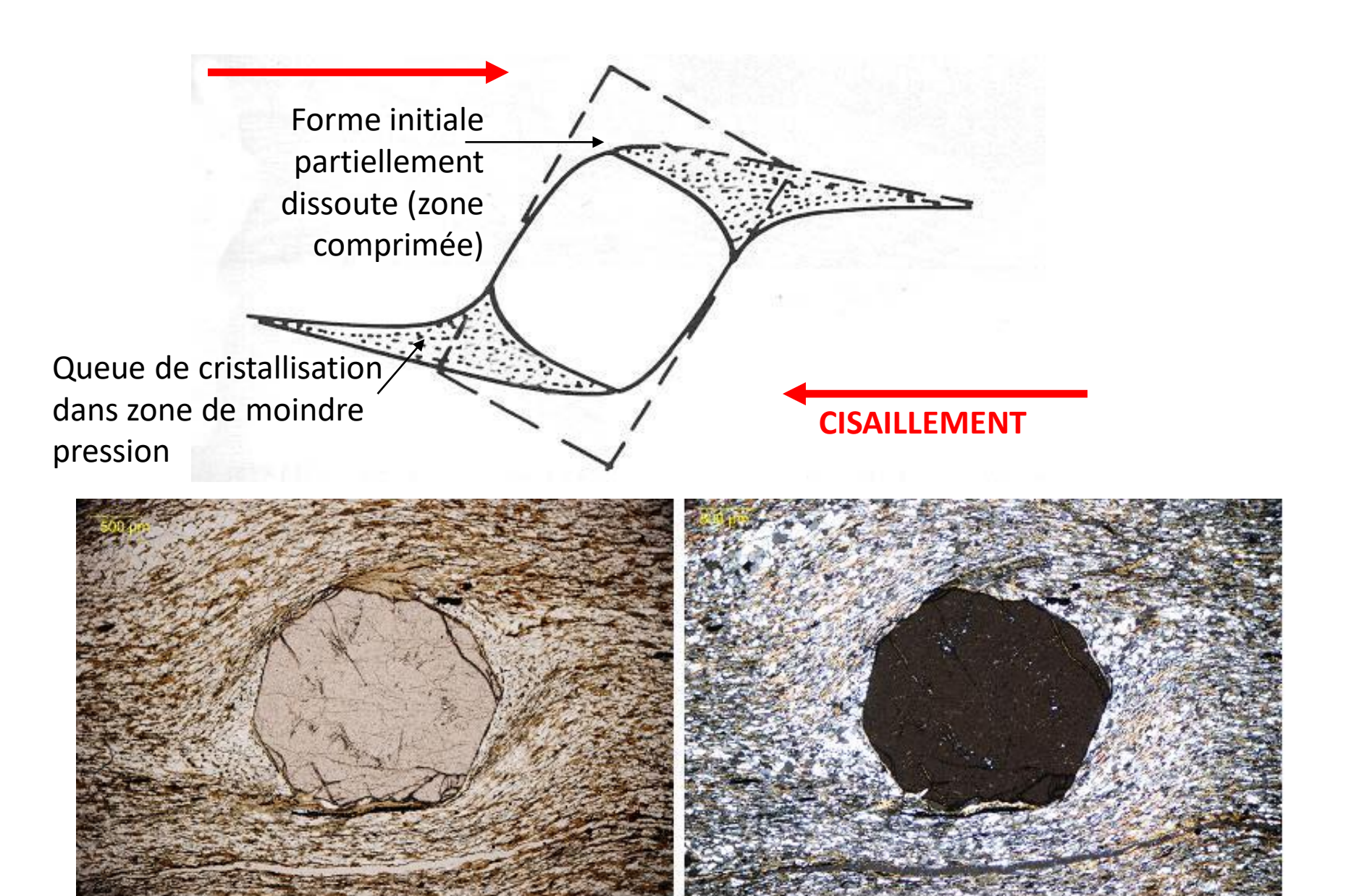




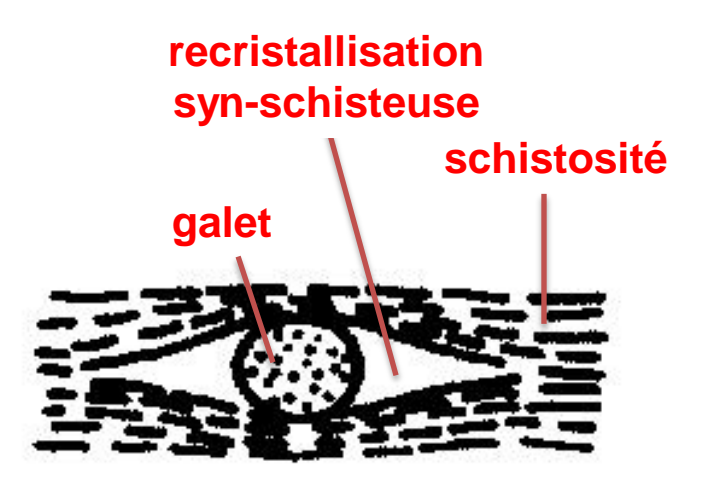
Ombre de pression symétrique



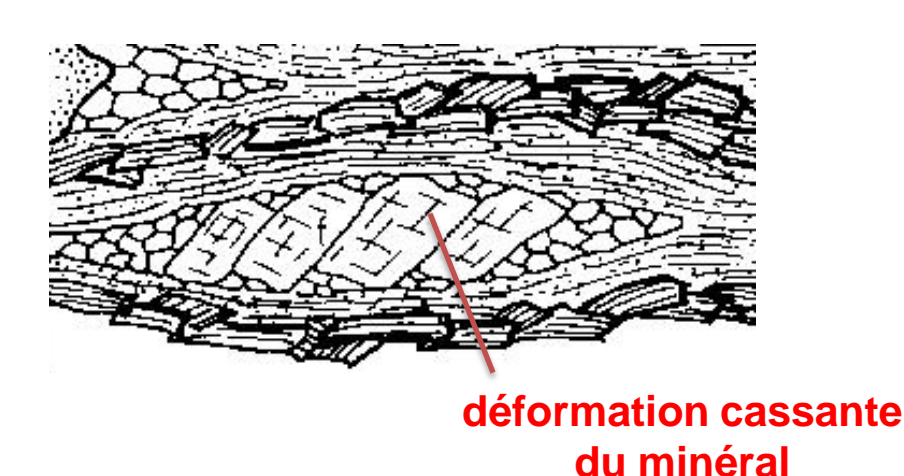
Ombre de pression dissymétrique

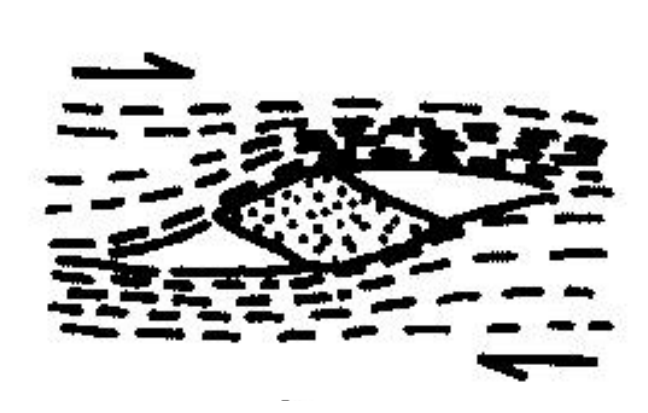


Ombres de pression: objet antecinématique



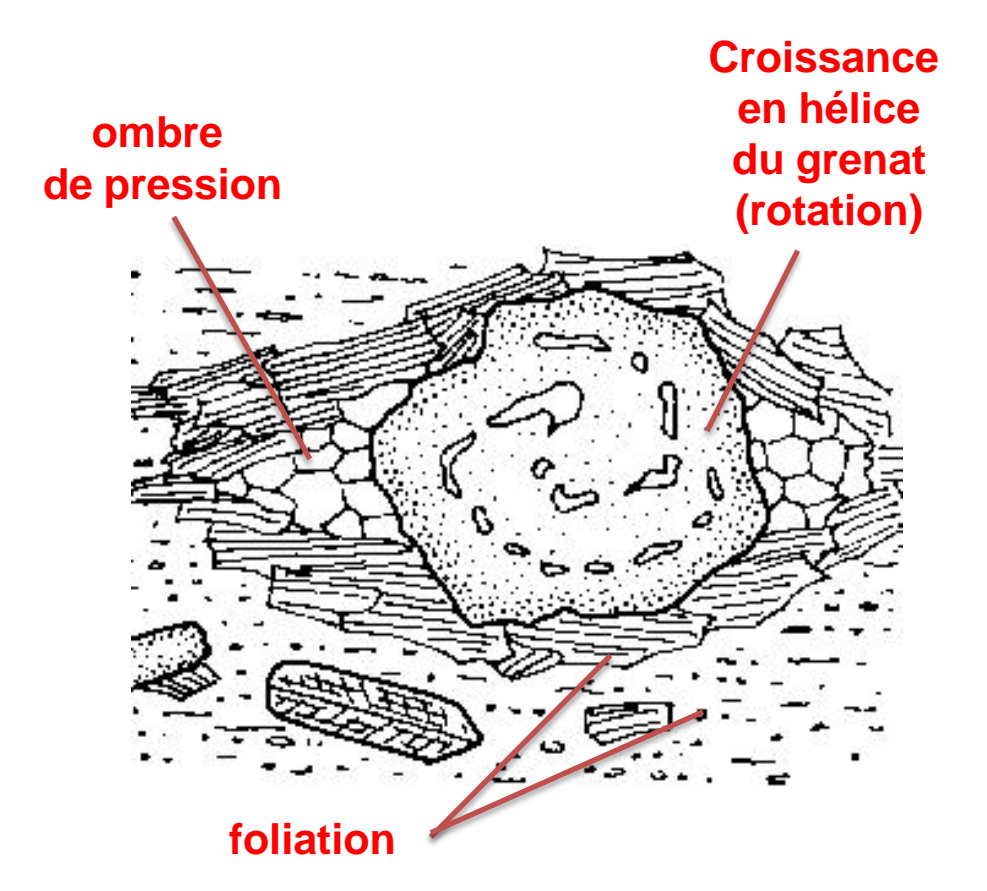
Ombres symétriques: aplatissement pur

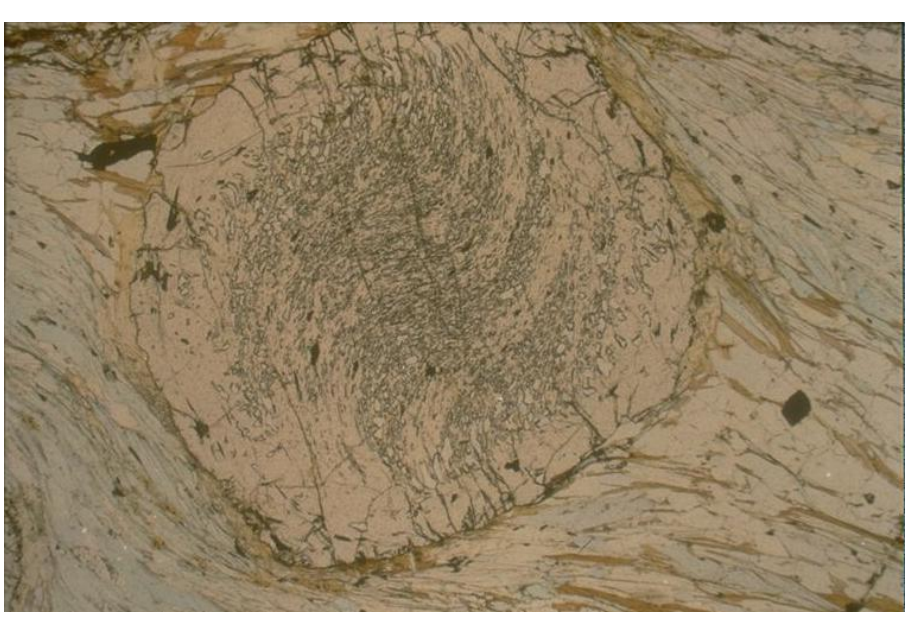




Ombres de pression sigmoïdes:
-> composante rotationnelle
-> cisaillement simple

Ombres de pression: objet synschisteux

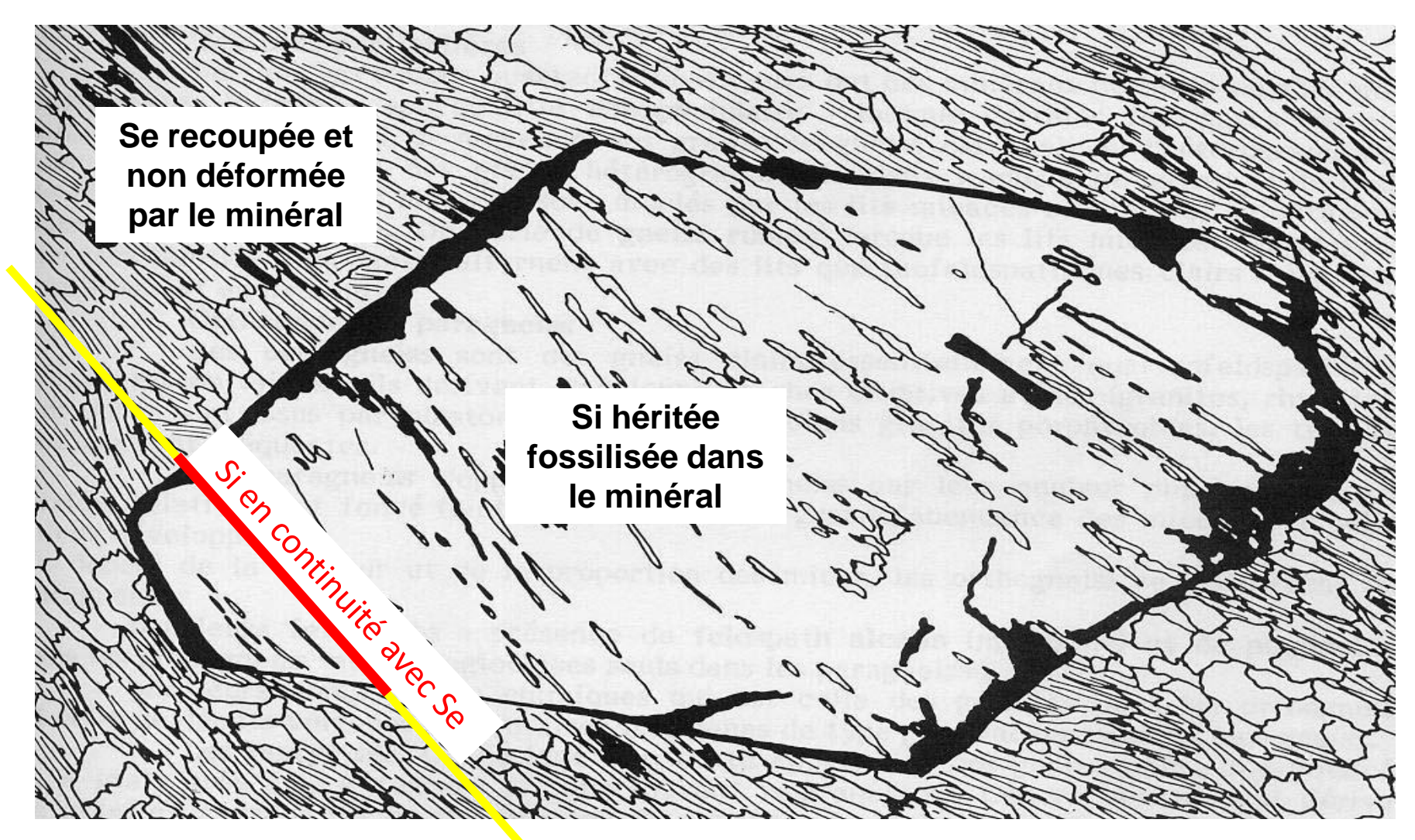




Incorporation de la foliation au fur et à mesure de la croissance du cristal en rotation. Cette foliation est fossilisée par des inclusions minéralogiques en spirale.

Minéral post-schisteux

Se: schistosité externe Si: schistosité interne



Linéations

